

Algorithmen zur Visualisierung von Graphen

Darstellung von Symmetrien und Inkrementelle Verfahren

INSTITUT FÜR THEORETISCHE INFORMATIK – LEHRSTUHL ALGORITHMIK I

MARCUS KRUG



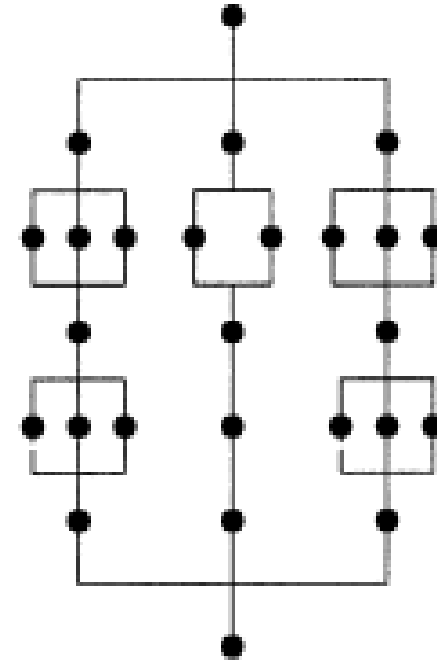
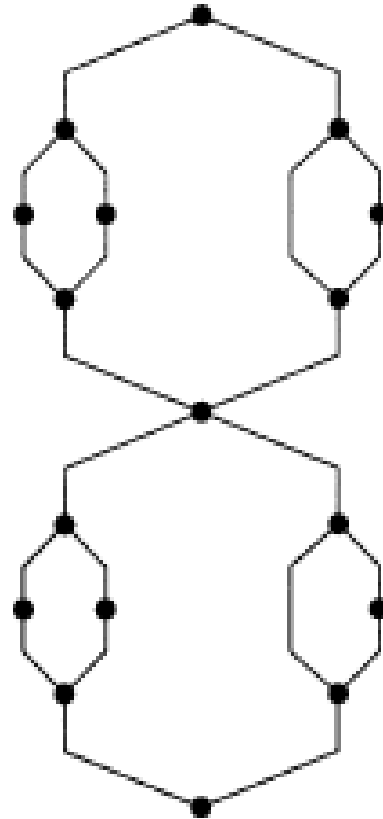
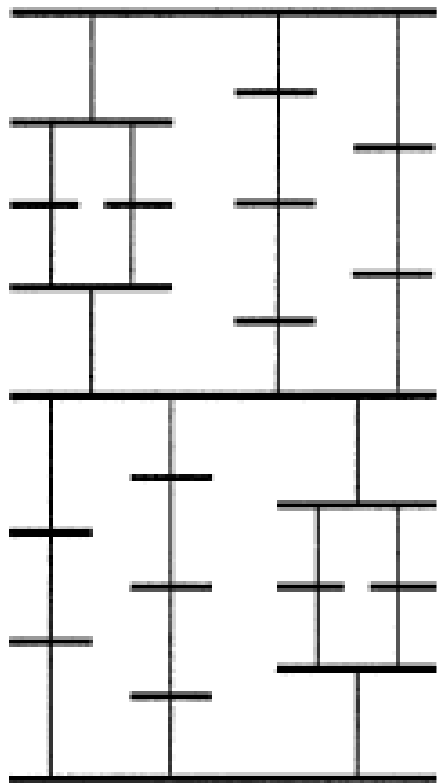
bevor's losgeht

Vorschlag für Prüfungstermine

- Donnerstag, 1. März ab 9:00 Uhr
- Freitag, 30. März ab 9:00 Uhr

Evaluation

Darstellung von Symmetrien in Graphen



aus Hong, Eades, Lee '00

Definition: Automorphismen eines DAG

Ein Automorphismus eines DAG $G = (V, E)$ ist eine Knotenpermutation $\pi : V \rightarrow V$, die Adjazenzen respektiert und alle Kantenrichtungen erhält oder alle Kantenrichtungen umdreht:

$$(u, v) \in E \Leftrightarrow (\pi(u), \pi(v)) \in E$$

oder

$$(u, v) \in E \Leftrightarrow (\pi(v), \pi(u)) \in E.$$

Die Automorphismen von G bilden mit der Hintereinanderausführung eine Gruppe.

Definition: Automorphismen eines DAG

Ein Automorphismus eines DAG $G = (V, E)$ ist eine Knotenpermutation $\pi : V \rightarrow V$, die Adjazenzen respektiert und alle Kantenrichtungen erhält oder alle Kantenrichtungen umdreht:

$$(u, v) \in E \Leftrightarrow (\pi(u), \pi(v)) \in E$$

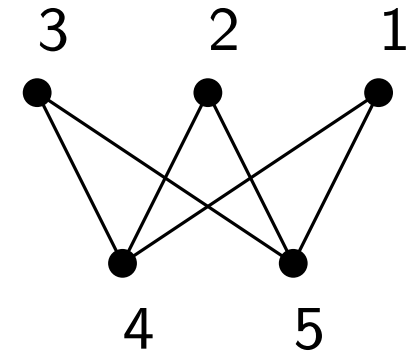
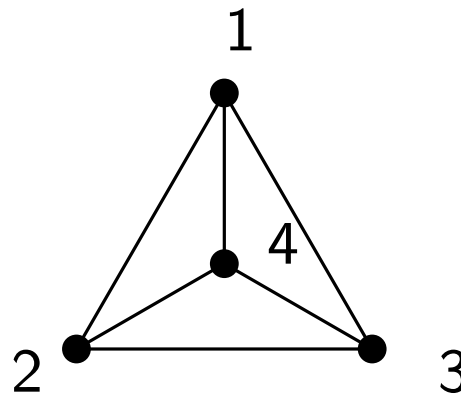
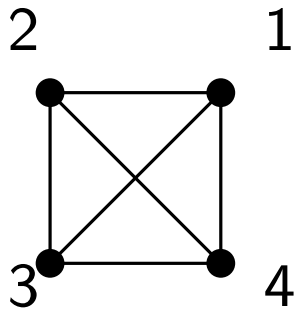
oder

$$(u, v) \in E \Leftrightarrow (\pi(v), \pi(u)) \in E.$$

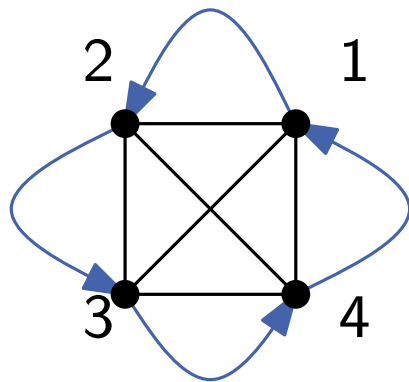
Die Automorphismen von G bilden mit der Hintereinanderausführung eine Gruppe.

- die Automorphismengruppe eines Graphen zu bestimmen ist GI-vollständig
- für Graphen mit beschränktem Maximalgrad und planare Graphen geht das in Polynomialzeit

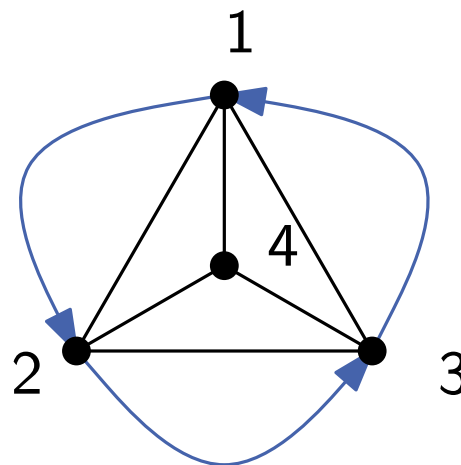
- ein Automorphismus π eines Graphen ist **darstellbar**, wenn es eine Zeichnung gibt, die eine Symmetrie enthält, welche π induziert
- Lin charakterisiert darstellbare Automorphismen [Lin '92]
- Darstellbare Automorphismen eines Graphen zu finden ist NP-schwer
- für planare Graphen ist das wieder in Polynomialzeit möglich



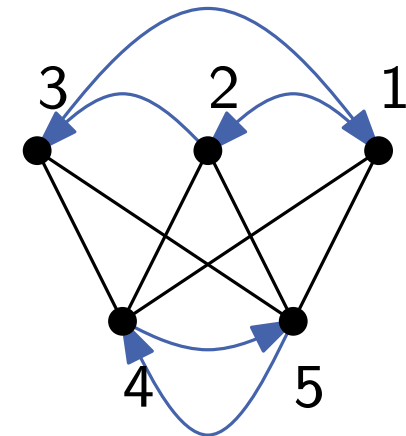
- ein Automorphismus π eines Graphen ist **darstellbar**, wenn es eine Zeichnung gibt, die eine Symmetrie enthält, welche π induziert
- Lin charakterisiert darstellbare Automorphismen [Lin '92]
- Darstellbare Automorphismen eines Graphen zu finden ist NP-schwer
- für planare Graphen ist das wieder in Polynomialzeit möglich



stellt $1 \rightarrow 2 \rightarrow 3 \rightarrow 4 \rightarrow 1$ dar,
aber nicht $1 \rightarrow 2 \rightarrow 3 \rightarrow 1$

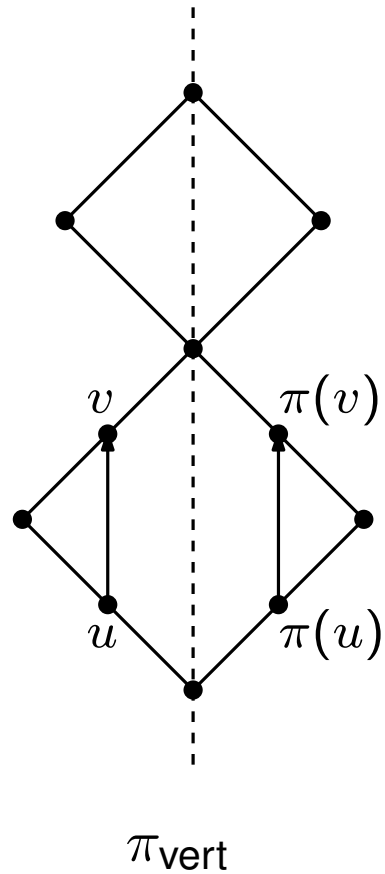


stellt $1 \rightarrow 2 \rightarrow 3 \rightarrow 1$ dar, aber
nicht $1 \rightarrow 2 \rightarrow 3 \rightarrow 4 \rightarrow 1$

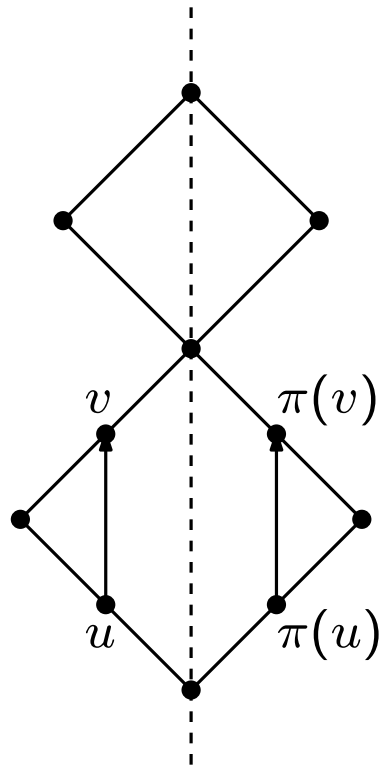


$1 \rightarrow 2 \rightarrow 3 \rightarrow 1, 4 \rightarrow 5 \rightarrow 4$
nicht darstellbar

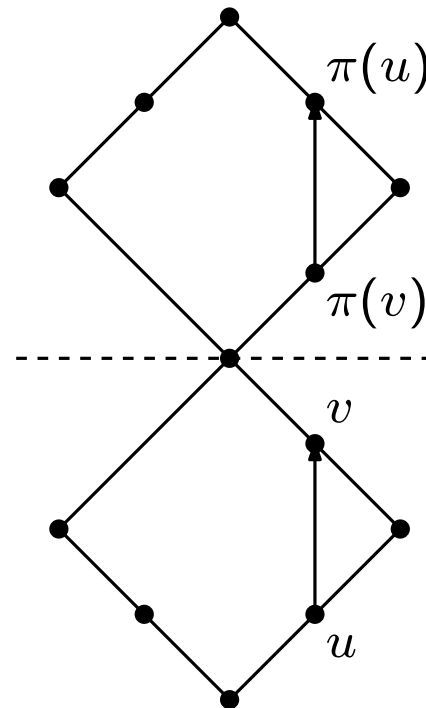
Symmetrien in SP-Graphen



Symmetrien in SP-Graphen

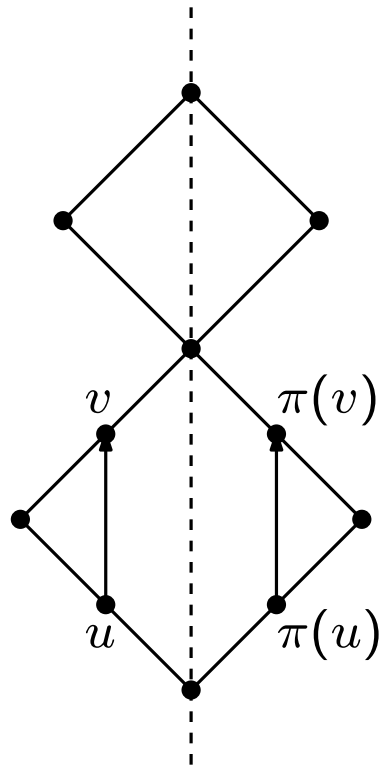


π_{vert}

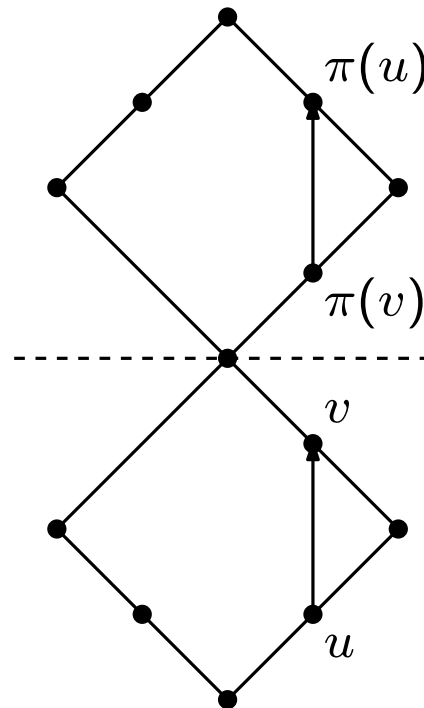


π_{hor}

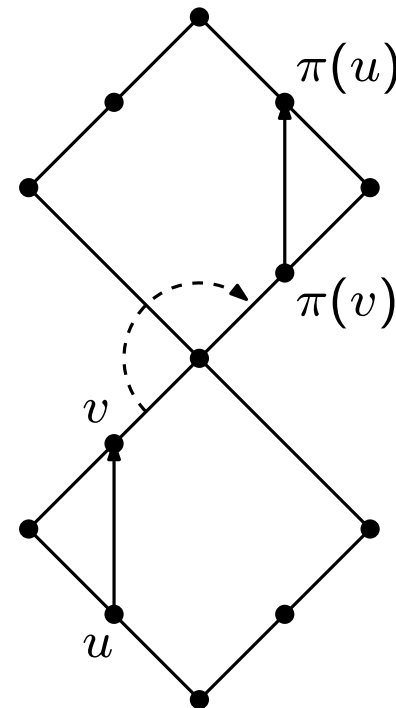
Symmetrien in SP-Graphen



π_{vert}

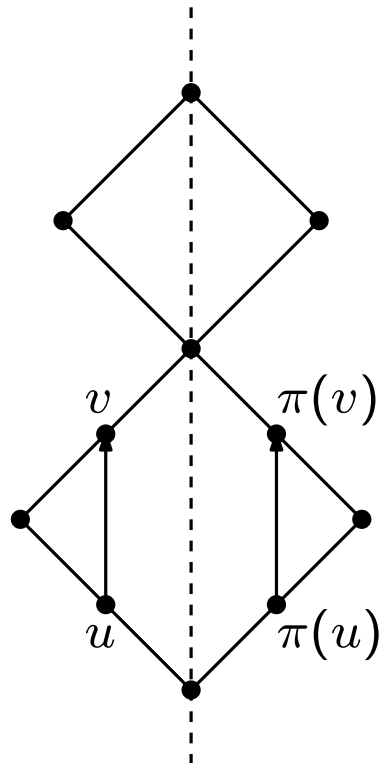


π_{hor}

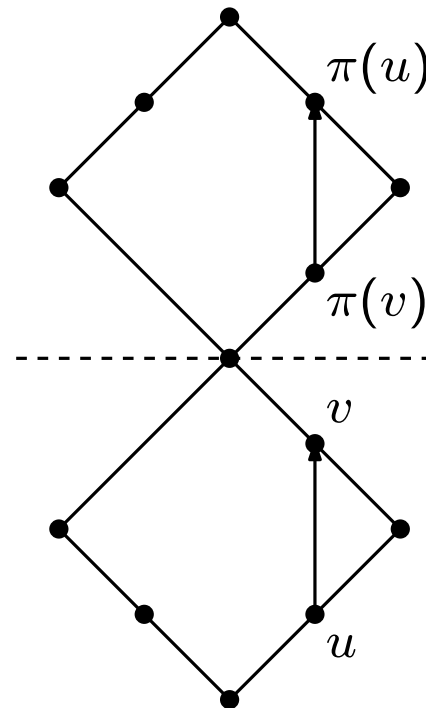


π_{rot}

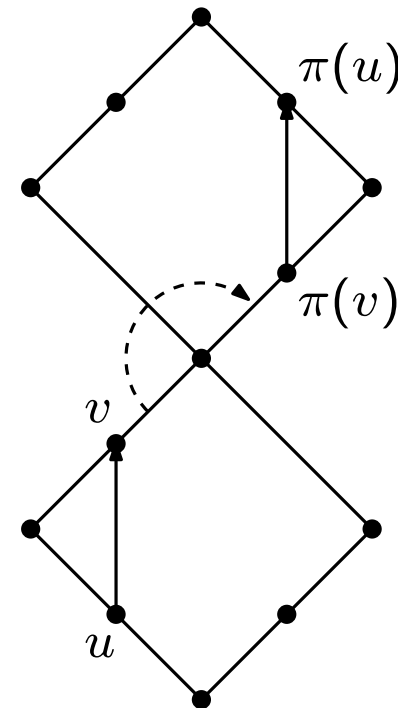
Symmetrien in SP-Graphen



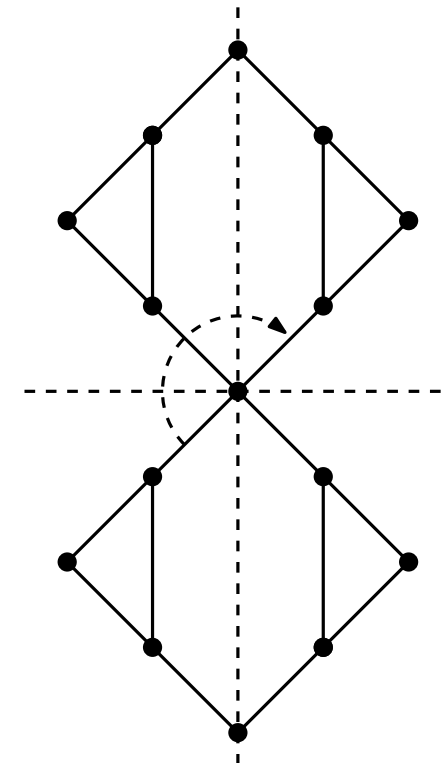
π_{vert}



π_{hor}



π_{rot}



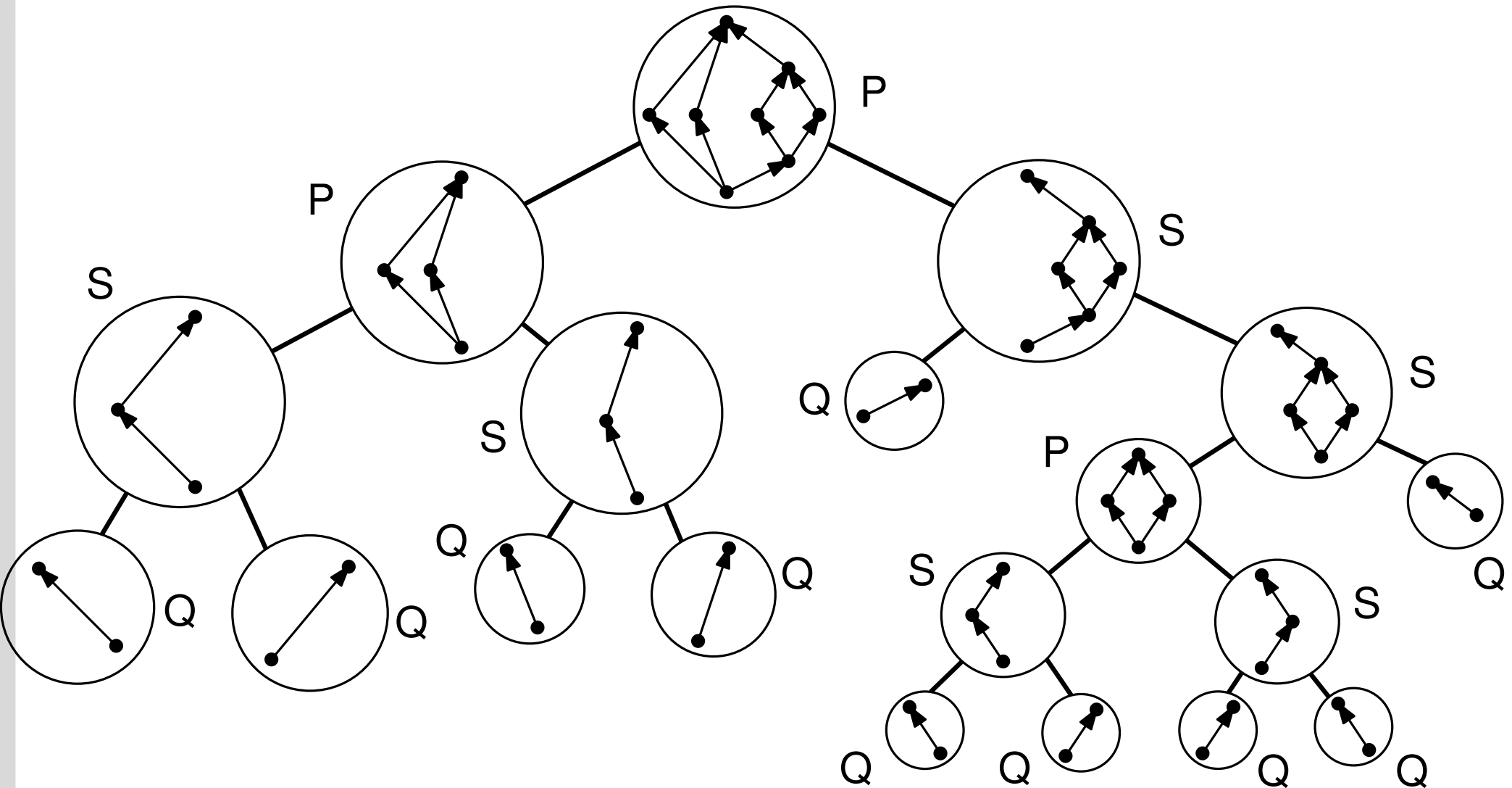
$\{\pi_{\text{vert}}, \pi_{\text{hor}}, \pi_{\text{rot}}\}$

Satz (Hong, Eades, Lee '00)

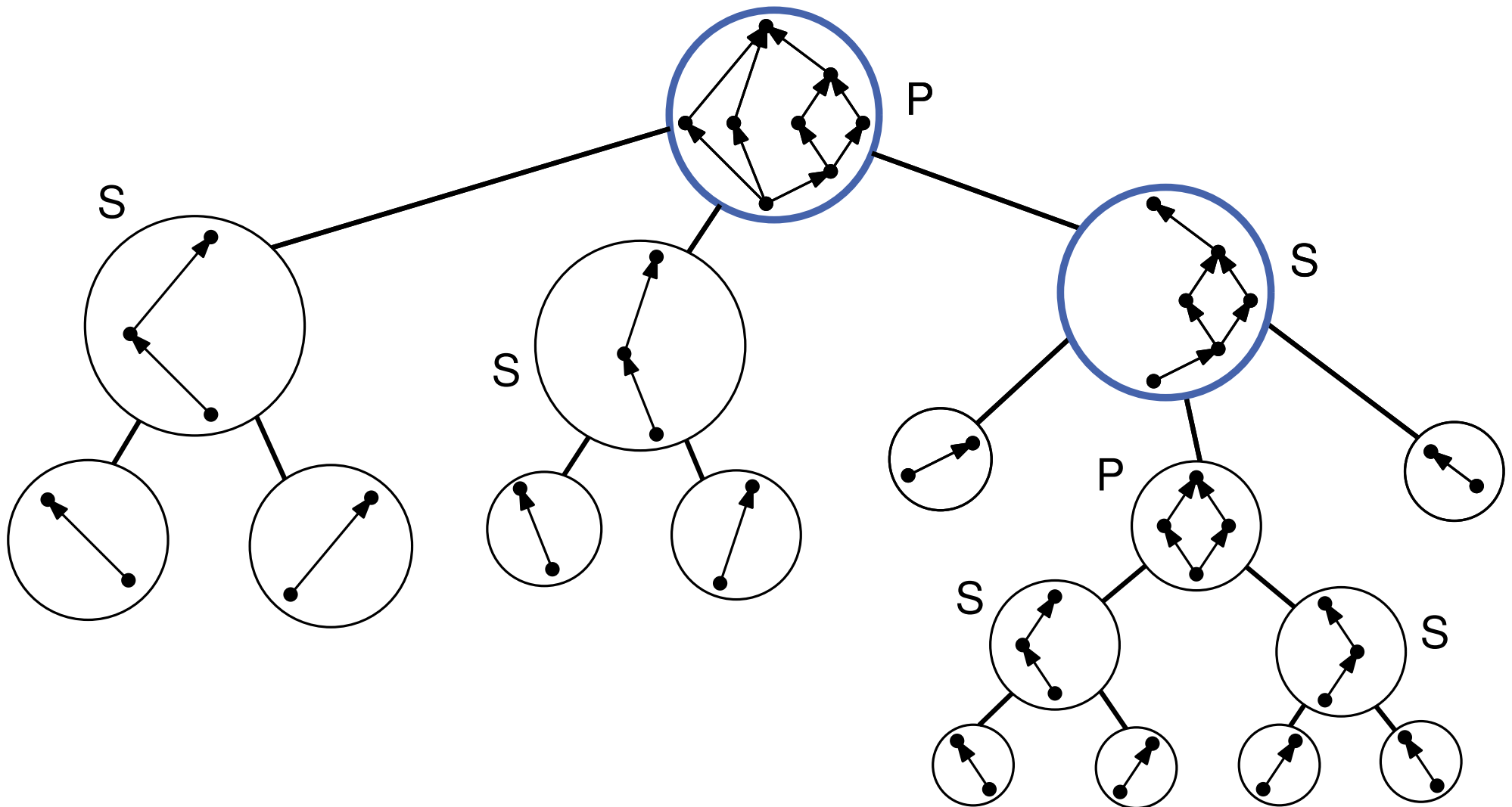
Die in einem kreuzungsfreien Aufwärtlayout eines SP-Graphen darstellbaren Symmetrien sind entweder

- $\{\text{id}\}$
- $\{\text{id}, \pi\}$ mit $\pi \in \{\pi_{\text{vert}}, \pi_{\text{hor}}, \pi_{\text{rot}}\}$
- $\{\text{id}, \pi_{\text{vert}}, \pi_{\text{hor}}, \pi_{\text{rot}}\}$.

Knotenkodierung im Dekompositionsbaum



Knotenkodierung im Dekompositionsbaum



Kanonische Kodierung

- Setze $C(G) = \langle 0 \rangle$ für alle Q-Knoten G .

Kanonische Kodierung

- Setze $C(G) = \langle 0 \rangle$ für alle Q-Knoten G .
- Für jede Tiefe $t = \max_G \text{tiefe}(G), \dots, 0$
 - Für jeden S- oder P-Knoten G der Tiefe t mit Nachfolgern G_1, \dots, G_k setze $C(G) = \langle c(G_1), \dots, c(G_k) \rangle$ und sortiere $C(G)$ nichtabsteigend, falls G ein P-Knoten ist.

Kanonische Kodierung

- Setze $C(G) = \langle 0 \rangle$ für alle Q-Knoten G .
- Für jede Tiefe $t = \max_G \text{tiefe}(G), \dots, 0$
 - Für jeden S- oder P-Knoten G der Tiefe t mit Nachfolgern G_1, \dots, G_k setze $C(G) = \langle c(G_1), \dots, c(G_k) \rangle$ und sortiere $C(G)$ nichtabsteigend, falls G ein P-Knoten ist.
 - Sortiere die Menge der Tupel aller Knoten der Tiefe t lexikographisch.

Kanonische Kodierung

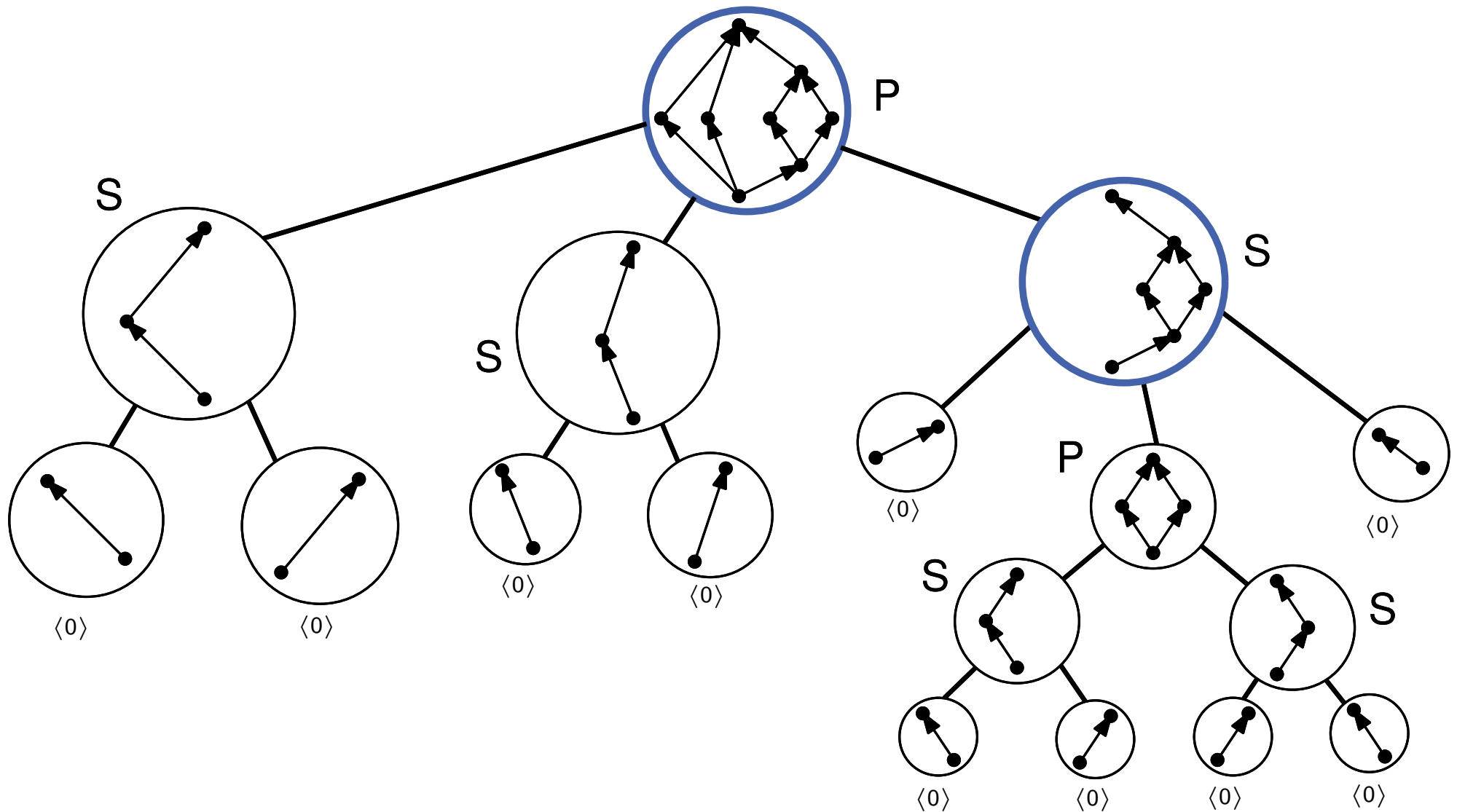
- Setze $C(G) = \langle 0 \rangle$ für alle Q-Knoten G .
- Für jede Tiefe $t = \max_G \text{tiefe}(G), \dots, 0$
 - Für jeden S- oder P-Knoten G der Tiefe t mit Nachfolgern G_1, \dots, G_k setze $C(G) = \langle c(G_1), \dots, c(G_k) \rangle$ und sortiere $C(G)$ nichtabsteigend, falls G ein P-Knoten ist.
 - Sortiere die Menge der Tupel aller Knoten der Tiefe t lexikographisch.
 - Für jede Komponente G der Tiefe t setze ihre Kodierung auf c , falls ihr Tupel in der sortierten Tupelfolge als c -tes verschiedenes Tupel auftritt.

Kanonische Kodierung

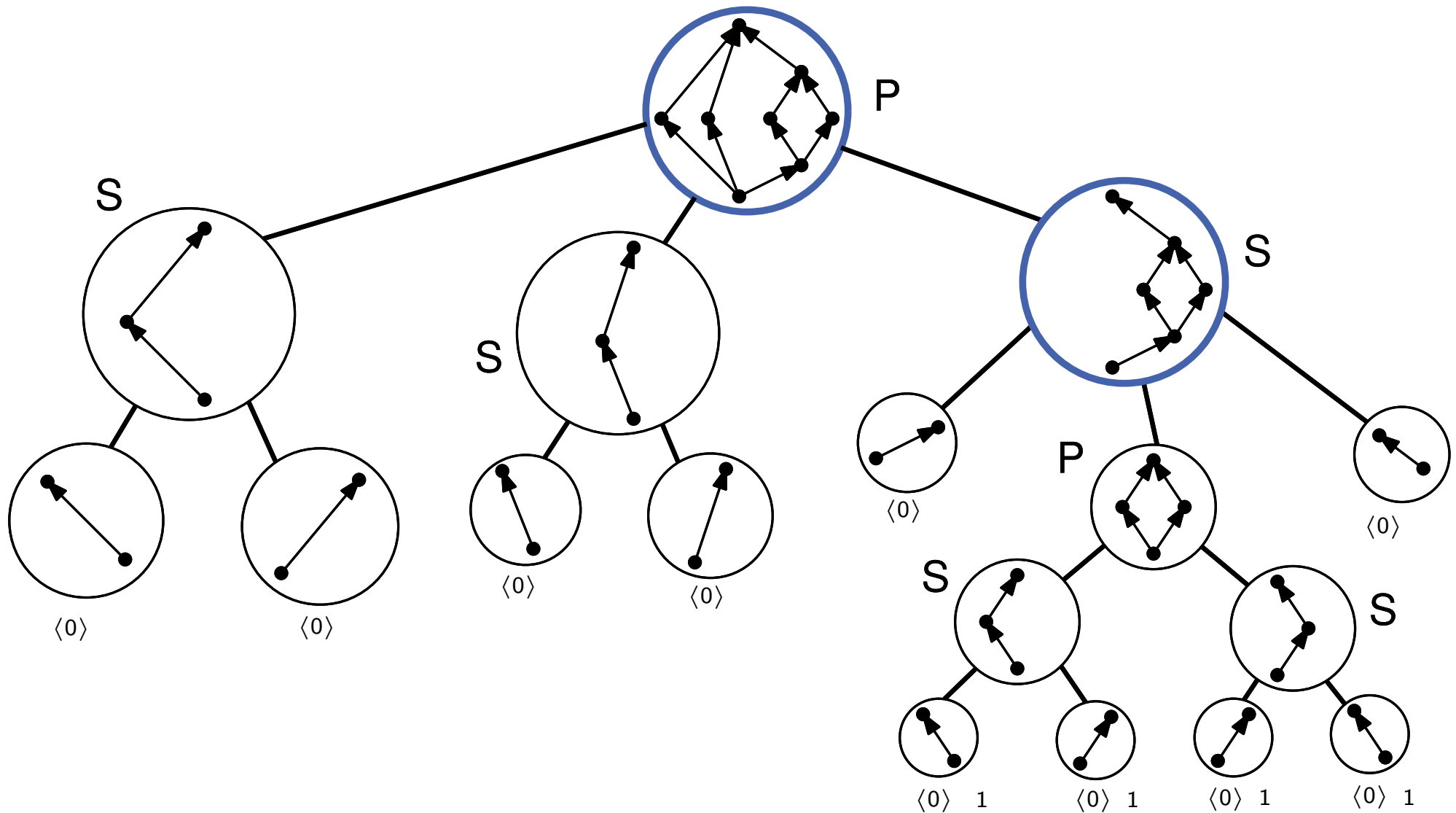
- Setze $C(G) = \langle 0 \rangle$ für alle Q-Knoten G .
- Für jede Tiefe $t = \max_G \text{tiefe}(G), \dots, 0$
 - Für jeden S- oder P-Knoten G der Tiefe t mit Nachfolgern G_1, \dots, G_k setze $C(G) = \langle c(G_1), \dots, c(G_k) \rangle$ und sortiere $C(G)$ nichtabsteigend, falls G ein P-Knoten ist.
 - Sortiere die Menge der Tupel aller Knoten der Tiefe t lexikographisch.
 - Für jede Komponente G der Tiefe t setze ihre Kodierung auf c , falls ihr Tupel in der sortierten Tupelfolge als c -tes verschiedenes Tupel auftritt.

Zwei Knoten u und v gleicher Tiefe sind genau dann isomorph, wenn sie den gleichen Code haben.

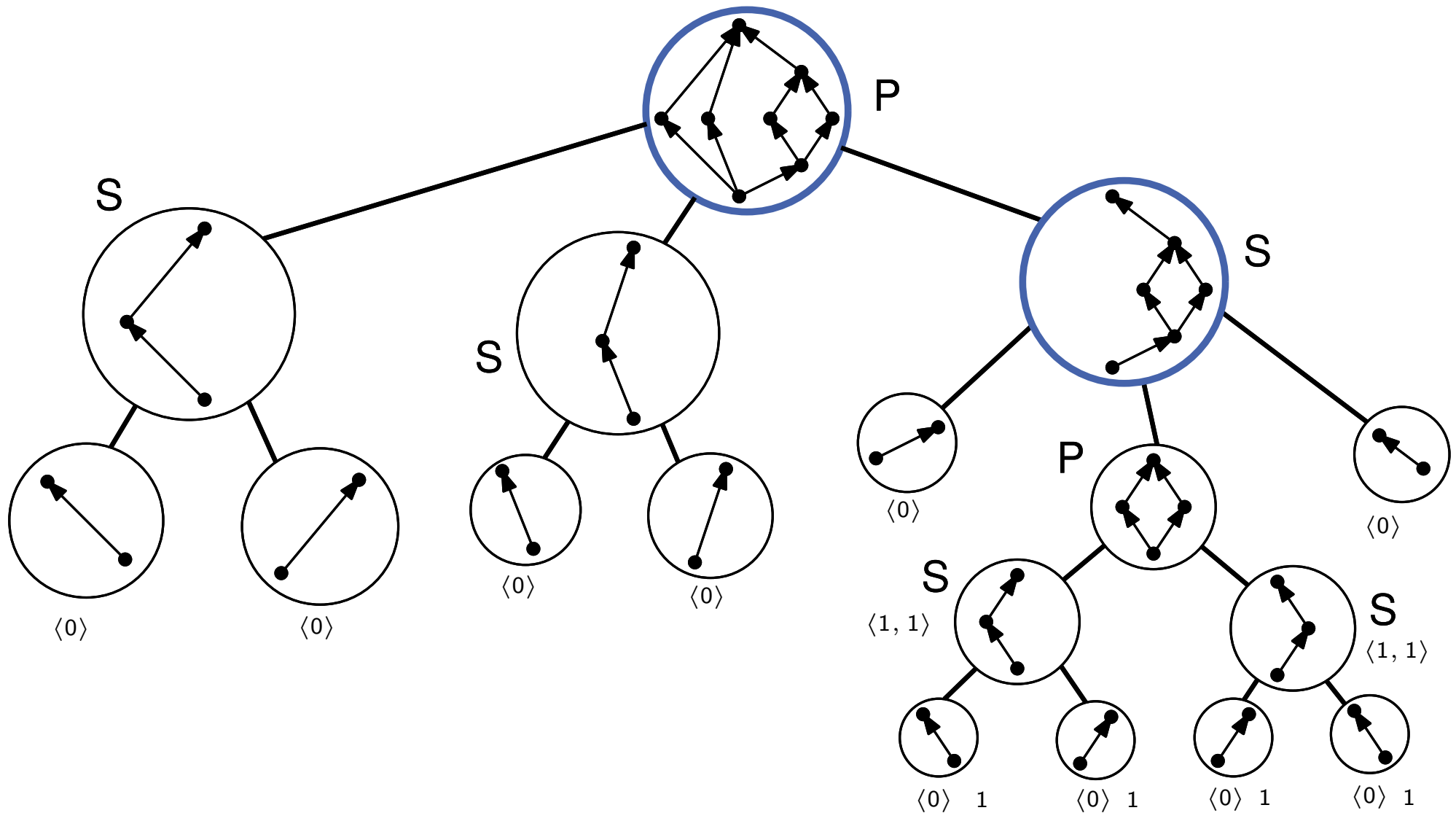
Knotenkodierung im Dekompositionsbaum



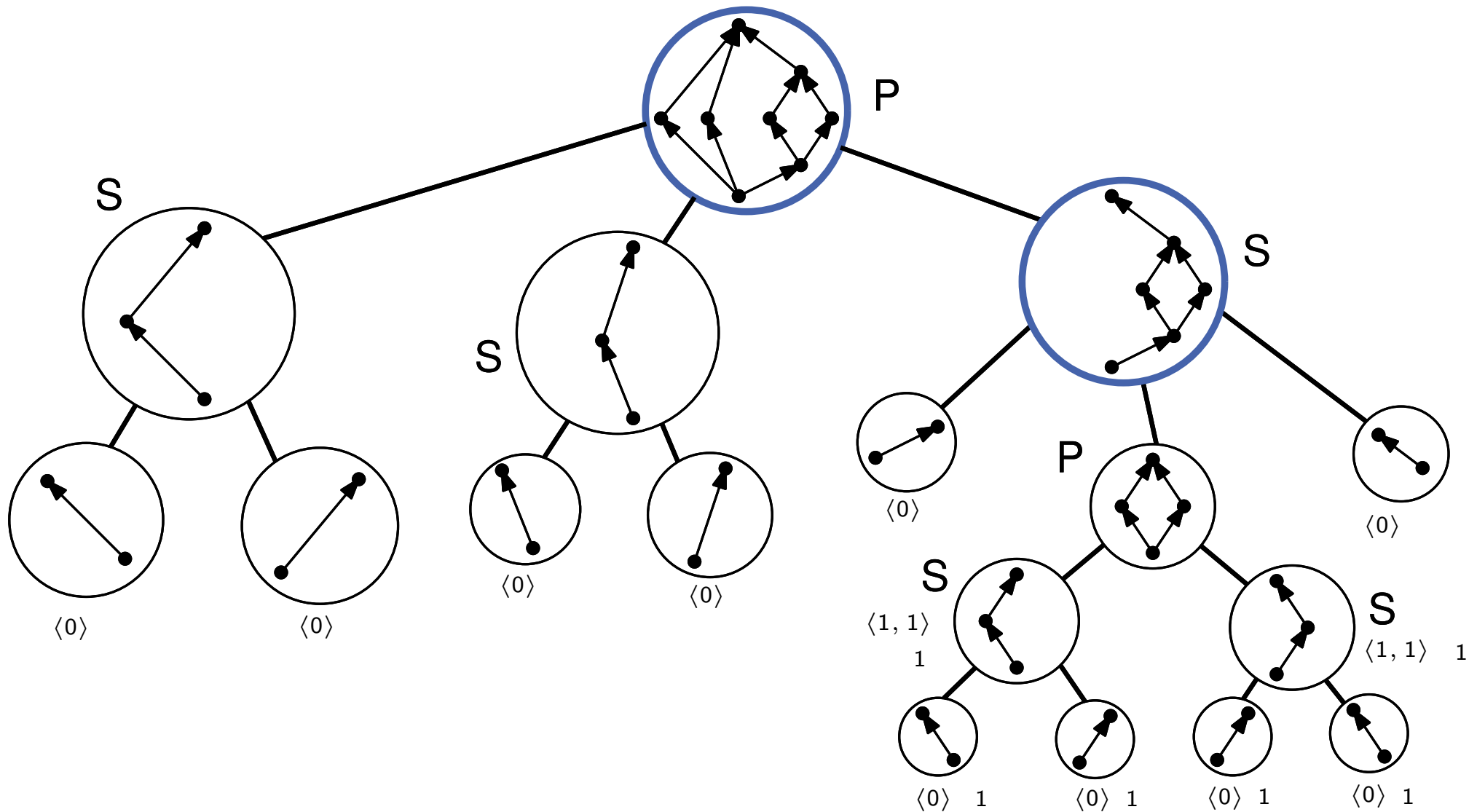
Knotenkodierung im Dekompositionsbaum



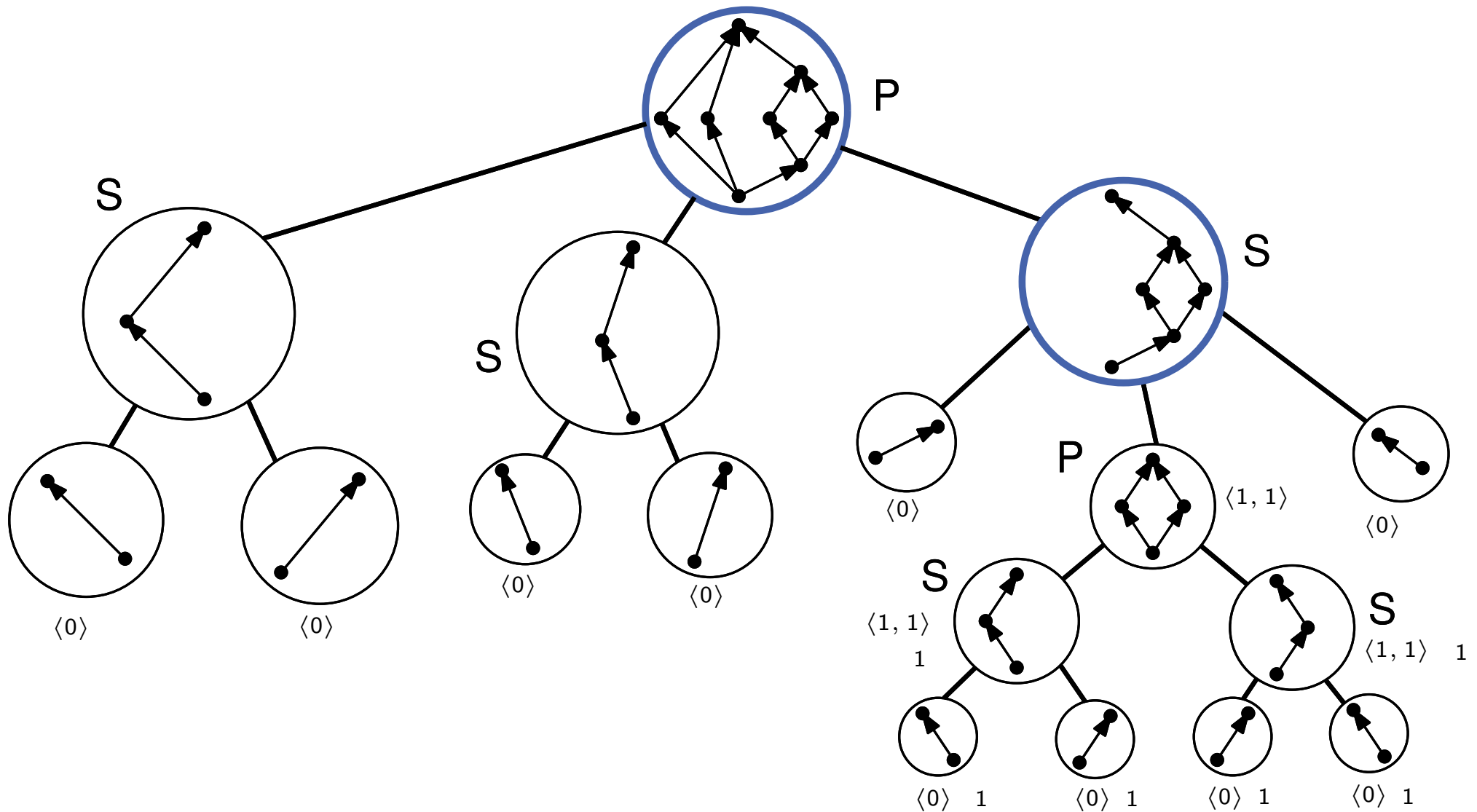
Knotenkodierung im Dekompositionsbaum



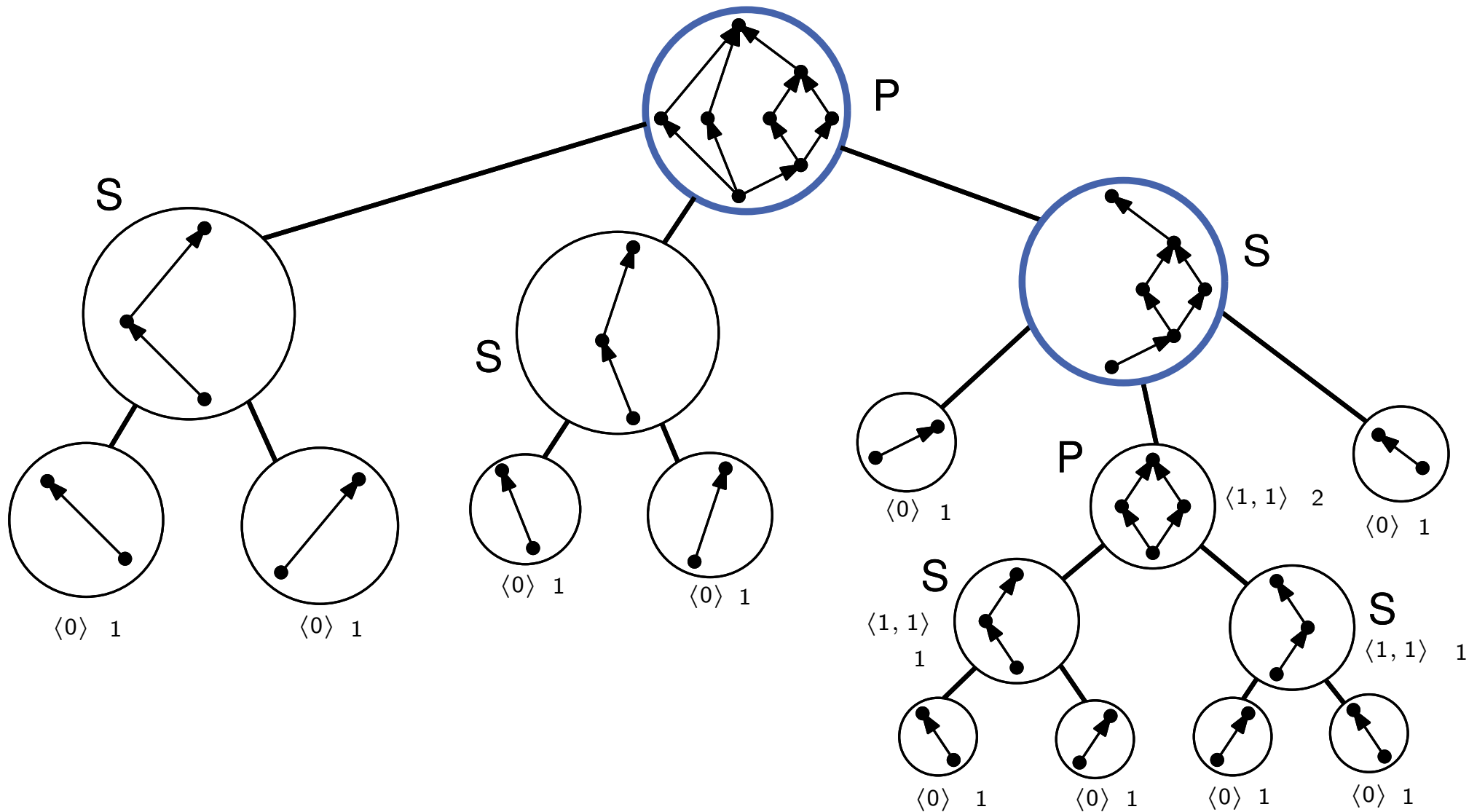
Knotenkodierung im Dekompositionsbaum



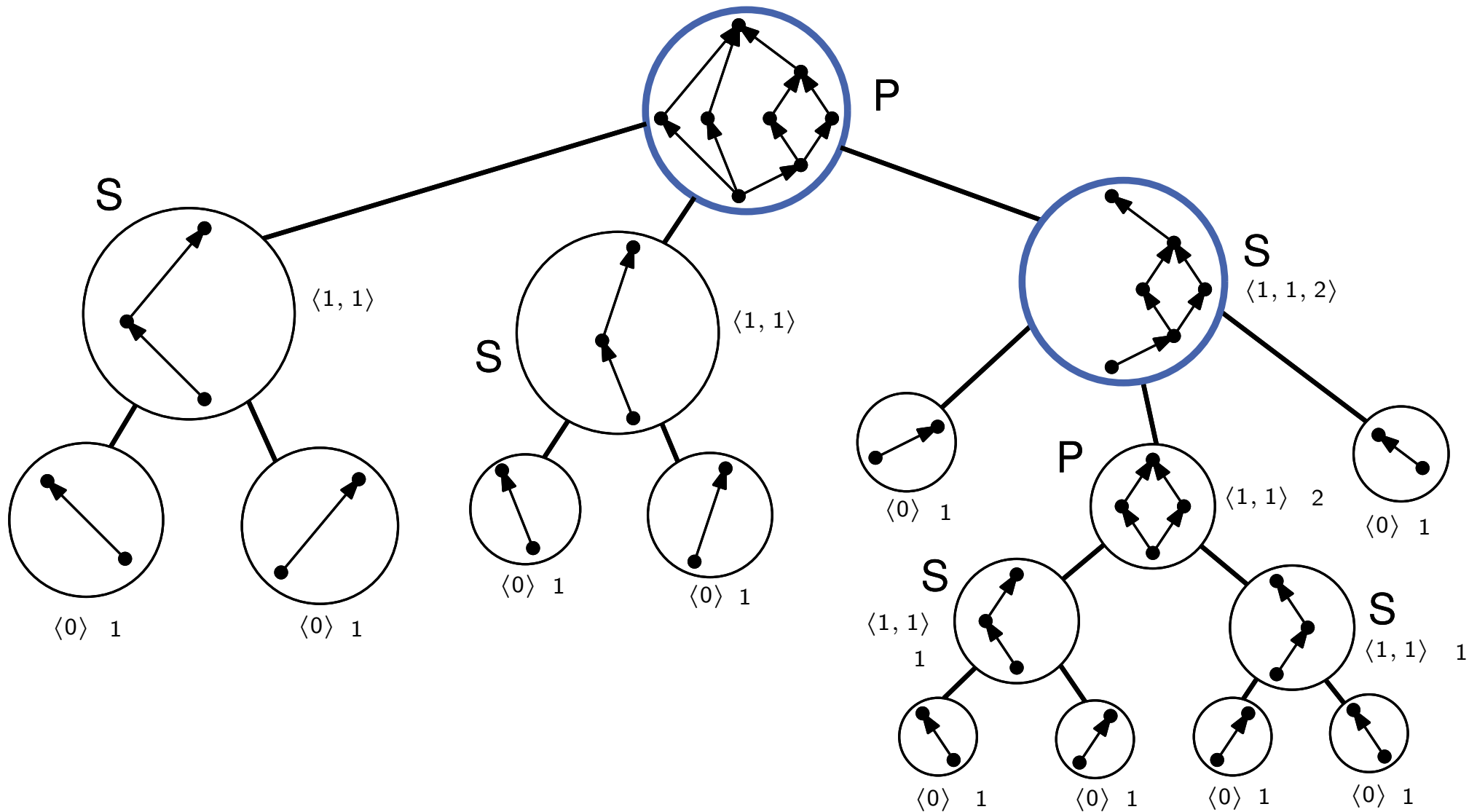
Knotenkodierung im Dekompositionsbaum



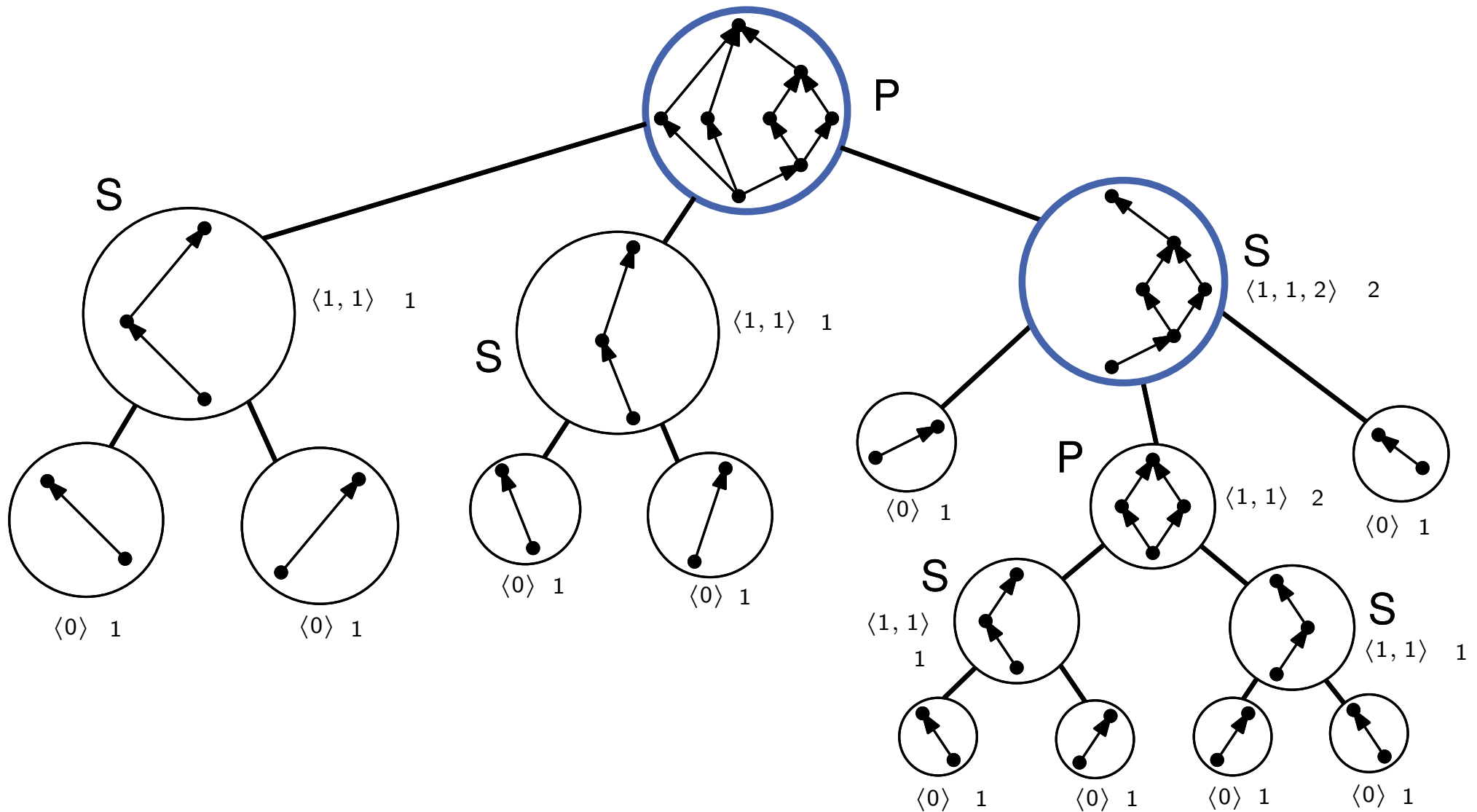
Knotenkodierung im Dekompositionsbaum



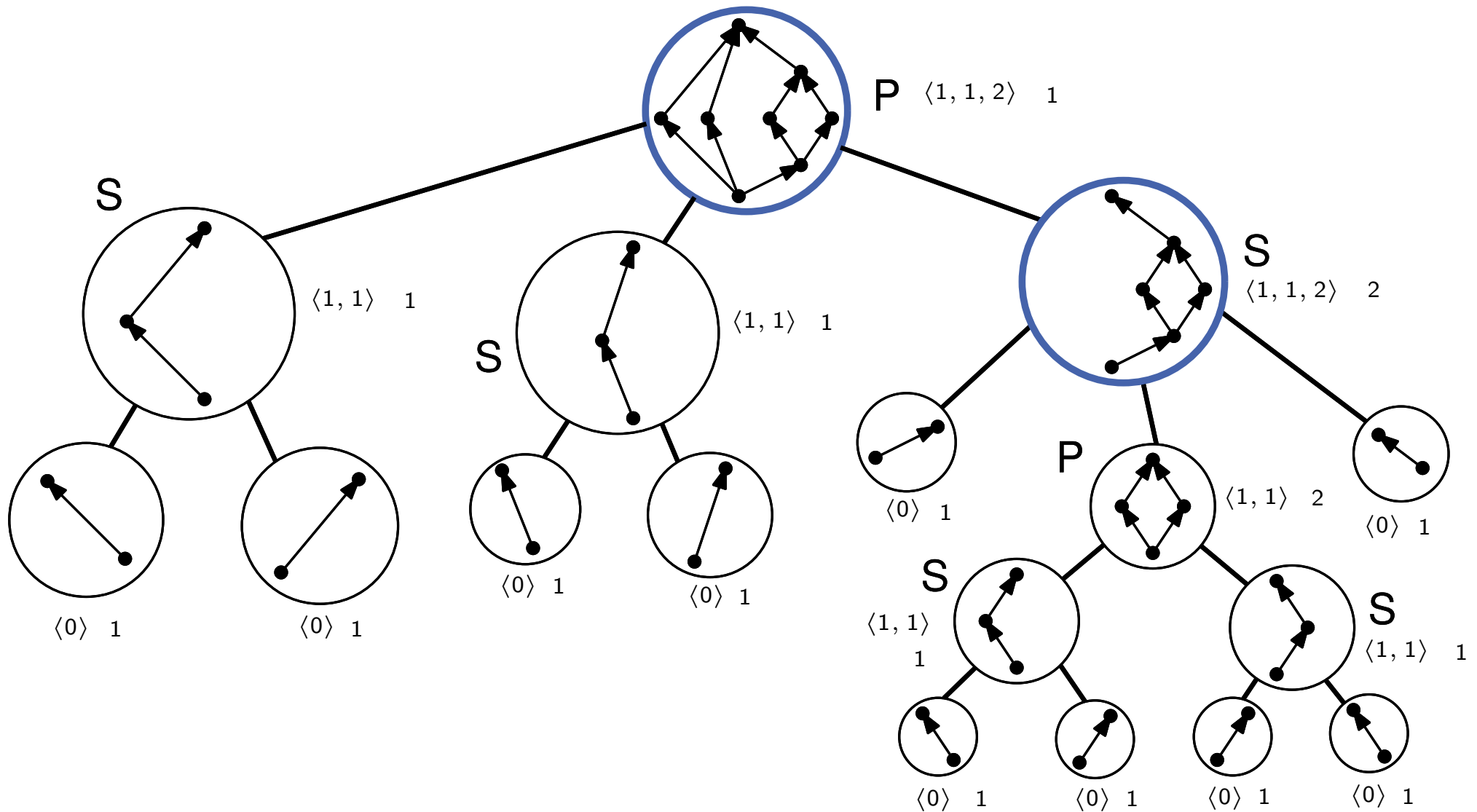
Knotenkodierung im Dekompositionsbaum



Knotenkodierung im Dekompositionsbaum



Knotenkodierung im Dekompositionsbaum



Satz (Hong, Eades, Lee '00)

Gegeben sei der kanonische Dekompositionsbaum eines serienparallelen Graphen. Es sei G eine Komponente, die durch Komposition der Komponenten G_1, \dots, G_k entstehe.

- Ist G ein S-Knoten, dann ist G vertikal symmetrisch, wenn alle G_1, \dots, G_k vertikal symmetrisch sind.

Satz (Hong, Eades, Lee '00)

Gegeben sei der kanonische Dekompositionsbaum eines serienparallelen Graphen. Es sei G eine Komponente, die durch Komposition der Komponenten G_1, \dots, G_k entstehe.

- Ist G ein S-Knoten, dann ist G vertikal symmetrisch, wenn alle G_1, \dots, G_k vertikal symmetrisch sind.
- Ist G ein P-Knoten, so betrachten wir die Klassen $\mathcal{G}_j = \{G_i : 1 \leq i \leq k, c(G_i) = j\}$, $j = 1, \dots, k$, von isomorphen Teilgraphen.
 - $|\mathcal{G}_j|$ gerade $\forall j \Rightarrow$ vertikal symmetrisch

Satz (Hong, Eades, Lee '00)

Gegeben sei der kanonische Dekompositionsbaum eines serienparallelen Graphen. Es sei G eine Komponente, die durch Komposition der Komponenten G_1, \dots, G_k entstehe.

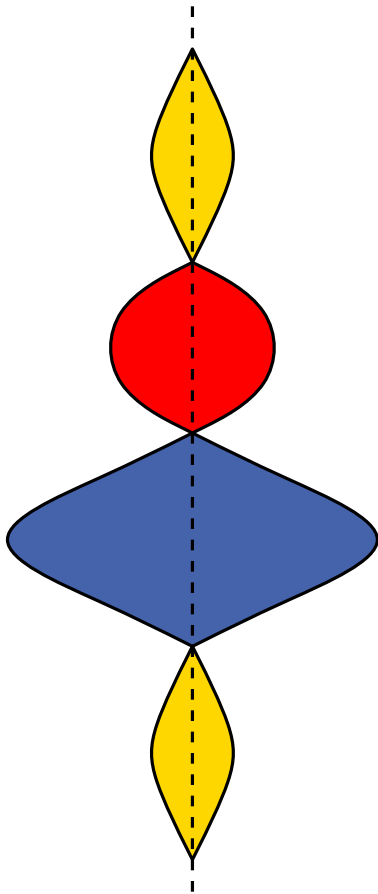
- Ist G ein S-Knoten, dann ist G vertikal symmetrisch, wenn alle G_1, \dots, G_k vertikal symmetrisch sind.
- Ist G ein P-Knoten, so betrachten wir die Klassen $\mathcal{G}_j = \{G_i : 1 \leq i \leq k, c(G_i) = j\}$, $j = 1, \dots, k$, von isomorphen Teilgraphen.
 - $|\mathcal{G}_j|$ gerade $\forall j \Rightarrow$ vertikal symmetrisch
 - $|\mathcal{G}_j|$ ungerade für genau ein $j \Rightarrow G$ vertikal symmetrisch g.d.w. Graphen in \mathcal{G}_j vertikal symmetrisch

Satz (Hong, Eades, Lee '00)

Gegeben sei der kanonische Dekompositionsbaum eines serienparallelen Graphen. Es sei G eine Komponente, die durch Komposition der Komponenten G_1, \dots, G_k entstehe.

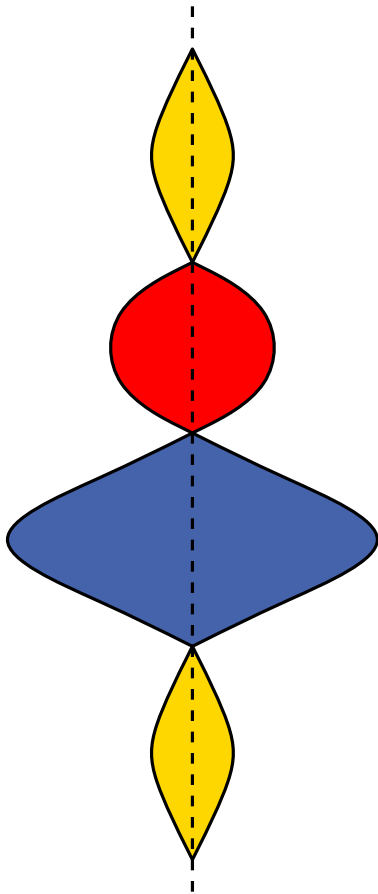
- Ist G ein S-Knoten, dann ist G vertikal symmetrisch, wenn alle G_1, \dots, G_k vertikal symmetrisch sind.
- Ist G ein P-Knoten, so betrachten wir die Klassen $\mathcal{G}_j = \{G_i : 1 \leq i \leq k, c(G_i) = j\}$, $j = 1, \dots, k$, von isomorphen Teilgraphen.
 - $|\mathcal{G}_j|$ gerade $\forall j \Rightarrow$ vertikal symmetrisch
 - $|\mathcal{G}_j|$ ungerade für genau ein $j \Rightarrow G$ vertikal symmetrisch g.d.w. Graphen in \mathcal{G}_j vertikal symmetrisch
 - $|\mathcal{G}_i|, |\mathcal{G}_j|$ ungerade für $i \neq j \Rightarrow G$ nicht vertikal symmetrisch

Beweisidee vertikale Symmetrie

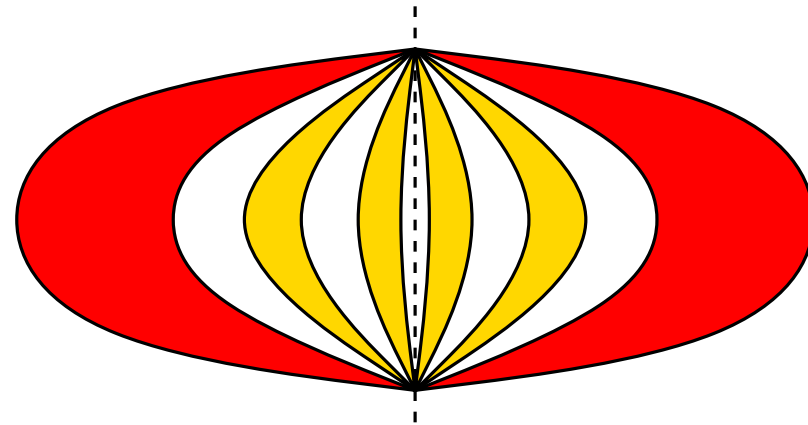


S-Knoten

Beweisidee vertikale Symmetrie

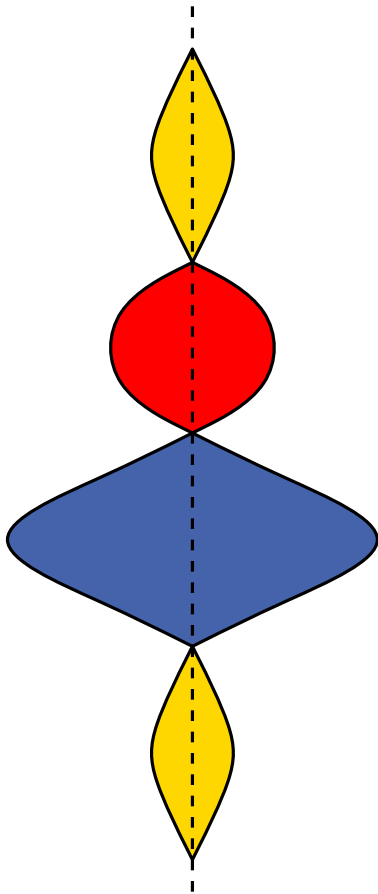


S-Knoten

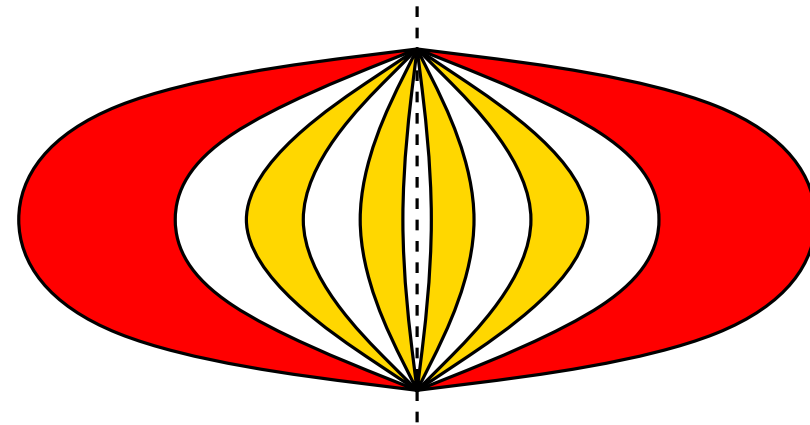


P-Knoten, alle Klassen gerade Anzahl

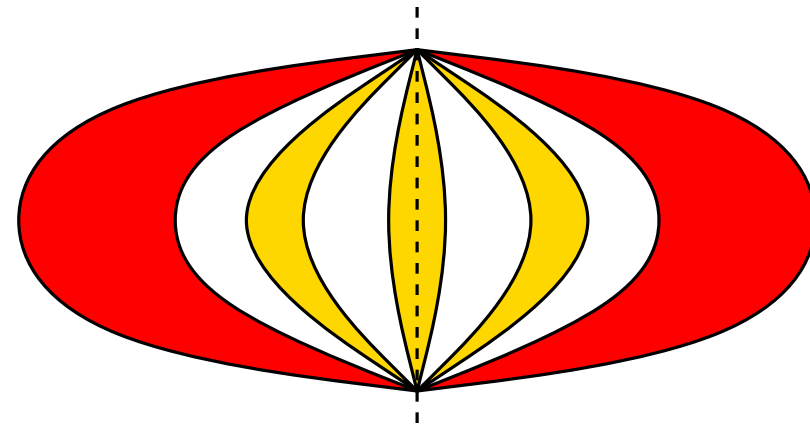
Beweisidee vertikale Symmetrie



S-Knoten
alle Knoten v-symm.

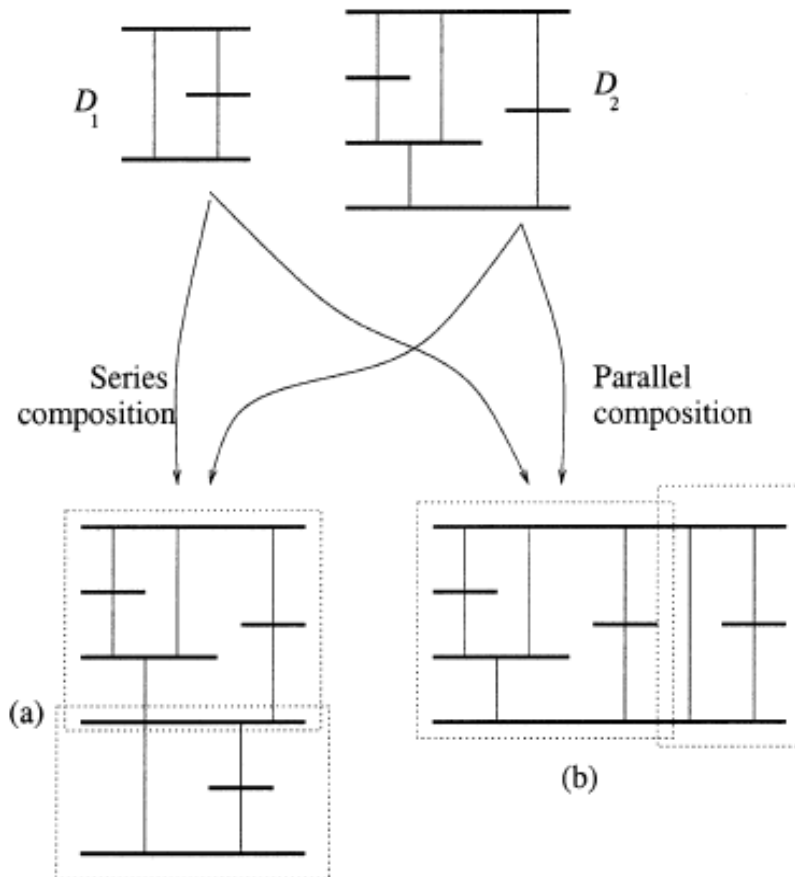


P-Knoten, alle Klassen gerade Anzahl



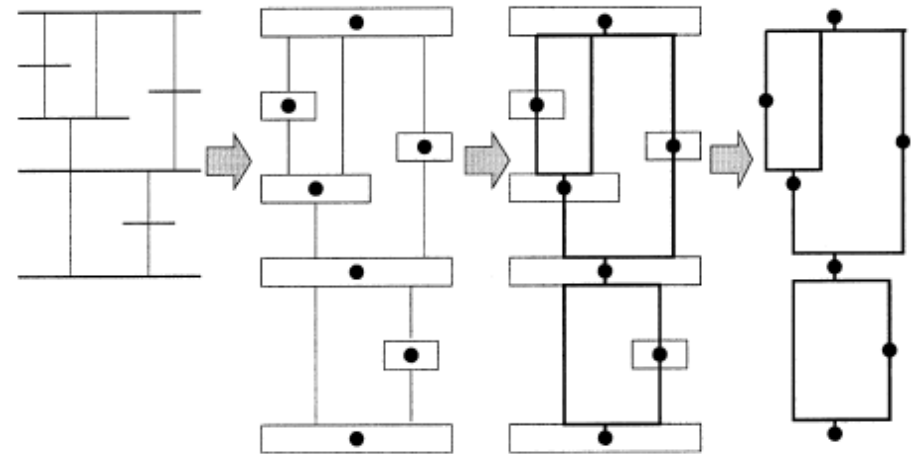
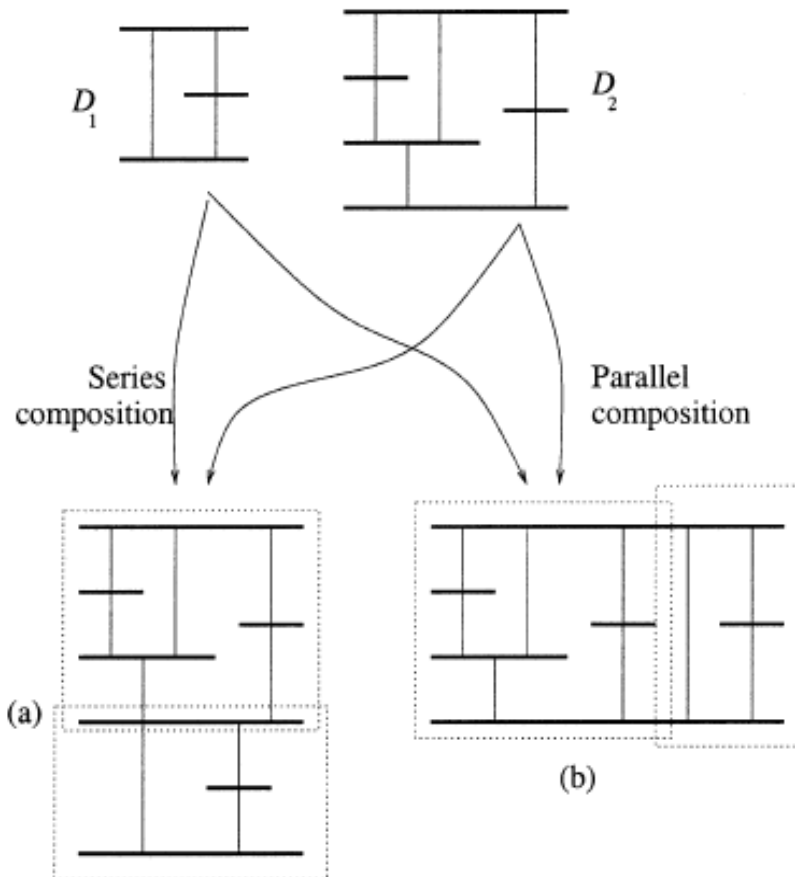
P-Knoten, eine Klasse ungerade Anzahl & v-symm.

Symmetrien zeichnen



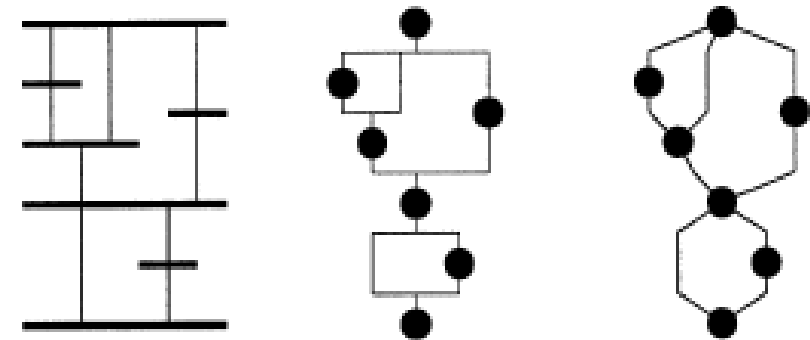
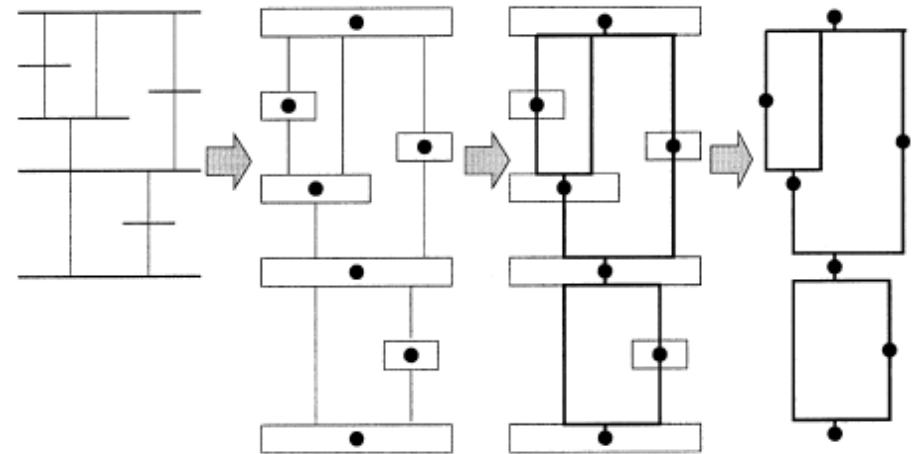
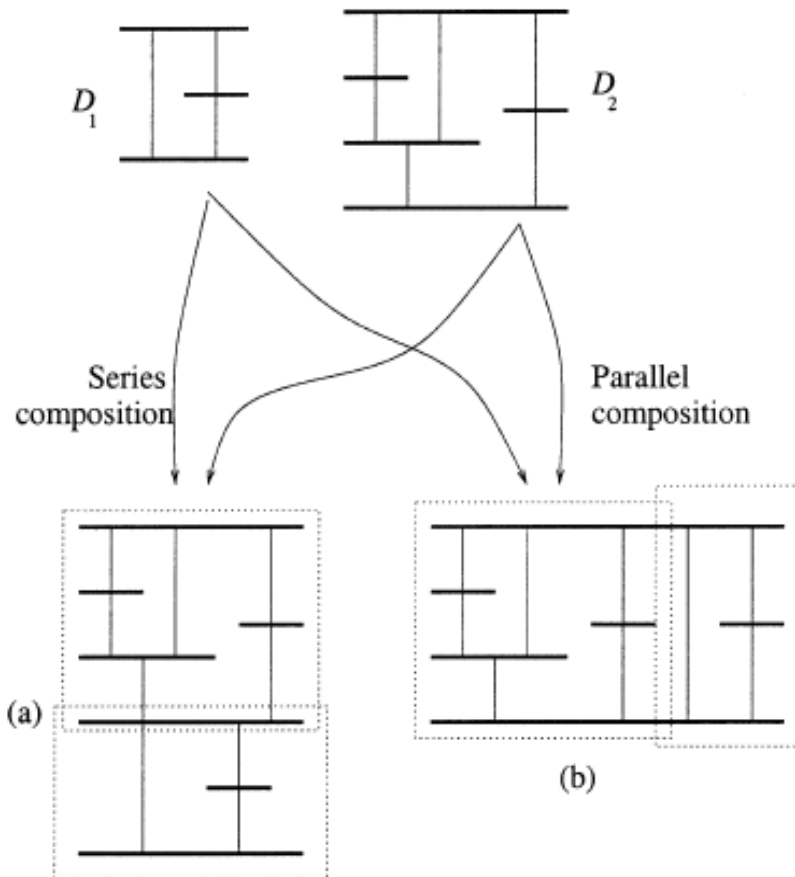
aus Hong, Eades, Lee '00

Symmetrien zeichnen



aus Hong, Eades, Lee '00

Symmetrien zeichnen



aus Hong, Eades, Lee '00

Allgemeine Vorgehensweise

- bestimme geeignete Knoten-Ordnung
- berechne Layout inkrementell durch iteratives Hinzufügen der Knoten

Beispiel: Orthogonale Zeichnung von Graphen mit Maximalgrad ≤ 4

Vorgehensweise

- 2-fach-Zusammenhangskomponenten berechnen
- für jede 2-fach-Zusammenhangskomponente geeignete Knoten-Ordnung berechnen
- Inkrementelles Layout für Zusammenhangskomponente
- rekursiver Ansatz für Gesamt-Graph

Blöcke und Block-Baum

Schnittknoten (Artikulation): Knoten, dessen Entfernen die Anzahl der Zusammenhangskomponenten erhöht; C Menge der Schnittknoten von G

Blöcke und Block-Baum

Schnittknoten (Artikulation): Knoten, dessen Entfernen die Anzahl der Zusammenhangskomponenten erhöht; C Menge der Schnittknoten von G

Block maximaler 2-fach zusammenhängender Graph oder Brücke oder isolierter Knoten; Menge der Blöcke B

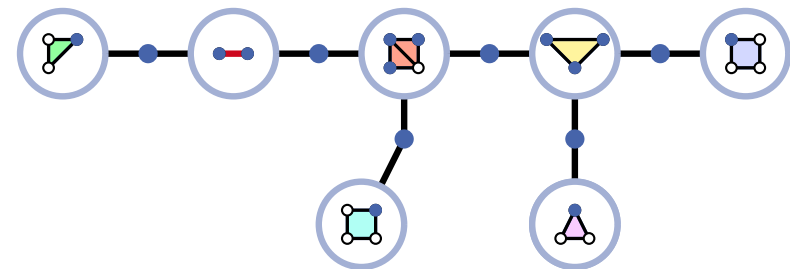
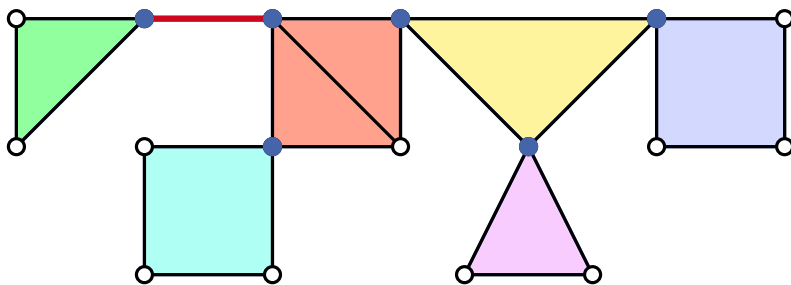
Blöcke und Block-Baum

Schnittknoten (Artikulation): Knoten, dessen Entfernen die Anzahl der Zusammenhangskomponenten erhöht; C Menge der Schnittknoten von G

Block maximaler 2-fach zusammenhängender Graph oder Brücke oder isolierter Knoten; Menge der Blöcke B

Block-Baum

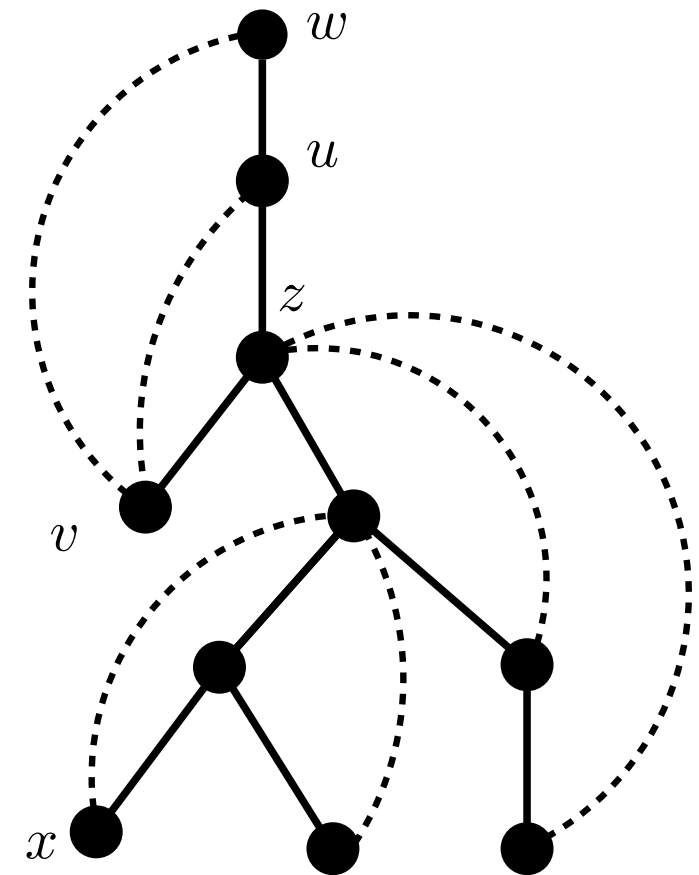
Baum $T = (B, F)$ mit $B = B \cup C$ und F enthält alle Kanten zwischen $b \in B$ und $c \in C$ genau dann, wenn $c \in b$ gilt.



Terminologie

Spannbaum Baum der alle Knoten enthält

Spannbaum mit Wurzel Jeder Knoten (außer der Wurzel) hat eindeutigen Vorgänger

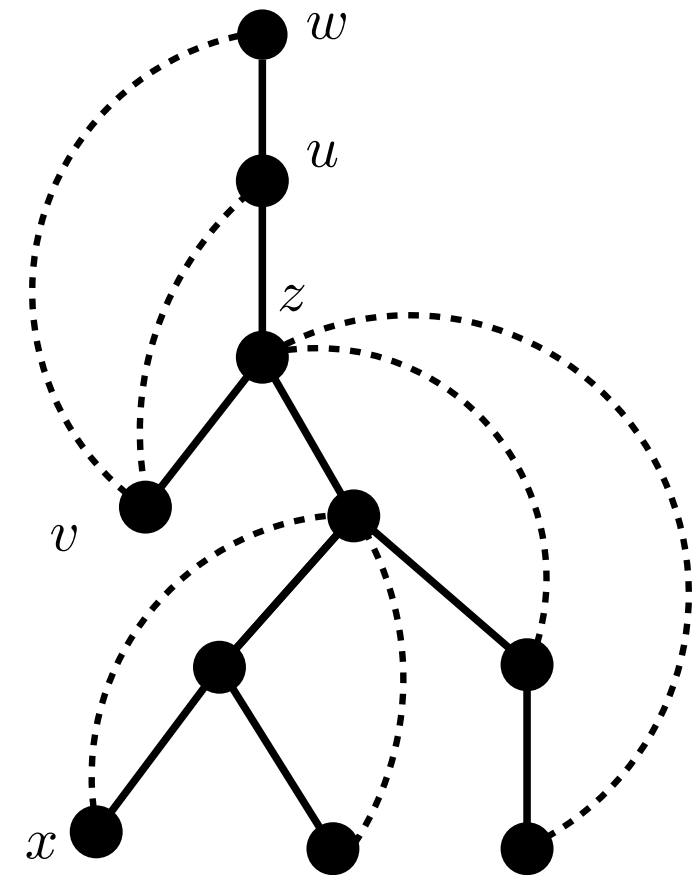


Terminologie

Spannbaum Baum der alle Knoten enthält

Spannbaum mit Wurzel Jeder Knoten (außer der Wurzel) hat eindeutigen Vorgänger

DFS-Baum Spannbaum mit Wurzel, der durch Tiefensuche in Graphen entsteht



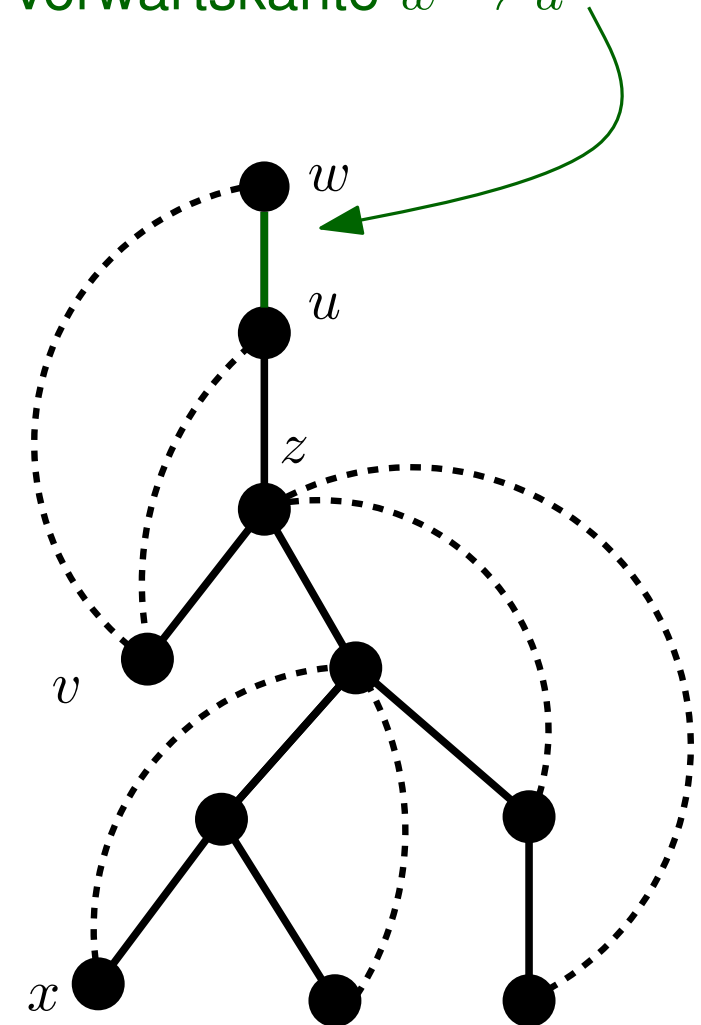
Terminologie

Spannbaum Baum der alle Knoten enthält

Spannbaum mit Wurzel Jeder Knoten (außer der Wurzel) hat eindeutigen Vorgänger

DFS-Baum Spannbaum mit Wurzel, der durch Tiefensuche in Graphen entsteht

Vorwärtskante $w \rightarrow u$

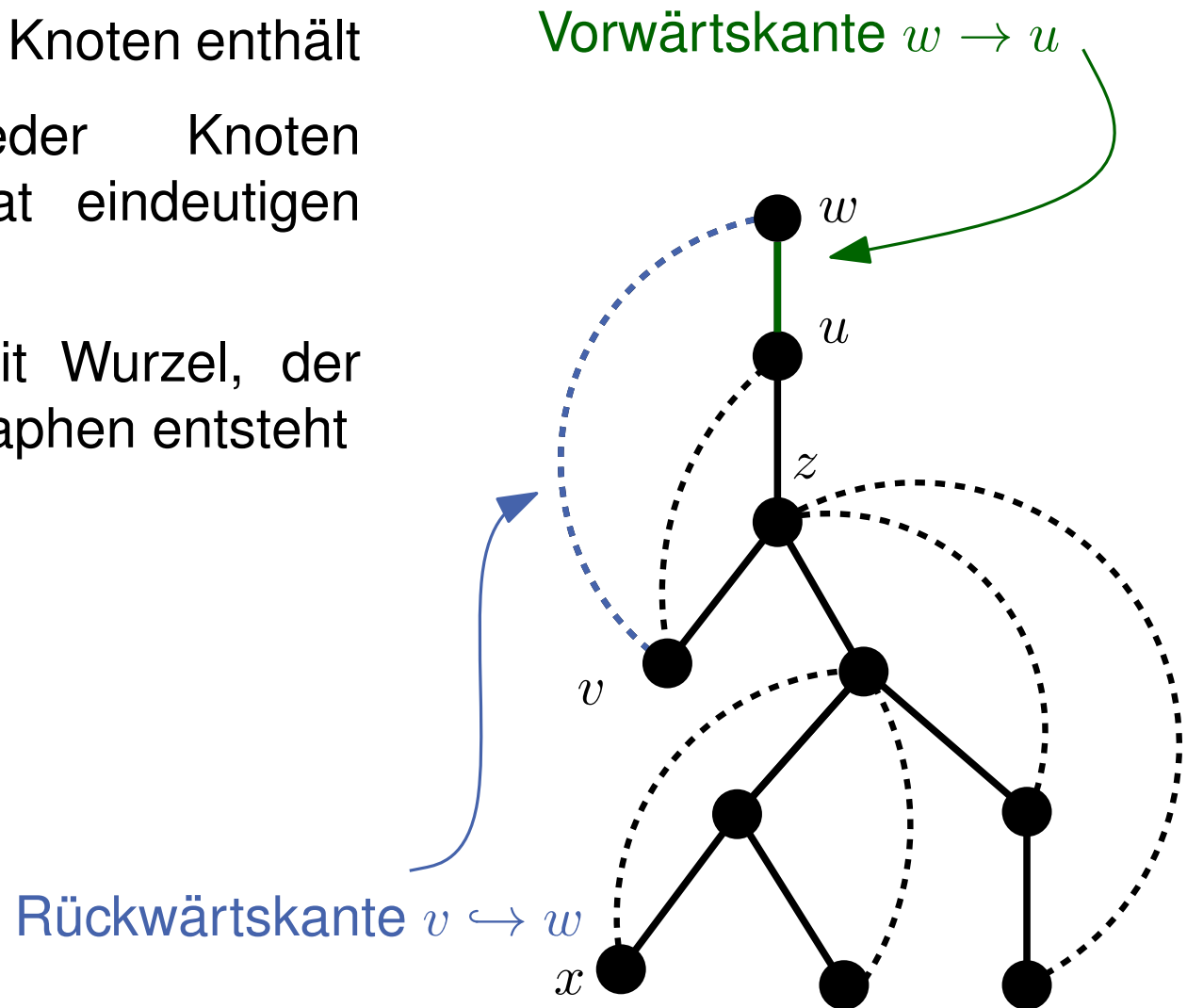


Terminologie

Spannbaum Baum der alle Knoten enthält

Spannbaum mit Wurzel Jeder Knoten (außer der Wurzel) hat eindeutigen Vorgänger

DFS-Baum Spannbaum mit Wurzel, der durch Tiefensuche in Graphen entsteht

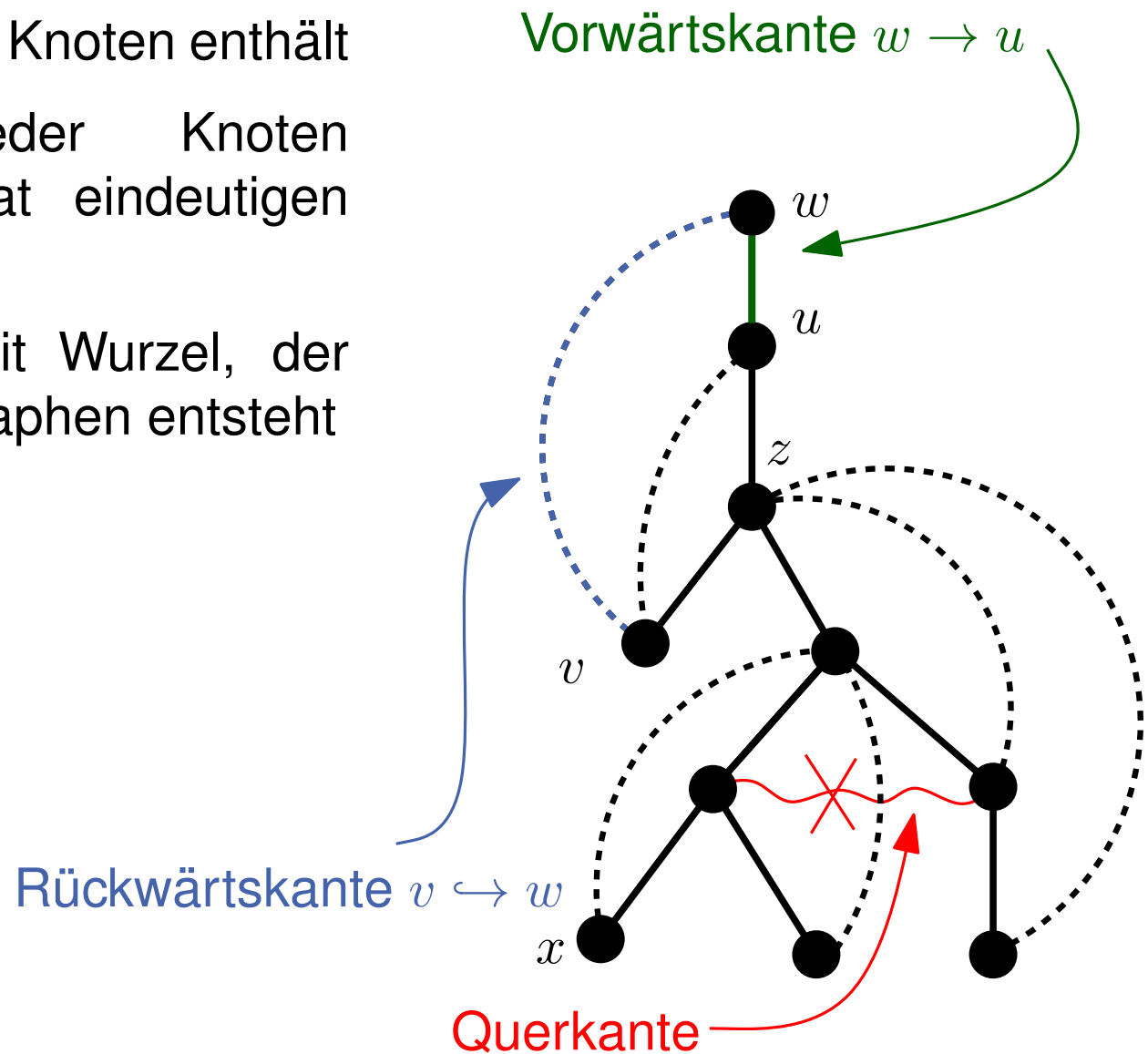


Terminologie

Spannbaum Baum der alle Knoten enthält

Spannbaum mit Wurzel Jeder Knoten (außer der Wurzel) hat eindeutigen Vorgänger

DFS-Baum Spannbaum mit Wurzel, der durch Tiefensuche in Graphen entsteht

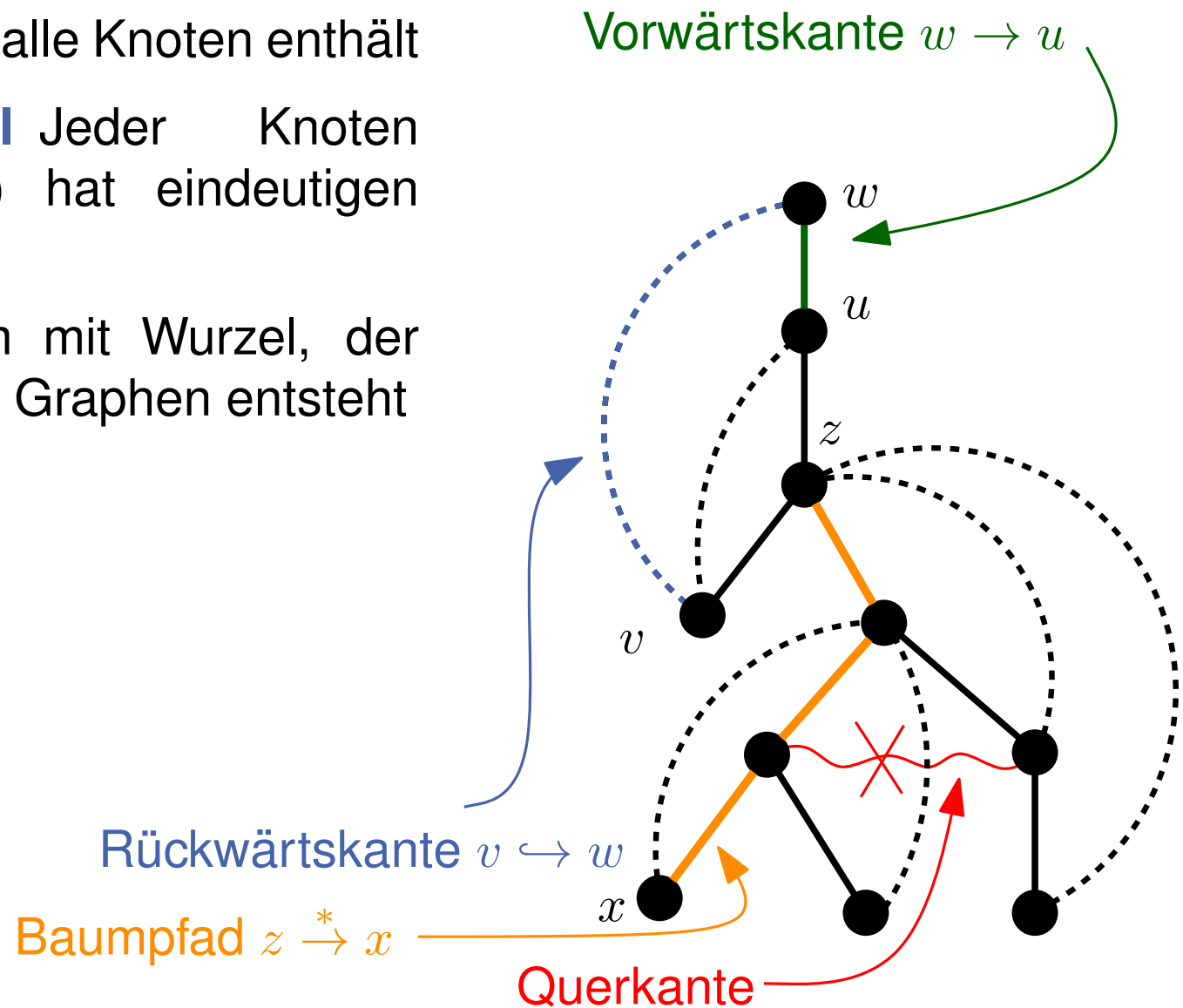


Terminologie

Spannbaum Baum der alle Knoten enthält

Spannbaum mit Wurzel Jeder Knoten (außer der Wurzel) hat eindeutigen Vorgänger

DFS-Baum Spannbaum mit Wurzel, der durch Tiefensuche in Graphen entsteht



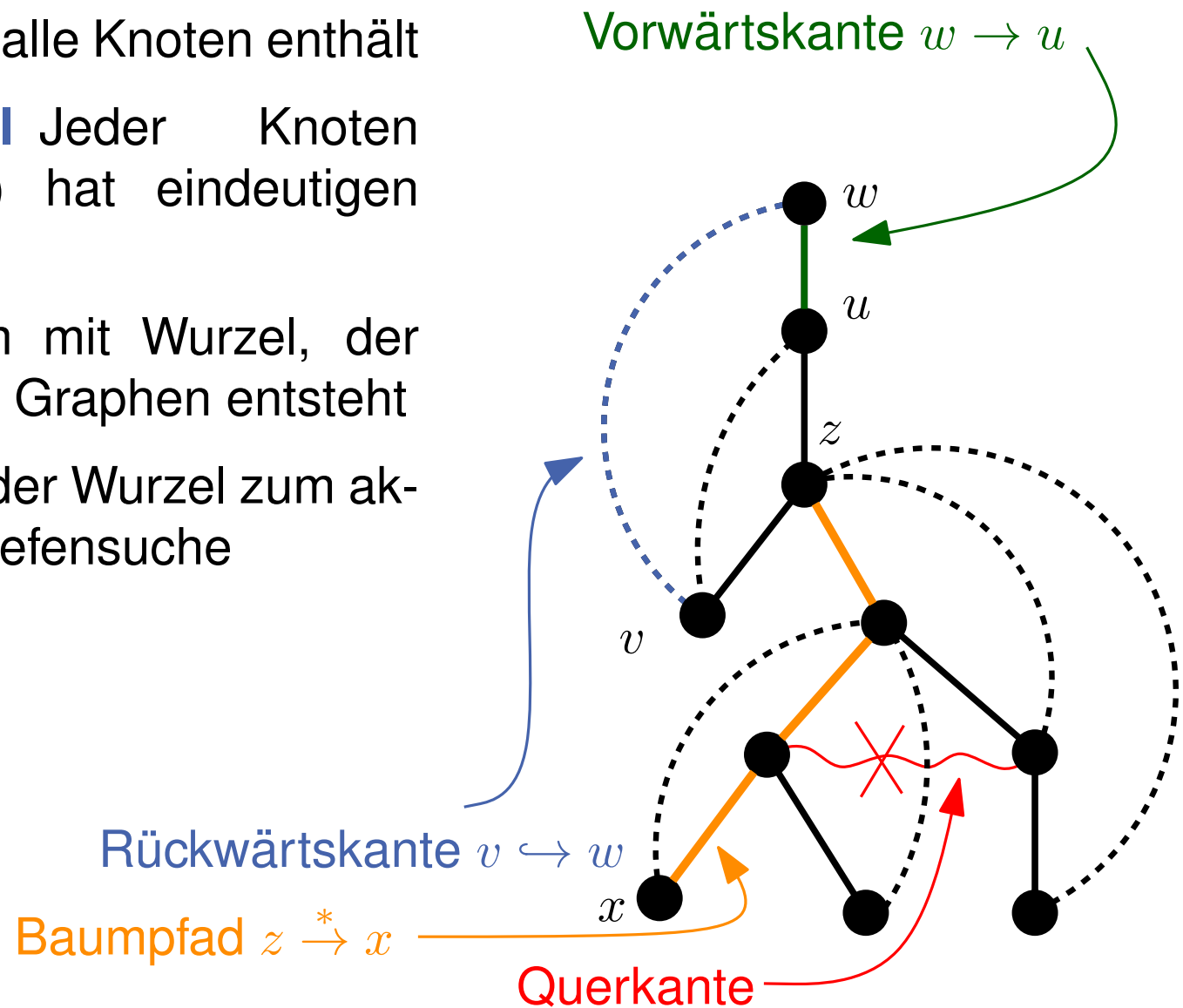
Terminologie

Spannbaum Baum der alle Knoten enthält

Spannbaum mit Wurzel Jeder Knoten (außer der Wurzel) hat eindeutigen Vorgänger

DFS-Baum Spannbaum mit Wurzel, der durch Tiefensuche in Graphen entsteht

offener Pfad Pfad von der Wurzel zum aktuellen Knoten der Tiefensuche



Terminologie

Spannbaum Baum der alle Knoten enthält

Spannbaum mit Wurzel Jeder Knoten (außer der Wurzel) hat eindeutigen Vorgänger

DFS-Baum Spannbaum mit Wurzel, der durch Tiefensuche in Graphen entsteht

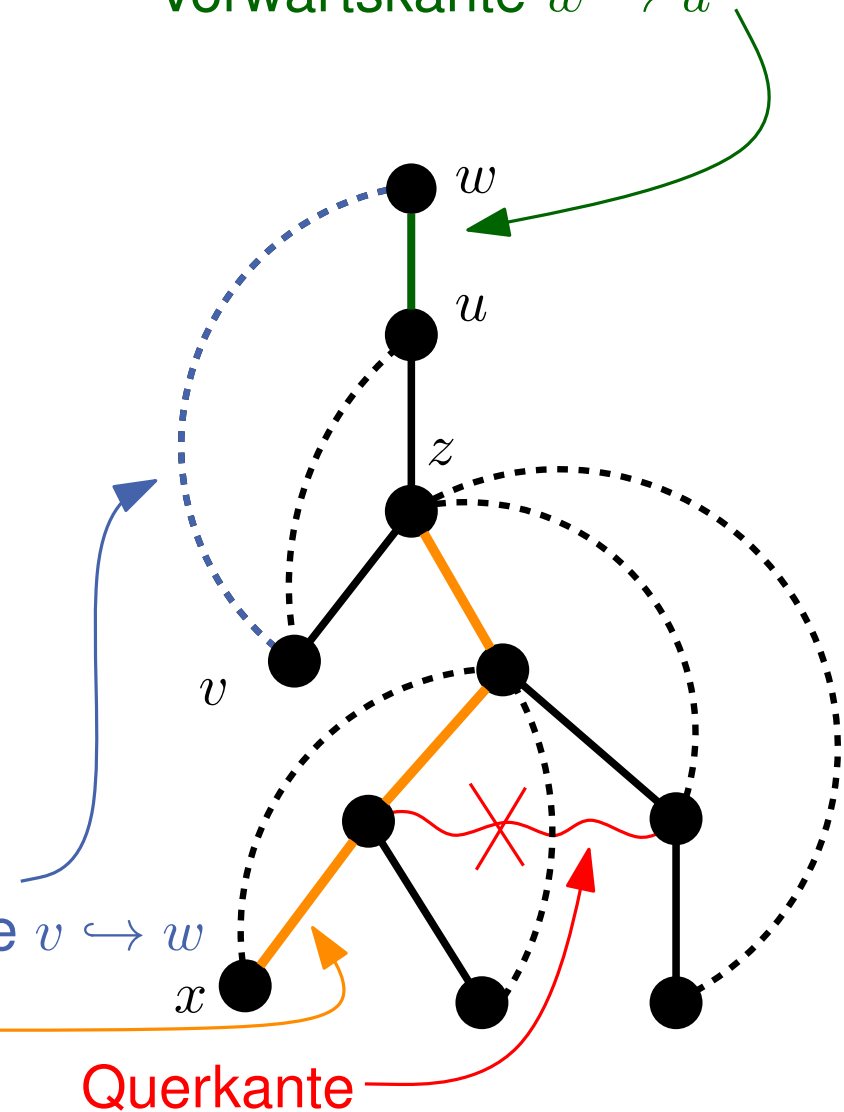
offener Pfad Pfad von der Wurzel zum aktuellen Knoten der Tiefensuche

Lowpoint Der Lowpoint w von u ist der Knoten in $T(G)$, der s am nächsten ist, so dass ein Weg $u \xrightarrow{*} v \hookrightarrow w$ existiert.

Rückwärtskante $v \hookrightarrow w$

Baumpfad $z \xrightarrow{*} x$

Vorwärtskante $w \rightarrow u$



Beobachtung [Tarjan '73]

Ein Graph $G = (V, E)$ ist genau dann zweifach zusammenhängend, wenn im DFS-Baum $T(G)$ nur die Wurzel s ihr eigener Lowpoint ist und wenn es höchstens eine Kante $v \rightarrow w$ gibt, so dass v der Lowpoint von w ist (dann ist v die Wurzel).

Beobachtung [Tarjan '73]

Ein Graph $G = (V, E)$ ist genau dann zweifach zusammenhängend, wenn im DFS-Baum $T(G)$ nur die Wurzel s ihr eigener Lowpoint ist und wenn es höchstens eine Kante $v \rightarrow w$ gibt, so dass v der Lowpoint von w ist (dann ist v die Wurzel).

Algorithmus zur Berechnung von 2-fachen Zusammenhangskomponenten von Tarjan

- 1. Phase: berechne Lowpoints
- 2. Phase: benutze Lowpoint-Information, um Zusammenhangskomponenten zu berechnen
- Nachteil: Graph muss 2 mal durchsucht werden

Andere Herangehensweise [Gabow '00]

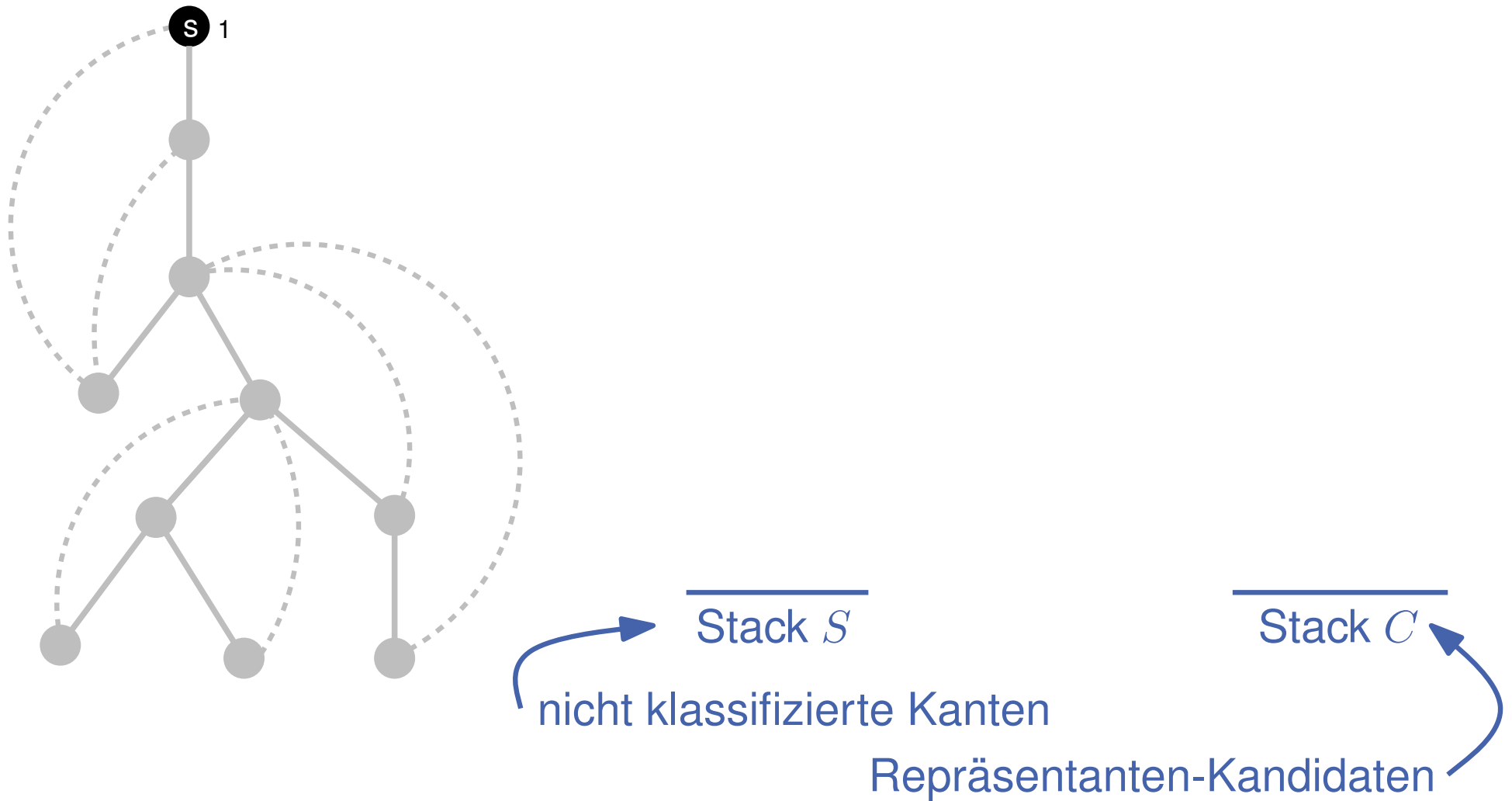
Pfadbasierte Berechnung von 2-fachen Zusammenhangskomponenten in DFS-Baum

Beobachtung

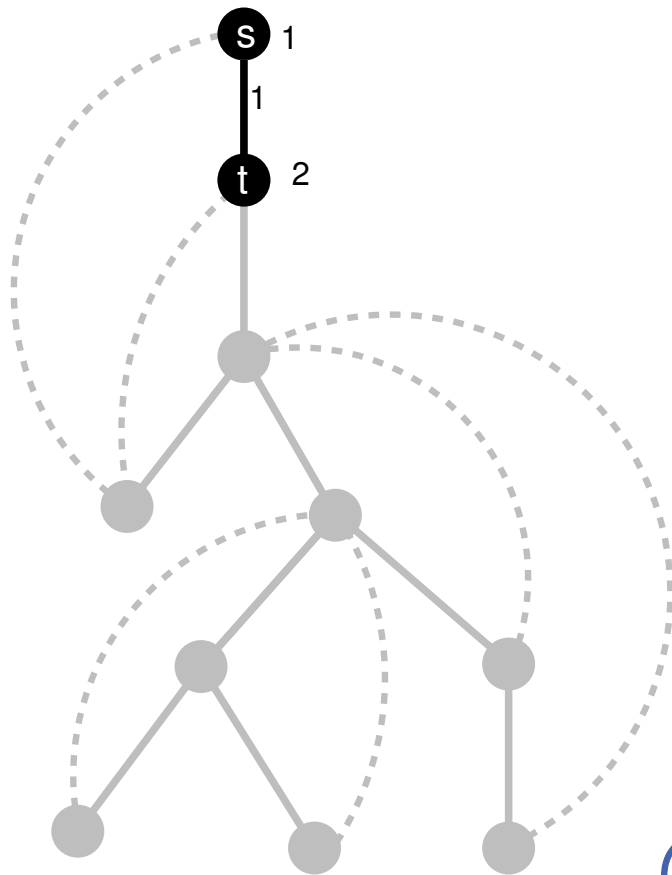
Zwei Kanten sind in der gleichen 2-fachen Zusammenhangskomponenten genau dann, wenn es einen einfachen Kreis gibt, der beide Kanten enthält.

→ Äquivalenz-Relation auf der Menge der Kanten, benutze "erste" Kante einer Komponente als **Repräsentant**

Berechnung von Blöcken



Berechnung von Blöcken



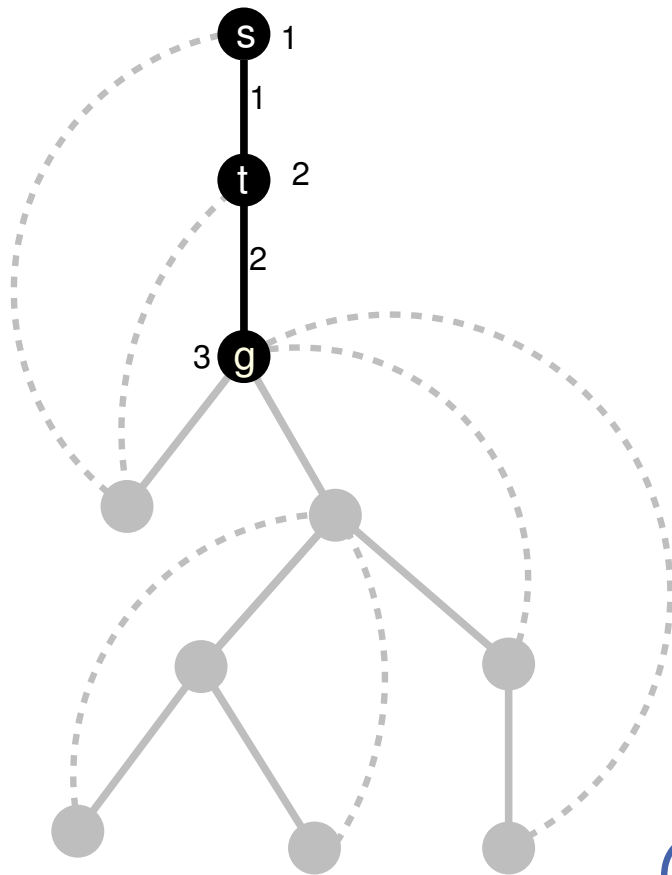
$$\frac{s \rightarrow t}{\text{Stack } S}$$

$$\frac{s \rightarrow t (1)}{\text{Stack } C}$$

nicht klassifizierte Kanten

Repräsentanten-Kandidaten

Berechnung von Blöcken



$$\frac{t \rightarrow g}{s \rightarrow t}$$

Stack S

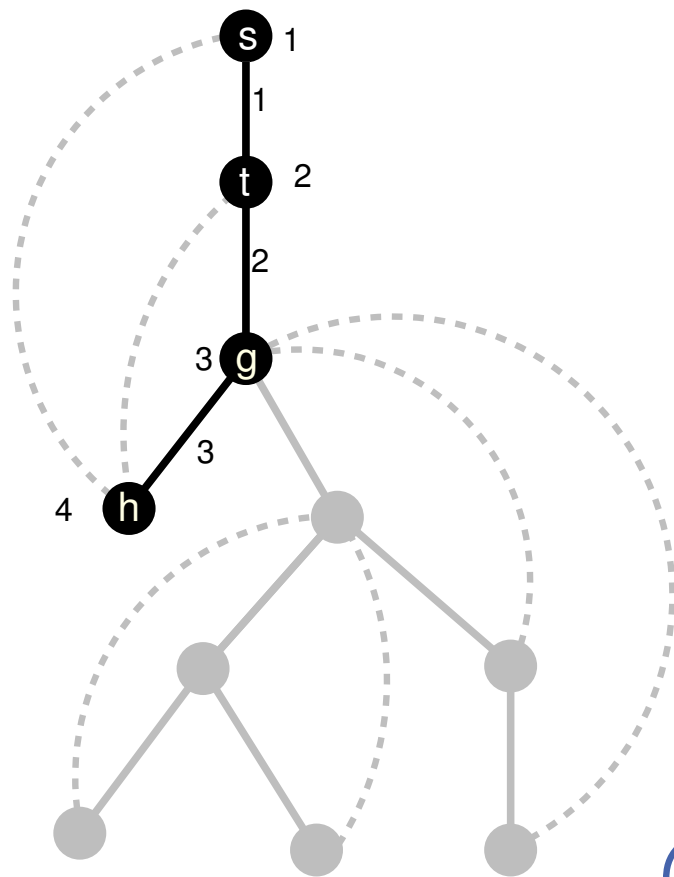
$$\frac{t \rightarrow g (2)}{s \rightarrow t (1)}$$

Stack C

nicht klassifizierte Kanten

Repräsentanten-Kandidaten

Berechnung von Blöcken



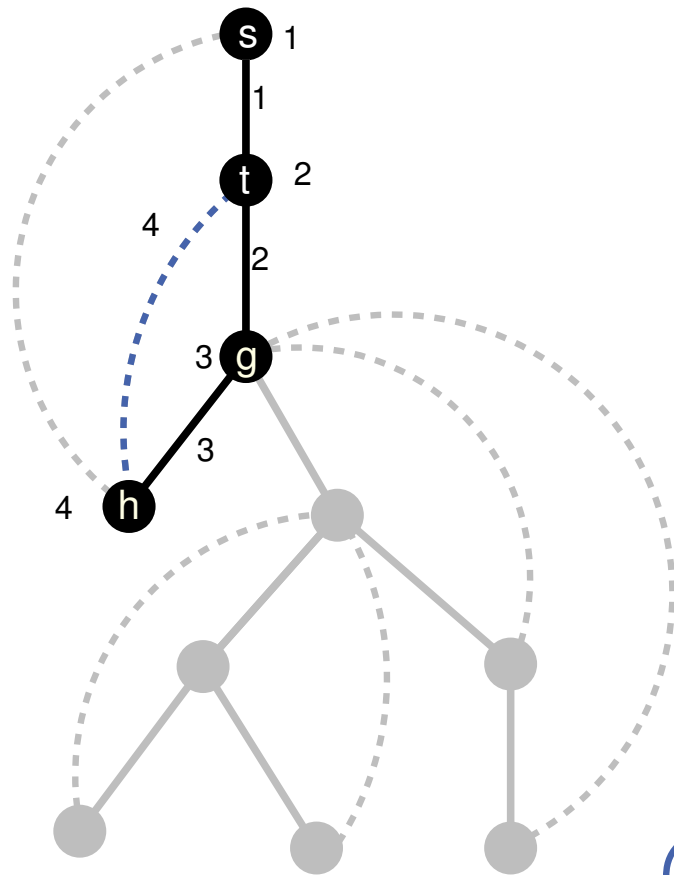
$$\frac{g \rightarrow h \\ t \rightarrow g \\ s \rightarrow t}{\text{Stack } S}$$

$$\frac{g \rightarrow h (3) \\ t \rightarrow g (2) \\ s \rightarrow t (1)}{\text{Stack } C}$$

nicht klassifizierte Kanten

Repräsentanten-Kandidaten

Berechnung von Blöcken



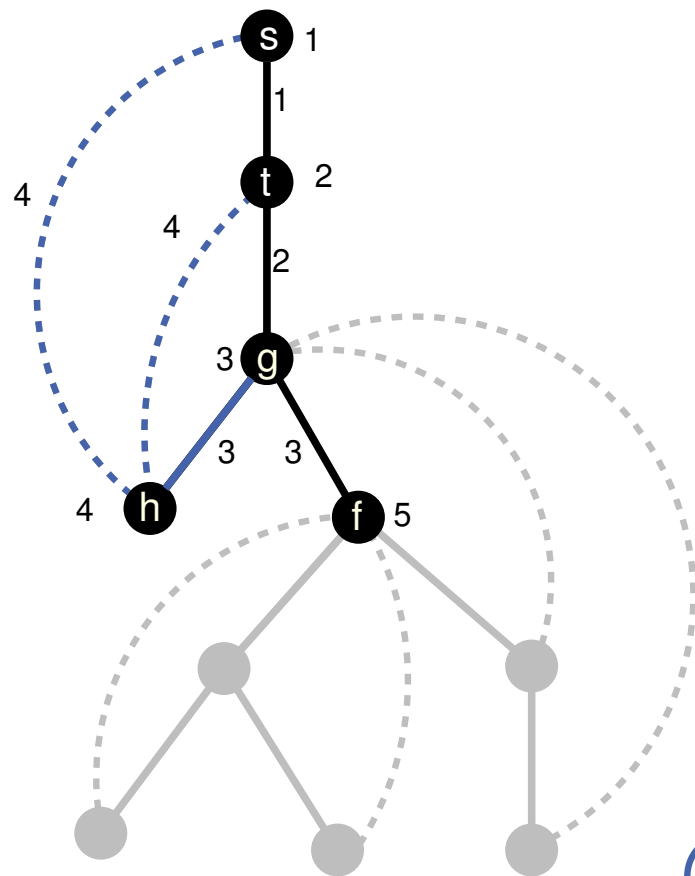
$$\begin{array}{l}
 g \rightarrow h \\
 t \rightarrow g \\
 s \rightarrow t \\
 \hline
 \text{Stack } S
 \end{array}$$

$$\begin{array}{l}
 \del{g \rightarrow h (3)} \\
 t \rightarrow g (2) \\
 s \rightarrow t (1) \\
 \hline
 \text{Stack } C
 \end{array}$$

nicht klassifizierte Kanten

Repräsentanten-Kandidaten

Berechnung von Blöcken



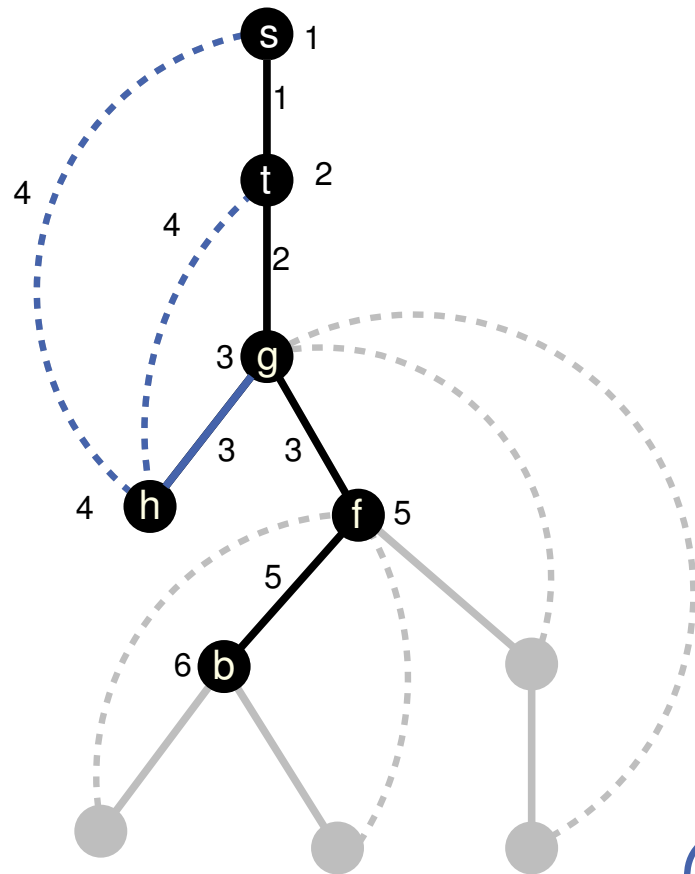
$$\begin{array}{l}
 g \rightarrow f \\
 g \rightarrow h \\
 t \rightarrow g \\
 s \rightarrow t \\
 \hline
 \text{Stack } S
 \end{array}$$

$$\begin{array}{l}
 g \rightarrow f (3) \\
 \del{g \rightarrow h (3)} \\
 \del{t \rightarrow g (2)} \\
 s \rightarrow t (1) \\
 \hline
 \text{Stack } C
 \end{array}$$

nicht klassifizierte Kanten

Repräsentanten-Kandidaten

Berechnung von Blöcken



$f \rightarrow b$
 $g \rightarrow f$
 $g \rightarrow h$
 $t \rightarrow g$
 $s \rightarrow t$

 Stack S

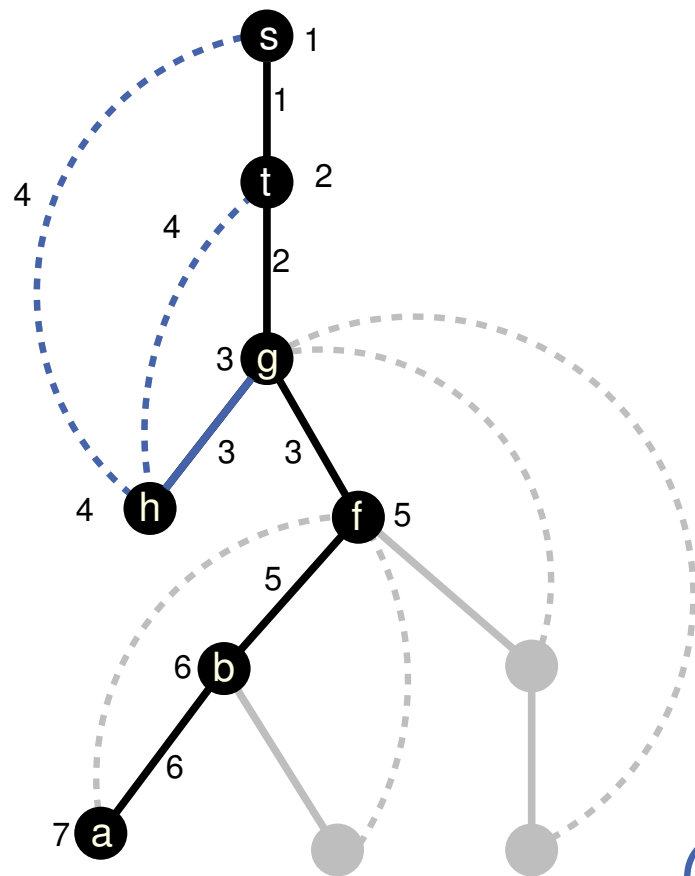
$f \rightarrow b$ (5)
 $g \rightarrow f$ (3)
 ~~$g \rightarrow h$ (3)~~
 ~~$t \rightarrow g$ (2)~~
 $s \rightarrow t$ (1)

 Stack C

nicht klassifizierte Kanten

Repräsentanten-Kandidaten

Berechnung von Blöcken



$b \rightarrow a$
 $f \rightarrow b$
 $g \rightarrow f$
 $g \rightarrow h$
 $t \rightarrow g$
 $s \rightarrow t$

Stack S

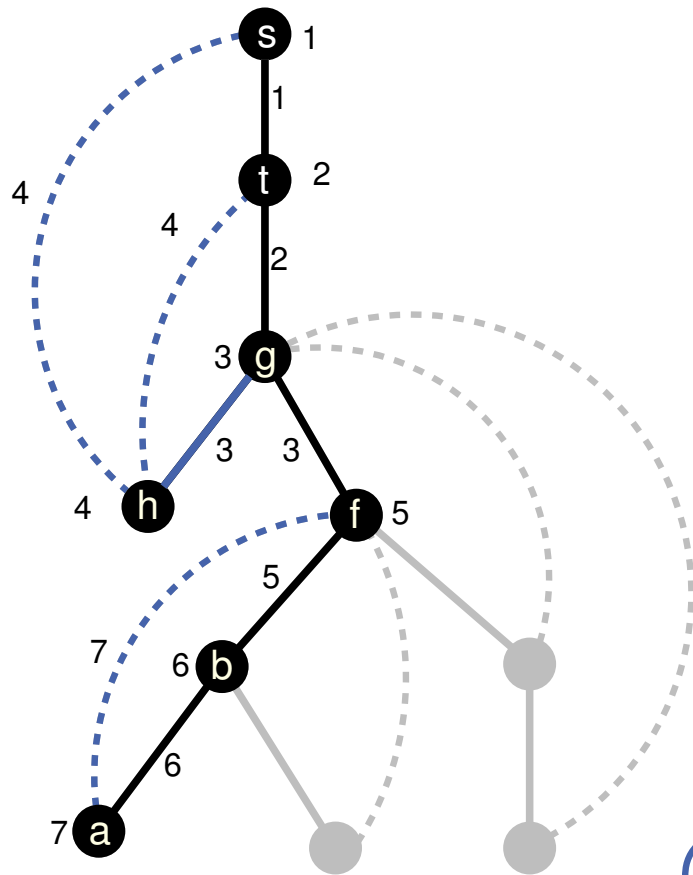
$b \rightarrow a$ (6)
 $f \rightarrow b$ (5)
 $g \rightarrow f$ (3)
 ~~$g \rightarrow h$ (3)~~
 ~~$t \rightarrow g$ (2)~~
 $s \rightarrow t$ (1)

Stack C

nicht klassifizierte Kanten

Repräsentanten-Kandidaten

Berechnung von Blöcken



$b \rightarrow a$
 $f \rightarrow b$
 $g \rightarrow f$
 $g \rightarrow h$
 $t \rightarrow g$
 $s \rightarrow t$

Stack S

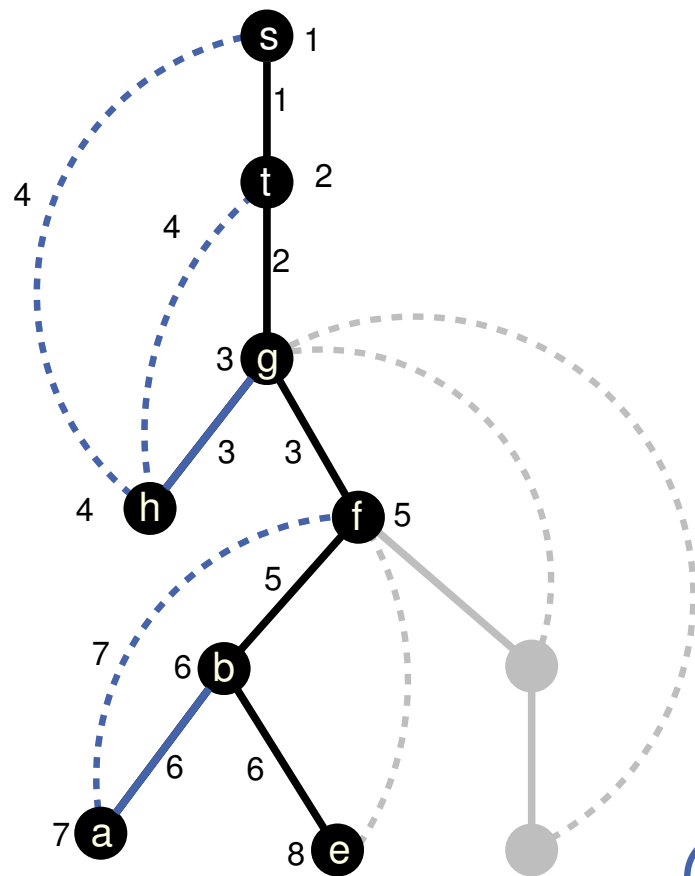
~~$h \rightarrow a$ (6)~~
 $f \rightarrow b$ (5)
 $g \rightarrow f$ (3)
 ~~$g \rightarrow h$ (3)~~
 ~~$t \rightarrow g$ (2)~~
 $s \rightarrow t$ (1)

Stack C

nicht klassifizierte Kanten

Repräsentanten-Kandidaten

Berechnung von Blöcken



$b \rightarrow e$
 $b \rightarrow a$
 $f \rightarrow b$
 $g \rightarrow f$
 $g \rightarrow h$
 $t \rightarrow g$
 $s \rightarrow t$

Stack S

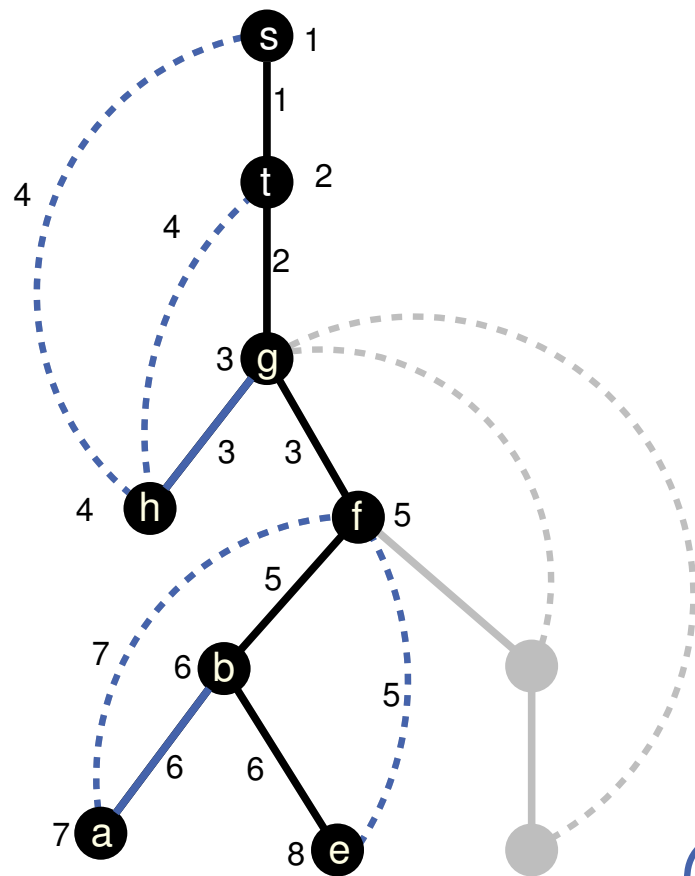
$b \rightarrow e$ (6)
 ~~$b \rightarrow a$ (6)~~
 $f \rightarrow b$ (5)
 $g \rightarrow f$ (3)
 ~~$g \rightarrow h$ (3)~~
 ~~$t \rightarrow g$ (2)~~
 $s \rightarrow t$ (1)

Stack C

nicht klassifizierte Kanten

Repräsentanten-Kandidaten

Berechnung von Blöcken



$b \rightarrow e$
 $b \rightarrow a$
 $f \rightarrow b$
 $g \rightarrow f$
 $g \rightarrow h$
 $t \rightarrow g$
 $s \rightarrow t$

Stack S

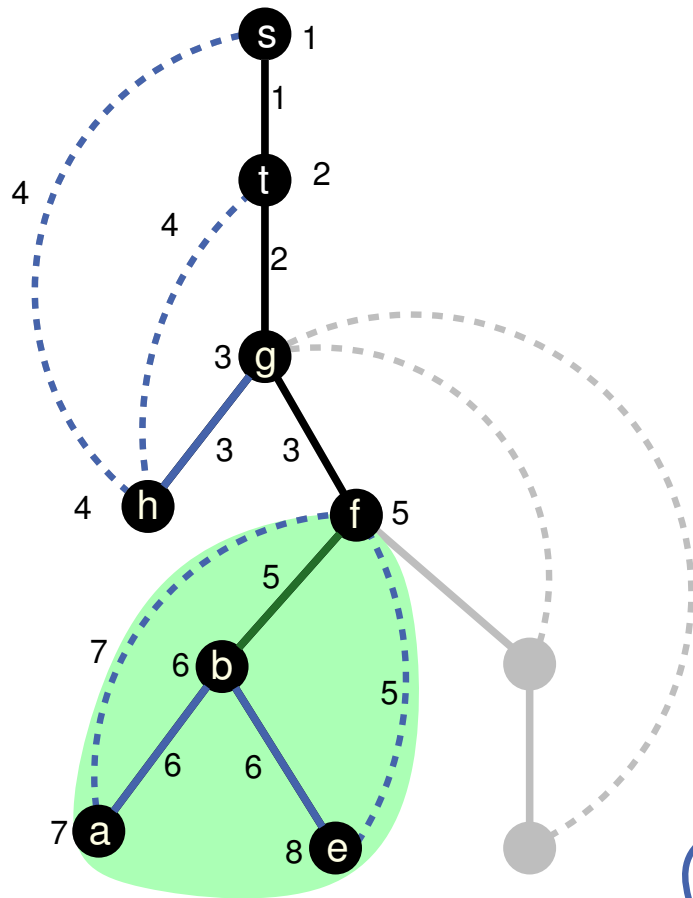
~~$h \rightarrow e$ (6)~~
 ~~$h \rightarrow a$ (6)~~
 $f \rightarrow b$ (5)
 $g \rightarrow f$ (3)
 ~~$g \rightarrow h$ (3)~~
 ~~$t \rightarrow g$ (2)~~
 $s \rightarrow t$ (1)

Stack C

nicht klassifizierte Kanten

Repräsentanten-Kandidaten

Berechnung von Blöcken



~~$b \rightarrow e$~~
 ~~$b \rightarrow a$~~
 ~~$f \rightarrow b$~~
 $g \rightarrow f$
 $g \rightarrow h$
 $t \rightarrow g$
 $s \rightarrow t$

Stack S

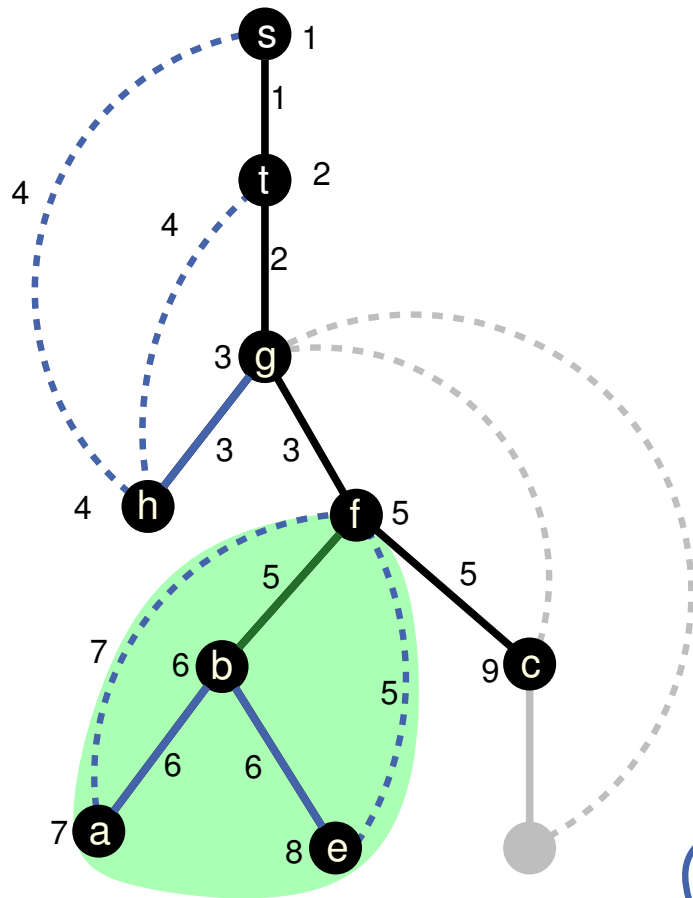
~~$b \rightarrow e$ (6)~~
 ~~$b \rightarrow a$ (6)~~
 ~~$f \rightarrow b$ (5)~~
 $g \rightarrow f$ (3)
 ~~$g \rightarrow h$ (3)~~
 ~~$t \rightarrow g$ (2)~~
 $s \rightarrow t$ (1)

Stack C

nicht klassifizierte Kanten

Repräsentanten-Kandidaten

Berechnung von Blöcken



$f \rightarrow c$
 ~~$b \rightarrow e$~~
 ~~$b \rightarrow a$~~
 ~~$f \rightarrow b$~~
 $g \rightarrow f$
 $g \rightarrow h$
 $t \rightarrow g$
 $s \rightarrow t$

Stack S

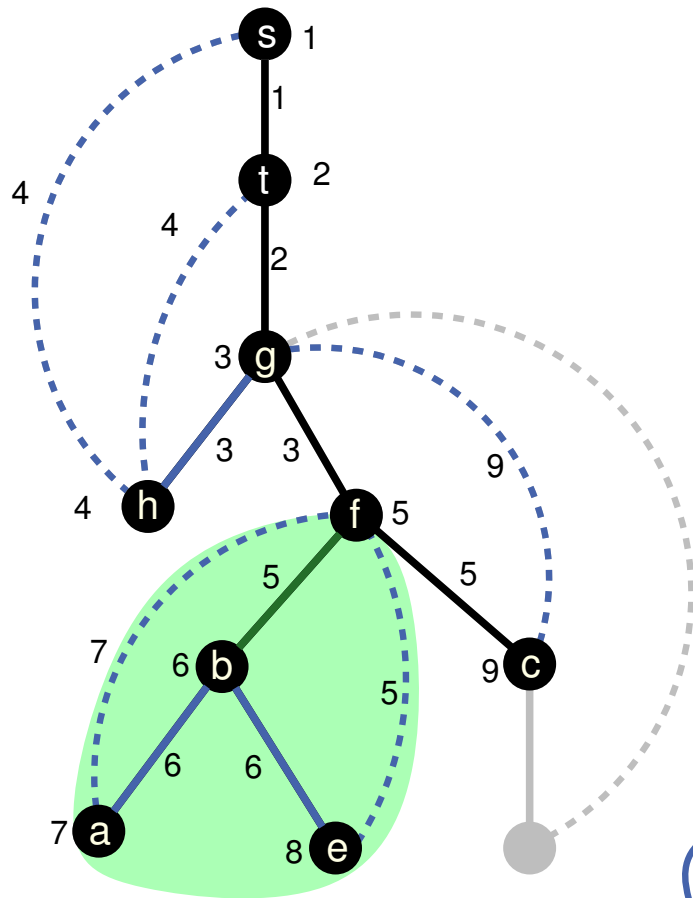
$f \rightarrow c$ (5)
 ~~$b \rightarrow e$ (6)~~
 ~~$b \rightarrow a$ (6)~~
 ~~$f \rightarrow b$ (5)~~
 $g \rightarrow f$ (3)
 ~~$g \rightarrow h$ (3)~~
 ~~$t \rightarrow g$ (2)~~
 $s \rightarrow t$ (1)

Stack C

nicht klassifizierte Kanten

Repräsentanten-Kandidaten

Berechnung von Blöcken



~~$f \rightarrow c$~~
 ~~$b \rightarrow e$~~
 ~~$b \rightarrow a$~~
 ~~$f \rightarrow b$~~
 $g \rightarrow f$
 $g \rightarrow h$
 $t \rightarrow g$
 $s \rightarrow t$

Stack S

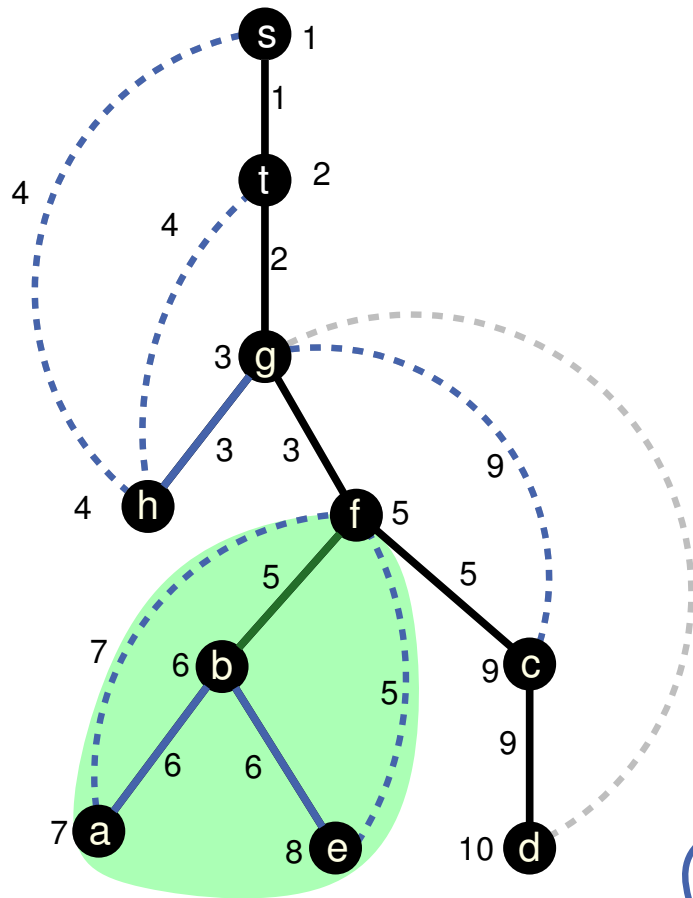
~~$f \rightarrow e$ (5)~~
 ~~$b \rightarrow e$ (6)~~
 ~~$b \rightarrow a$ (6)~~
 ~~$f \rightarrow b$ (5)~~
 $g \rightarrow f$ (3)
 ~~$g \rightarrow h$ (3)~~
 ~~$t \rightarrow g$ (2)~~
 $s \rightarrow t$ (1)

Stack C

nicht klassifizierte Kanten

Repräsentanten-Kandidaten

Berechnung von Blöcken



$c \rightarrow d$
 $f \rightarrow c$
 ~~$b \rightarrow e$~~
 ~~$b \rightarrow a$~~
 ~~$f \rightarrow b$~~
 $g \rightarrow f$
 $g \rightarrow h$
 $t \rightarrow g$
 $s \rightarrow t$

Stack S

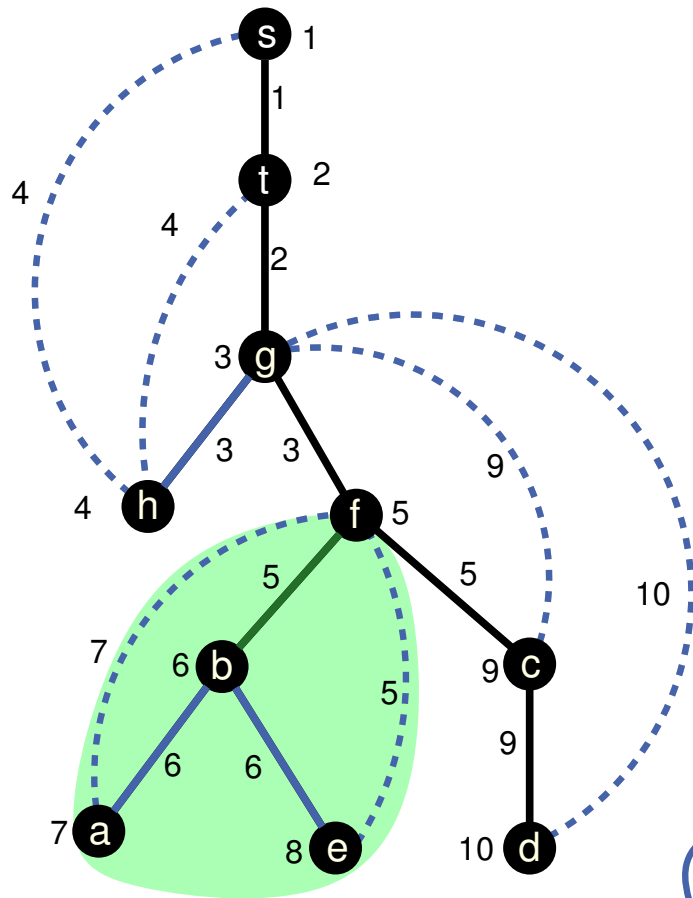
$c \rightarrow d$ (9)
 ~~$f \rightarrow c$ (5)~~
 ~~$b \rightarrow e$ (6)~~
 ~~$b \rightarrow a$ (6)~~
 ~~$f \rightarrow b$ (5)~~
 $g \rightarrow f$ (3)
 ~~$g \rightarrow h$ (3)~~
 ~~$t \rightarrow g$ (2)~~
 $s \rightarrow t$ (1)

Stack C

nicht klassifizierte Kanten

Repräsentanten-Kandidaten

Berechnung von Blöcken



~~$c \rightarrow d$~~
 ~~$f \rightarrow c$~~
 ~~$b \rightarrow e$~~
 ~~$b \rightarrow a$~~
 ~~$f \rightarrow b$~~
 $g \rightarrow f$
 $g \rightarrow h$
 $t \rightarrow g$
 $s \rightarrow t$

Stack S

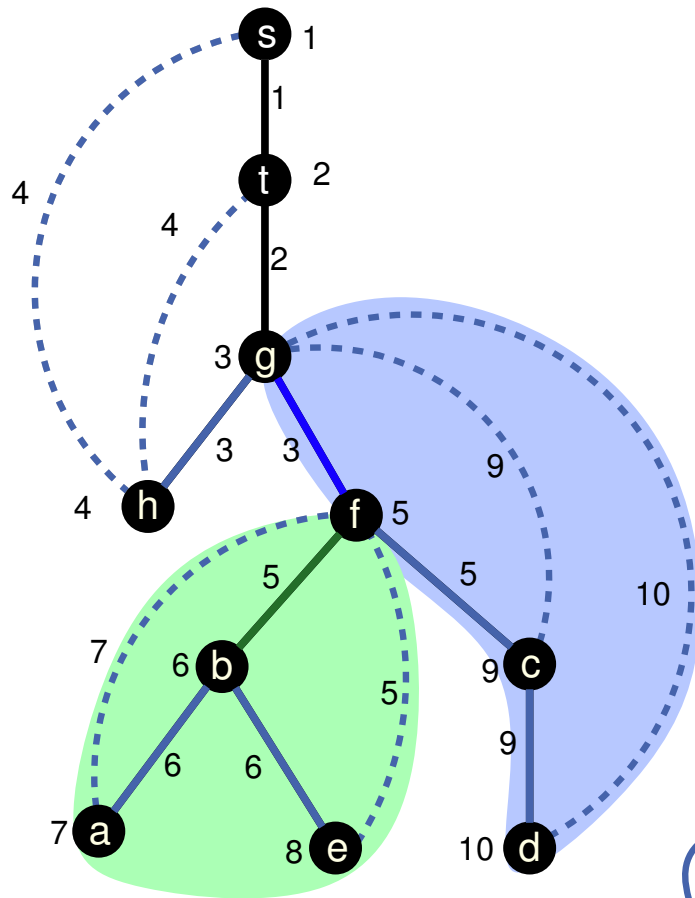
~~$c \rightarrow d$ (9)~~
 ~~$f \rightarrow c$ (5)~~
 ~~$b \rightarrow e$ (6)~~
 ~~$b \rightarrow a$ (6)~~
 ~~$f \rightarrow b$ (5)~~
 $g \rightarrow f$ (3)
 ~~$g \rightarrow h$ (3)~~
 ~~$t \rightarrow g$ (2)~~
 $s \rightarrow t$ (1)

Stack C

nicht klassifizierte Kanten

Repräsentanten-Kandidaten

Berechnung von Blöcken



~~$c \rightarrow d$~~
 ~~$f \rightarrow e$~~
 ~~$b \rightarrow e$~~
 ~~$b \rightarrow a$~~
 ~~$f \rightarrow b$~~
 ~~$g \rightarrow f$~~
 $g \rightarrow h$
 $t \rightarrow g$
 $s \rightarrow t$

Stack S

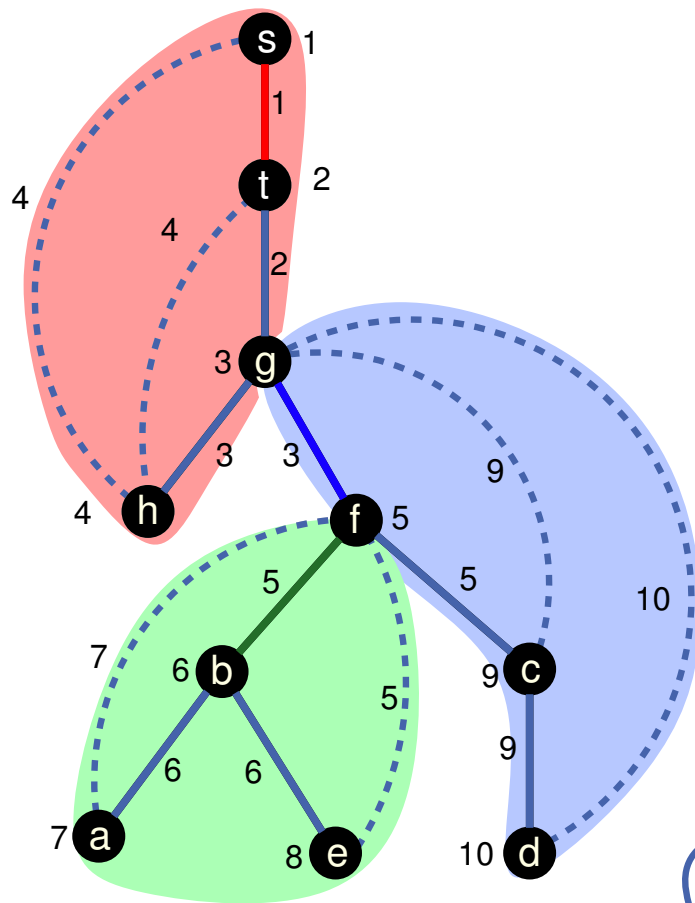
~~$c \rightarrow d$ (9)~~
 ~~$f \rightarrow e$ (5)~~
 ~~$b \rightarrow e$ (6)~~
 ~~$b \rightarrow a$ (6)~~
 ~~$f \rightarrow b$ (5)~~
 ~~$g \rightarrow f$ (3)~~
 ~~$g \rightarrow h$ (3)~~
 ~~$t \rightarrow g$ (2)~~
 $s \rightarrow t$ (1)

Stack C

nicht klassifizierte Kanten

Repräsentanten-Kandidaten

Berechnung von Blöcken



~~$c \rightarrow d$~~
 ~~$f \rightarrow e$~~
 ~~$b \rightarrow e$~~
 ~~$b \rightarrow a$~~
 ~~$f \rightarrow b$~~
 ~~$g \rightarrow f$~~
 ~~$g \rightarrow h$~~
 ~~$t \rightarrow g$~~
 ~~$s \rightarrow t$~~

Stack S

~~$c \rightarrow d$ (9)~~
 ~~$f \rightarrow e$ (5)~~
 ~~$b \rightarrow e$ (6)~~
 ~~$b \rightarrow a$ (6)~~
 ~~$f \rightarrow b$ (5)~~
 ~~$g \rightarrow f$ (3)~~
 ~~$g \rightarrow h$ (3)~~
 ~~$t \rightarrow g$ (2)~~
 ~~$s \rightarrow t$ (1)~~

Stack C

nicht klassifizierte Kanten

Repräsentanten-Kandidaten

Definition

Sei $G = (V, E)$ ein zweifach zusammenhängender Graph und $s \neq t \in V$. Eine Ordnung $s = v_1, v_2, \dots, v_n = t$ der Knoten von G heißt **s - t -Ordnung**, falls für alle Knoten v_j , $1 < j < n$, gilt:

$$\text{es ex. } 1 \leq i < j < k \leq n \quad \text{mit} \quad \{v_i, v_j\}, \{v_j, v_k\} \in E .$$

Definition

Sei $G = (V, E)$ ein zweifach zusammenhängender Graph und $s \neq t \in V$. Eine Ordnung $s = v_1, v_2, \dots, v_n = t$ der Knoten von G heißt **s - t -Ordnung**, falls für alle Knoten v_j , $1 < j < n$, gilt:

$$\text{es ex. } 1 \leq i < j < k \leq n \quad \text{mit} \quad \{v_i, v_j\}, \{v_j, v_k\} \in E .$$

Satz [Lempel, Even, Cederbaum, 1967]

Ist $G = (V, E)$ ein zweifach zusammenhängender Graph, dann existiert zu jeder Kante $(s, t) \in E$ eine s - t -Ordnung.

st-Orientierung

Sei $G = (V, E)$ ein Graph. Eine **st-Orientierung (bipolar orientation)** von G ist eine **Orientierung der Kanten**, so dass der resultierende Graph azyklisch ist und s die einzige Quelle sowie t die einzige Senke sind.

st-Orientierung

Sei $G = (V, E)$ ein Graph. Eine **st-Orientierung (bipolar orientation)** von G ist eine **Orientierung der Kanten**, so dass der resultierende Graph azyklisch ist und s die einzige Quelle sowie t die einzige Senke sind.

Satz

G hat eine st-Ordnung genau dann, wenn er eine st-Orientierung hat.

Berechnung einer st-Orientierung aus Ohrenzerlegung

Definition

Sei $G = (V, E)$ ein 2-fach zusammenhängender Graph. Ein **Ohr** von G ist ein einfacher Pfad oder Kreis $O = (v_0, \{v_0, v_1\}, v_1, \dots, v_{k-1}, \{v_{k-1}, v_k\}, v_k)$. Ein Ohr heißt **offen**, falls $v_0 \neq v_k$ ist, d.h. falls O ein einfacher Pfad ist.

Definition

Sei $G = (V, E)$ ein 2-fach zusammenhängender Graph. Ein **Ohr** von G ist ein einfacher Pfad oder Kreis $O = (v_0, \{v_0, v_1\}, v_1, \dots, v_{k-1}, \{v_{k-1}, v_k\}, v_k)$. Ein Ohr heißt **offen**, falls $v_0 \neq v_k$ ist, d.h. falls O ein einfacher Pfad ist.

Eine Folge $D = (P_0, \dots, P_r)$ von (offenen) Pfaden heißt **(offene) Ohrendekomposition**, falls $E(P_0), \dots, E(P_r)$ eine Partition von E ist und für alle $P_i = (v_0, e_1, v_1, \dots, e_k, v_k)$, $1 \leq i \leq r$, gilt $\{v_0, v_k\} \subseteq V_{i-1}$ und $\{v_1, \dots, v_{k-1}\} \cap V_{i-1} = \emptyset$.

Definition

Sei $G = (V, E)$ ein 2-fach zusammenhängender Graph. Ein **Ohr** von G ist ein einfacher Pfad oder Kreis $O = (v_0, \{v_0, v_1\}, v_1, \dots, v_{k-1}, \{v_{k-1}, v_k\}, v_k)$. Ein Ohr heißt **offen**, falls $v_0 \neq v_k$ ist, d.h. falls O ein einfacher Pfad ist.

Eine Folge $D = (P_0, \dots, P_r)$ von (offenen) Pfaden heißt **(offene) Ohrendekomposition**, falls $E(P_0), \dots, E(P_r)$ eine Partition von E ist und für alle $P_i = (v_0, e_1, v_1, \dots, e_k, v_k)$, $1 \leq i \leq r$, gilt $\{v_0, v_k\} \subseteq V_{i-1}$ und $\{v_1, \dots, v_{k-1}\} \cap V_{i-1} = \emptyset$.

Eine Ohrendekomposition **beginnt** mit $\{s, t\} \in E$, falls $P_0 = (s, \{s, t\}, t)$.

Definition

Sei $G = (V, E)$ ein 2-fach zusammenhängender Graph. Ein **Ohr** von G ist ein einfacher Pfad oder Kreis $O = (v_0, \{v_0, v_1\}, v_1, \dots, v_{k-1}, \{v_{k-1}, v_k\}, v_k)$. Ein Ohr heißt **offen**, falls $v_0 \neq v_k$ ist, d.h. falls O ein einfacher Pfad ist.

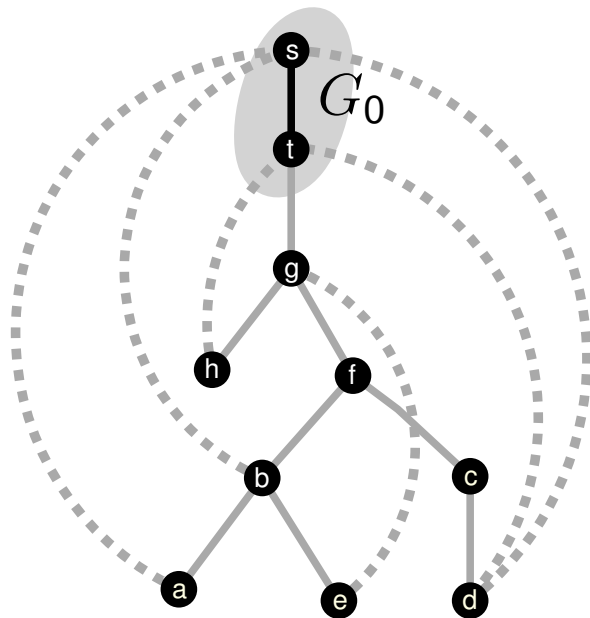
Eine Folge $D = (P_0, \dots, P_r)$ von (offenen) Pfaden heißt **(offene) Ohrendekomposition**, falls $E(P_0), \dots, E(P_r)$ eine Partition von E ist und für alle $P_i = (v_0, e_1, v_1, \dots, e_k, v_k)$, $1 \leq i \leq r$, gilt $\{v_0, v_k\} \subseteq V_{i-1}$ und $\{v_1, \dots, v_{k-1}\} \cap V_{i-1} = \emptyset$.

Eine Ohrendekomposition **beginnt** mit $\{s, t\} \in E$, falls $P_0 = (s, \{s, t\}, t)$.

Eine Ohrendekomposition induziert Graphen $G_i = (V_i, E_i)$ mit $V_i = \bigcup_{j=0}^i V(P_j)$ und $E_i = \bigcup_{j=0}^i E(P_j)$, $0 \leq i \leq r$.

Satz [Whitney '32]

Ist G ein zweifach zusammenhängender Graph, dann existiert für jede Kante $\{s, t\} \in E$ eine offene Ohrendekomposition, die mit $\{s, t\}$ beginnt.

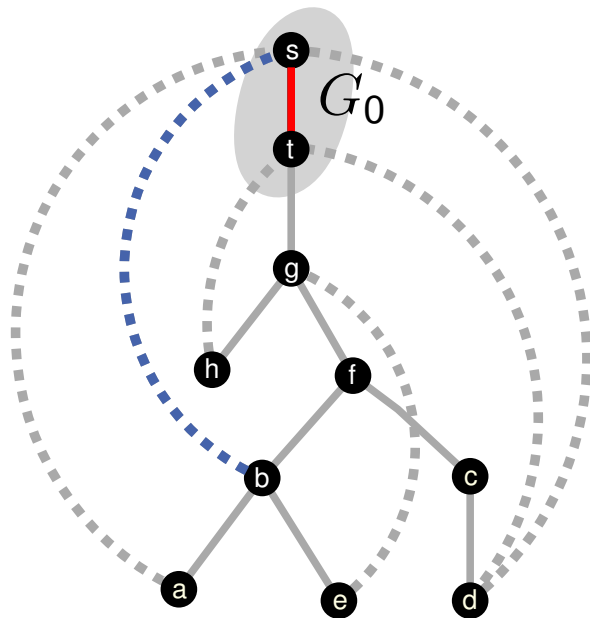


Iteratives Vorgehen [Brandes '02]

- $P_0 = (s\{s, t\}, t)$
 - solange $\exists w \rightarrow x \in E_i, v \hookrightarrow w \notin E_i$
mit $x \xrightarrow{*} v$ und $w, x \in V_i$
 - u letzter Knoten in V_i auf $x \xrightarrow{*} v$
- $\Rightarrow P_{i+1} = u \xrightarrow{*} v \hookrightarrow w$ (Ohr zu $v \hookrightarrow w$)

Satz [Whitney '32]

Ist G ein zweifach zusammenhängender Graph, dann existiert für jede Kante $\{s, t\} \in E$ eine offene Ohrendekomposition, die mit $\{s, t\}$ beginnt.

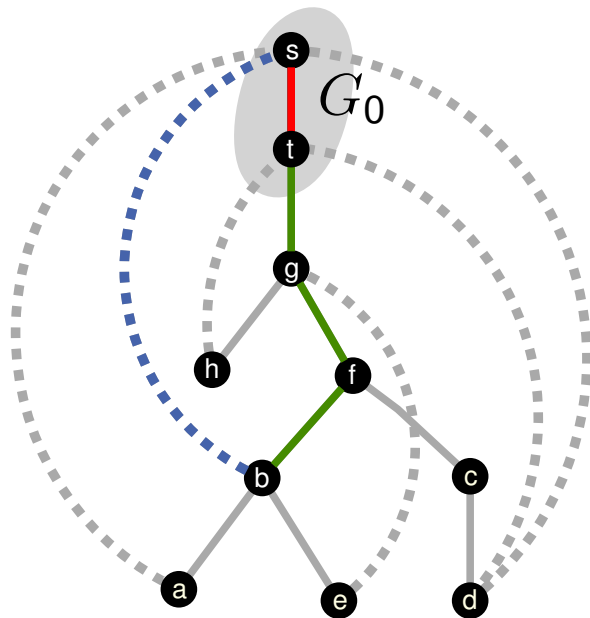


Iteratives Vorgehen [Brandes '02]

- $P_0 = (s\{s, t\}, t)$
 - solange $\exists w \rightarrow x \in E_i, v \hookrightarrow w \notin E_i$
mit $x \xrightarrow{*} v$ und $w, x \in V_i$
 - u letzter Knoten in V_i auf $x \xrightarrow{*} v$
- $\Rightarrow P_{i+1} = u \xrightarrow{*} v \hookrightarrow w$ (Ohr zu $v \hookrightarrow w$)

Satz [Whitney '32]

Ist G ein zweifach zusammenhängender Graph, dann existiert für jede Kante $\{s, t\} \in E$ eine offene Ohrendekomposition, die mit $\{s, t\}$ beginnt.

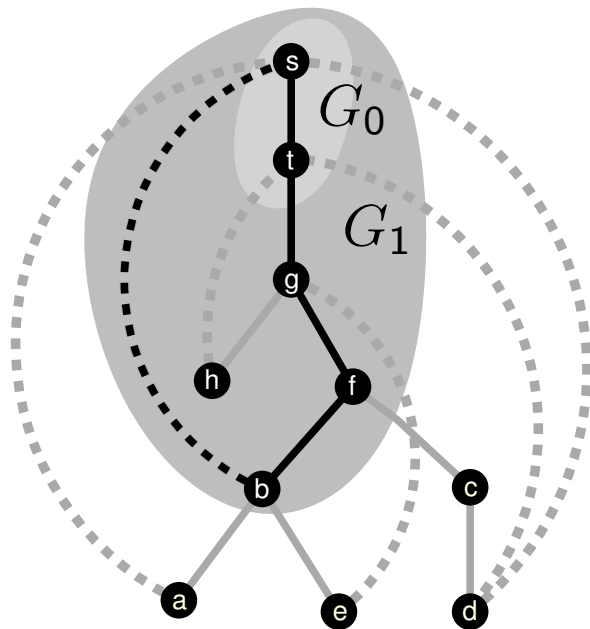


Iteratives Vorgehen [Brandes '02]

- $P_0 = (s\{s, t\}, t)$
 - solange $\exists w \rightarrow x \in E_i, v \hookrightarrow w \notin E_i$
mit $x \xrightarrow{*} v$ und $w, x \in V_i$
 - u letzter Knoten in V_i auf $x \xrightarrow{*} v$
- $\Rightarrow P_{i+1} = u \xrightarrow{*} v \hookrightarrow w$ (Ohr zu $v \hookrightarrow w$)

Satz [Whitney '32]

Ist G ein zweifach zusammenhängender Graph, dann existiert für jede Kante $\{s, t\} \in E$ eine offene Ohrendekomposition, die mit $\{s, t\}$ beginnt.

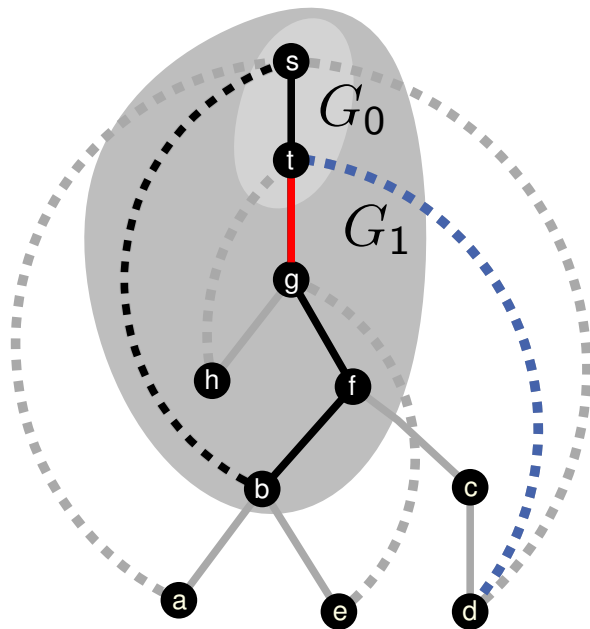


Iteratives Vorgehen [Brandes '02]

- $P_0 = (s\{s, t\}, t)$
 - solange $\exists w \rightarrow x \in E_i, v \hookrightarrow w \notin E_i$
mit $x \xrightarrow{*} v$ und $w, x \in V_i$
 - u letzter Knoten in V_i auf $x \xrightarrow{*} v$
- $\Rightarrow P_{i+1} = u \xrightarrow{*} v \hookrightarrow w$ (Ohr zu $v \hookrightarrow w$)

Satz [Whitney '32]

Ist G ein zweifach zusammenhängender Graph, dann existiert für jede Kante $\{s, t\} \in E$ eine offene Ohrendekomposition, die mit $\{s, t\}$ beginnt.

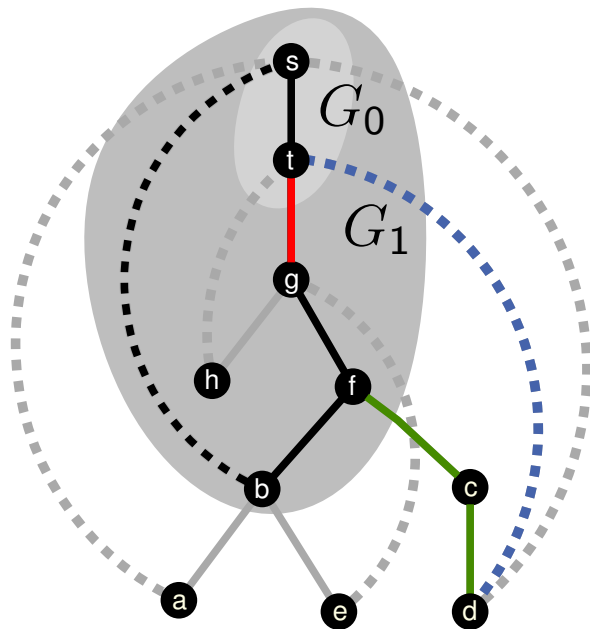


Iteratives Vorgehen [Brandes '02]

- $P_0 = (s\{s, t\}, t)$
 - solange $\exists w \rightarrow x \in E_i, v \hookrightarrow w \notin E_i$
mit $x \xrightarrow{*} v$ und $w, x \in V_i$
 - u letzter Knoten in V_i auf $x \xrightarrow{*} v$
- $\Rightarrow P_{i+1} = u \xrightarrow{*} v \hookrightarrow w$ (Ohr zu $v \hookrightarrow w$)

Satz [Whitney '32]

Ist G ein zweifach zusammenhängender Graph, dann existiert für jede Kante $\{s, t\} \in E$ eine offene Ohrendekomposition, die mit $\{s, t\}$ beginnt.

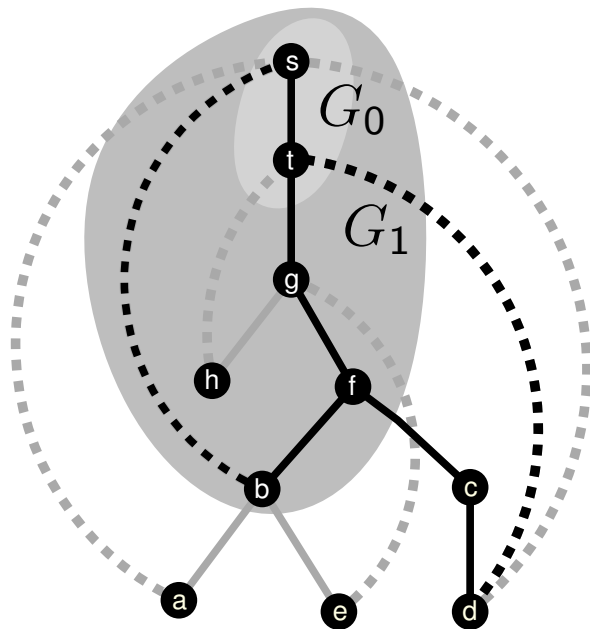


Iteratives Vorgehen [Brandes '02]

- $P_0 = (s\{s, t\}, t)$
 - solange $\exists w \rightarrow x \in E_i, v \hookrightarrow w \notin E_i$
mit $x \xrightarrow{*} v$ und $w, x \in V_i$
 - u letzter Knoten in V_i auf $x \xrightarrow{*} v$
- $\Rightarrow P_{i+1} = u \xrightarrow{*} v \hookrightarrow w$ (Ohr zu $v \hookrightarrow w$)

Satz [Whitney '32]

Ist G ein zweifach zusammenhängender Graph, dann existiert für jede Kante $\{s, t\} \in E$ eine offene Ohrendekomposition, die mit $\{s, t\}$ beginnt.

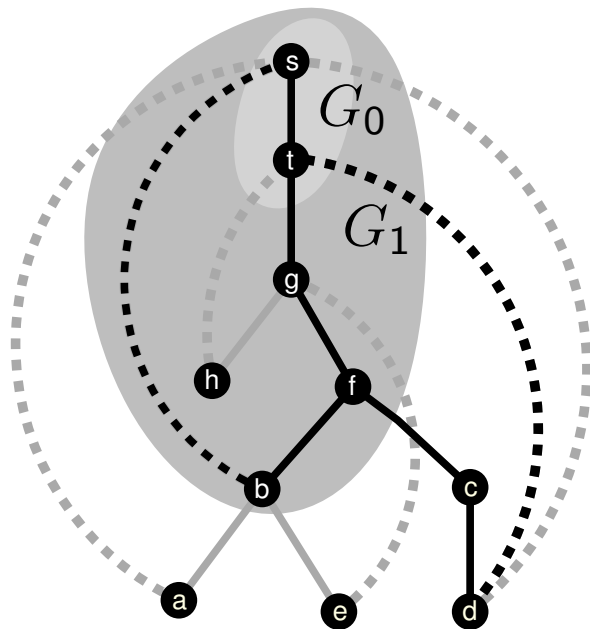


Iteratives Vorgehen [Brandes '02]

- $P_0 = (s\{s, t\}, t)$
 - solange $\exists w \rightarrow x \in E_i, v \hookrightarrow w \notin E_i$
mit $x \xrightarrow{*} v$ und $w, x \in V_i$
 - u letzter Knoten in V_i auf $x \xrightarrow{*} v$
- $\Rightarrow P_{i+1} = u \xrightarrow{*} v \hookrightarrow w$ (Ohr zu $v \hookrightarrow w$)

Satz [Whitney '32]

Ist G ein zweifach zusammenhängender Graph, dann existiert für jede Kante $\{s, t\} \in E$ eine offene Ohrendekomposition, die mit $\{s, t\}$ beginnt.



Iteratives Vorgehen [Brandes '02]

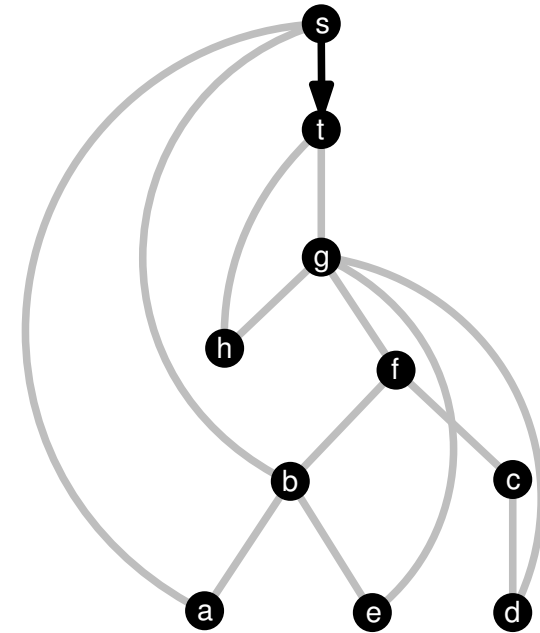
- $P_0 = (s\{s, t\}, t)$
 - solange $\exists w \rightarrow x \in E_i, v \hookrightarrow w \notin E_i$
mit $x \xrightarrow{*} v$ und $w, x \in V_i$
 - u letzter Knoten in V_i auf $x \xrightarrow{*} v$
- $\Rightarrow P_{i+1} = u \xrightarrow{*} v \hookrightarrow w$ (Ohr zu $v \hookrightarrow w$)

Satz

$D(T)$ ist eine offene Ohrendekomposition, die mit $\{s, t\}$ beginnt.

Orientierung der Kanten

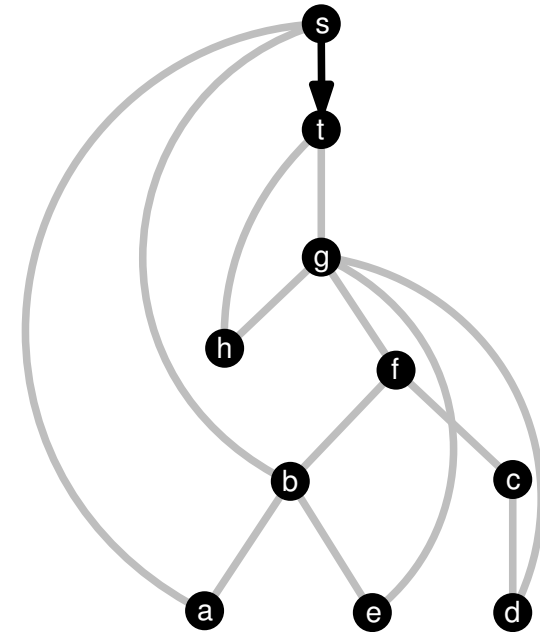
Definition: Rückwärtskante $v \hookrightarrow w$ hängt von Vorwärtskante $w \rightarrow x$ ab, für die $w \xrightarrow{*} v$ gilt.



Orientierung der Kanten

Definition: Rückwärtskante $v \hookrightarrow w$ hängt von Vorwärtskante $w \rightarrow x$ ab, für die $w \xrightarrow{*} v$ gilt.

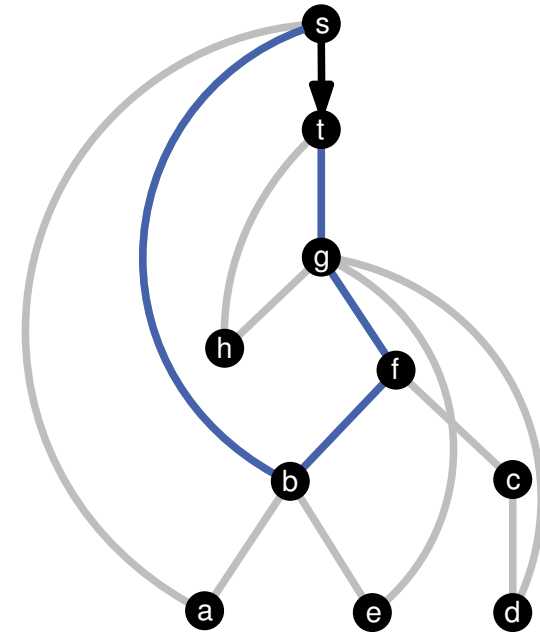
Orientierung der Kanten: Betrachte Sequenz von Ohren P_0, P_1, \dots, P_k in $D(T)$. Orientiere P_0 von s nach t und anschließend iterativ alle weitere Ohren entsprechend der Orientierung ihrer abhängigen Kante.



Orientierung der Kanten

Definition: Rückwärtskante $v \hookrightarrow w$ hängt von Vorwärtskante $w \rightarrow x$ ab, für die $w \xrightarrow{*} v$ gilt.

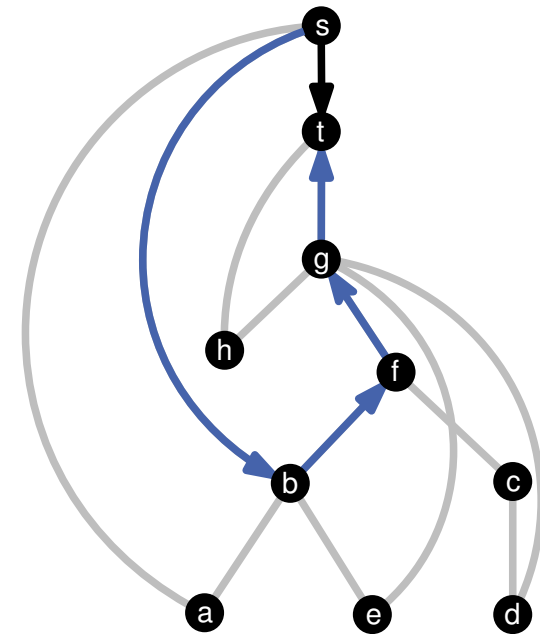
Orientierung der Kanten: Betrachte Sequenz von Ohren P_0, P_1, \dots, P_k in $D(T)$. Orientiere P_0 von s nach t und anschließend iterativ alle weitere Ohren entsprechend der Orientierung ihrer abhängigen Kante.



Orientierung der Kanten

Definition: Rückwärtskante $v \hookrightarrow w$ hängt von Vorwärtskante $w \rightarrow x$ ab, für die $w \xrightarrow{*} v$ gilt.

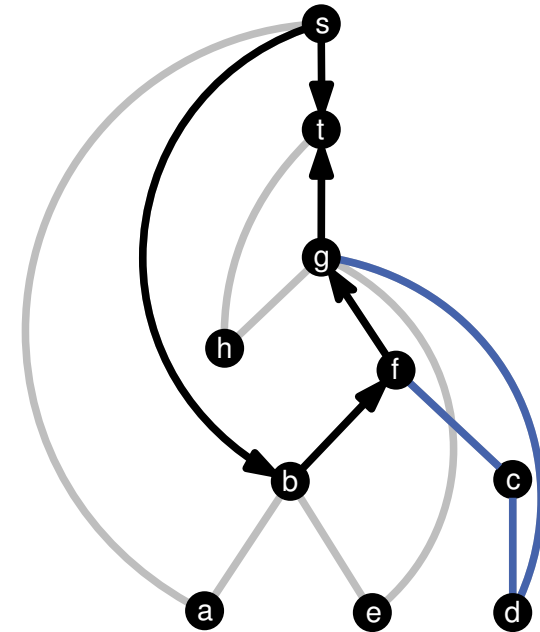
Orientierung der Kanten: Betrachte Sequenz von Ohren P_0, P_1, \dots, P_k in $D(T)$. Orientiere P_0 von s nach t und anschließend iterativ alle weitere Ohren entsprechend der Orientierung ihrer abhängigen Kante.



Orientierung der Kanten

Definition: Rückwärtskante $v \hookrightarrow w$ hängt von Vorwärtskante $w \rightarrow x$ ab, für die $w \xrightarrow{*} v$ gilt.

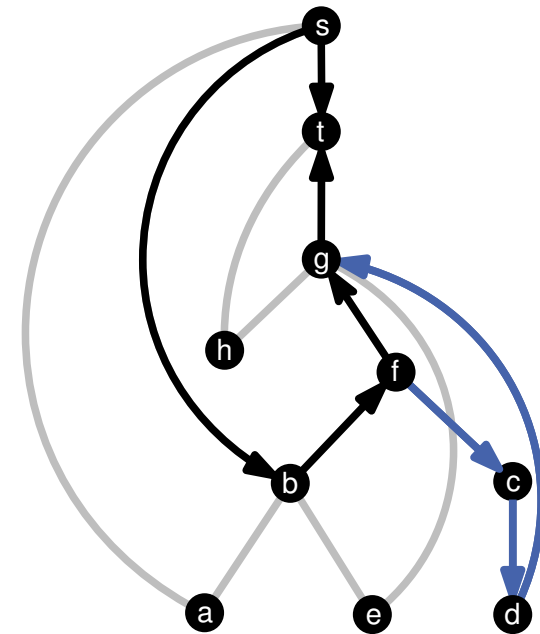
Orientierung der Kanten: Betrachte Sequenz von Ohren P_0, P_1, \dots, P_k in $D(T)$. Orientiere P_0 von s nach t und anschließend iterativ alle weitere Ohren entsprechend der Orientierung ihrer abhängigen Kante.



Orientierung der Kanten

Definition: Rückwärtskante $v \hookrightarrow w$ hängt von Vorwärtskante $w \rightarrow x$ ab, für die $w \xrightarrow{*} v$ gilt.

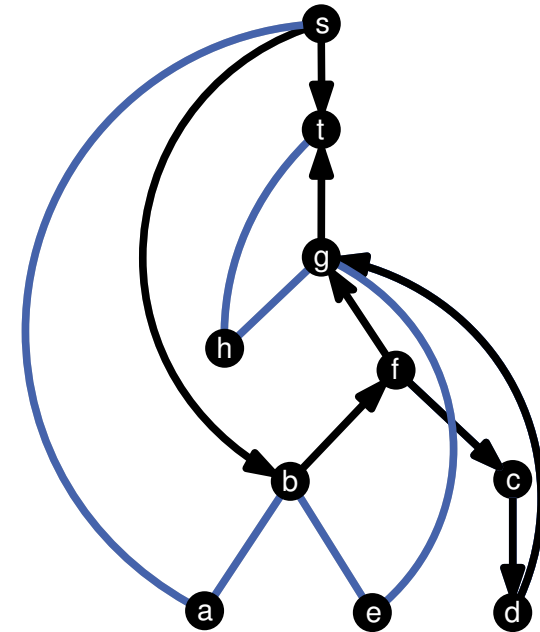
Orientierung der Kanten: Betrachte Sequenz von Ohren P_0, P_1, \dots, P_k in $D(T)$. Orientiere P_0 von s nach t und anschließend iterativ alle weitere Ohren entsprechend der Orientierung ihrer abhängigen Kante.



Orientierung der Kanten

Definition: Rückwärtskante $v \hookrightarrow w$ hängt von Vorwärtskante $w \rightarrow x$ ab, für die $w \xrightarrow{*} v$ gilt.

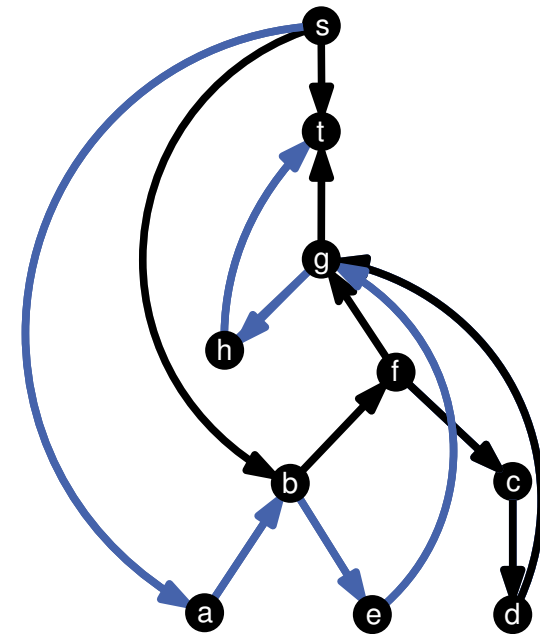
Orientierung der Kanten: Betrachte Sequenz von Ohren P_0, P_1, \dots, P_k in $D(T)$. Orientiere P_0 von s nach t und anschließend iterativ alle weitere Ohren entsprechend der Orientierung ihrer abhängigen Kante.



Orientierung der Kanten

Definition: Rückwärtskante $v \hookrightarrow w$ hängt von Vorwärtskante $w \rightarrow x$ ab, für die $w \xrightarrow{*} v$ gilt.

Orientierung der Kanten: Betrachte Sequenz von Ohren P_0, P_1, \dots, P_k in $D(T)$. Orientiere P_0 von s nach t und anschließend iterativ alle weitere Ohren entsprechend der Orientierung ihrer abhängigen Kante.



Satz

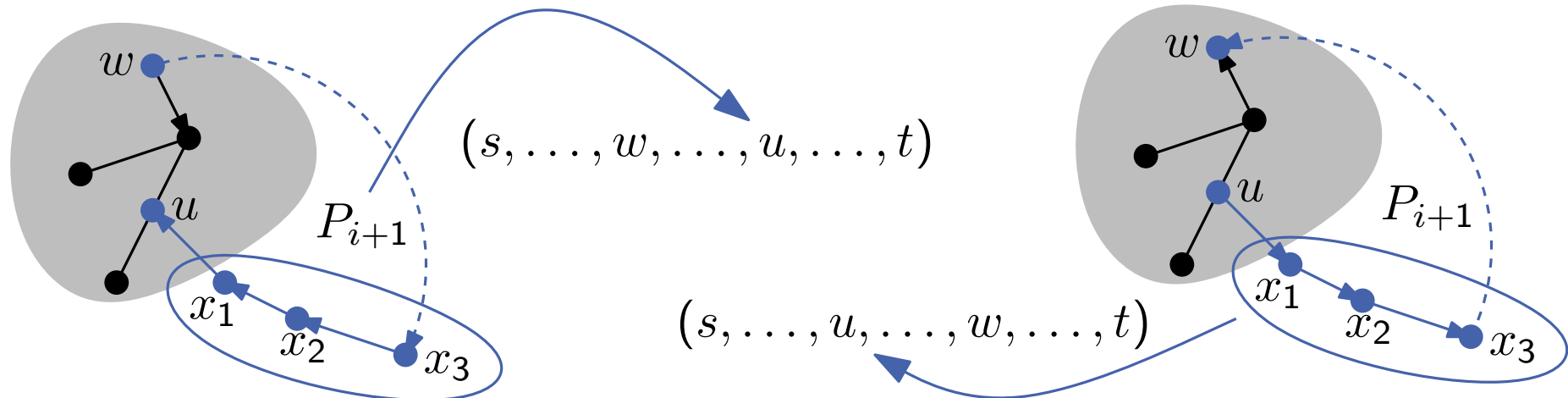
Die Orientierung von P_0, \dots, P_i liefert eine s - t -Orientierung von G_i für alle $0 \leq i \leq r$, und für die partiellen Ordnungen \prec_i gilt:

$$w \rightarrow x \in E_i \text{ und } w \prec_i x \text{ (bzw. } x \prec_i w) \implies w \prec_i v \text{ (bzw. } v \prec_i w)$$

für alle $v \in T(x) \cap V_i$.

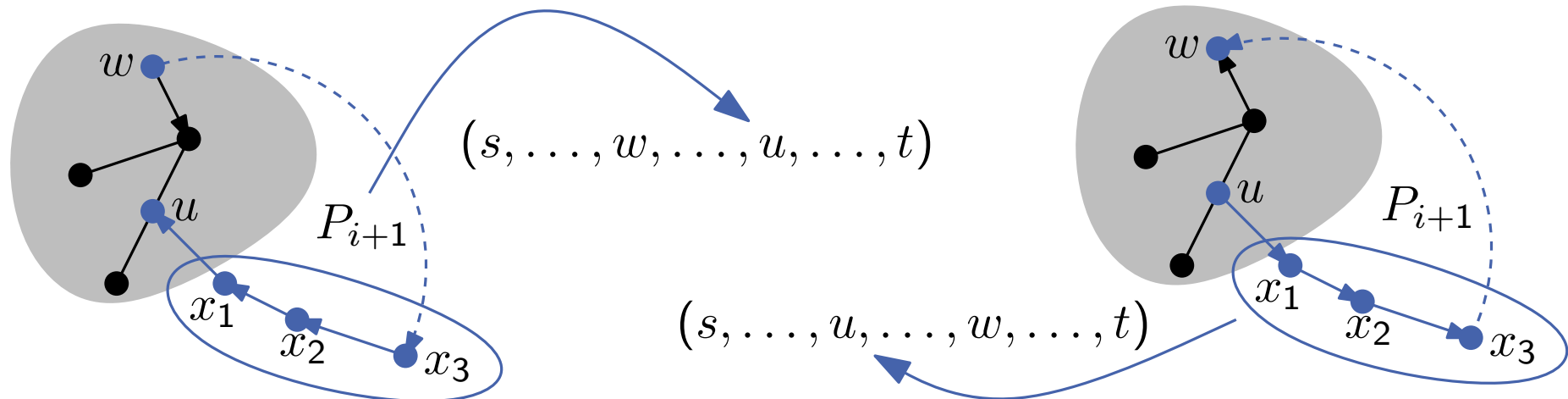
Iterative Berechnung der st-Ordnung

- starte mit Sequenz (s, t)
- betrachte Ohren P_1, \dots, P_r in dieser Ordnung
- sei $P_i = u \xrightarrow{*} v \hookrightarrow w$ das Ohr zu $v \hookrightarrow w$
- falls P_i von w nach u orientiert wird, füge Sequenz $V(P_i)$ unmittelbar vor u ein, sonst hinter u



Iterative Berechnung der st-Ordnung

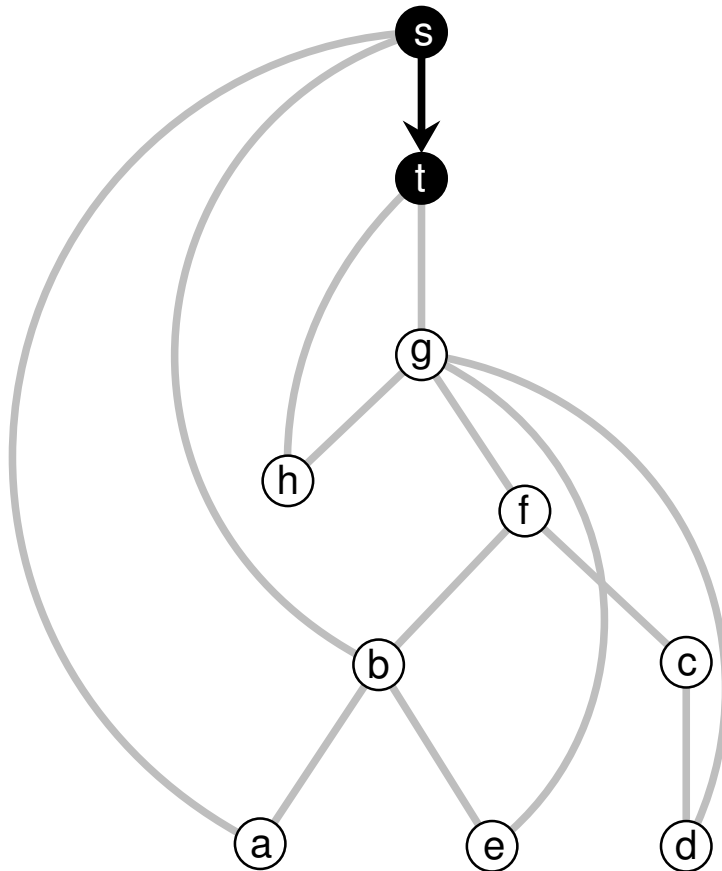
- starte mit Sequenz (s, t)
- betrachte Ohren P_1, \dots, P_r in dieser Ordnung
- sei $P_i = u \xrightarrow{*} v \hookrightarrow w$ das Ohr zu $v \hookrightarrow w$
- falls P_i von w nach u orientiert wird, füge Sequenz $V(P_i)$ unmittelbar vor u ein, sonst hinter u



Satz

Die erhaltene Ordnung von V_i ist eine lineare Erweiterung von \prec_i für alle $0 \leq i \leq r$.

Eager st-Ordering



$s \rightarrow t$

process_ears(tree edge $w \rightarrow x$) begin

foreach $v \hookrightarrow w \in D[w \rightarrow x]$ **do**

$u \leftarrow v$;

while $u \notin L$ **do** $u \leftarrow \text{PARENT}[u]$;

$P \leftarrow (u \xrightarrow{*} v \hookrightarrow w)$;

if $w \rightarrow x$ von w nach x (bzw. x nach w) orientiert **then**

 orientiere P von w nach u (bzw. u nach w);

 füge innere Knoten von P unmittelbar vor (bzw. hinter) u

 in L ein;

foreach Baumkante $w' \rightarrow x'$ von P **do** $\text{process_ears}(w' \rightarrow x')$;

$D[\{w, x\}] \leftarrow \emptyset$;

dfs(vertex v) begin

$i \leftarrow i + 1$; $\text{DFS}[v] \leftarrow i$;

while es ex. nicht nummerierte Kante $e = \{v, w\}$ **do**

$\text{DFS}[e] \leftarrow \text{DFS}[v]$;

if w nicht nummeriert **then**

$\text{CHILDEDGE}[v] \leftarrow e$;

$\text{PARENT}[w] \leftarrow v$;

$\text{dfs}(w)$;

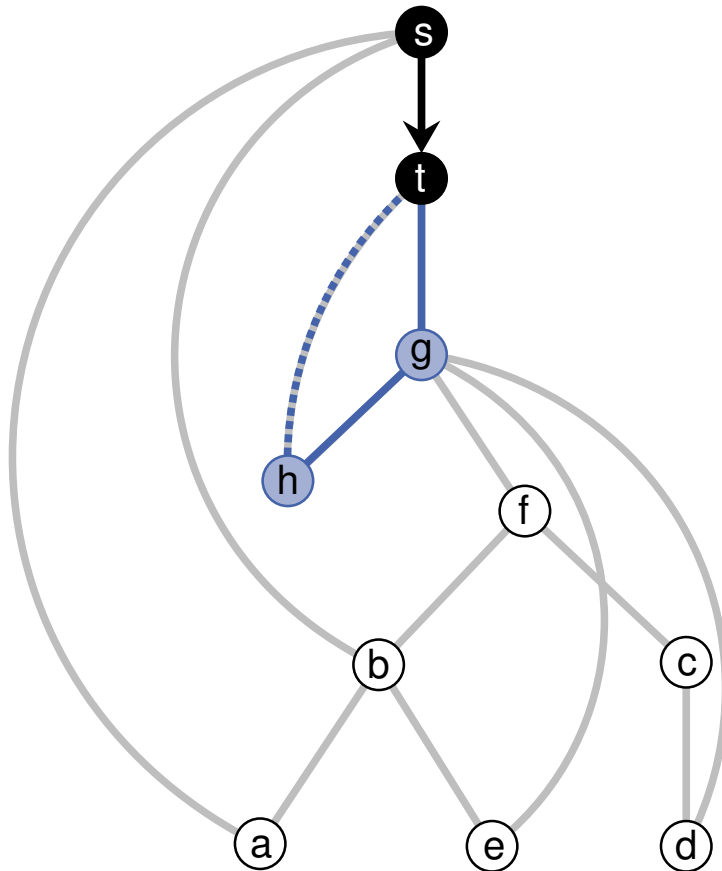
else

$\{w, x\} \leftarrow \text{CHILDEDGE}[w]$;

$D[\{w, x\}] \leftarrow D[\{w, x\}] \cup \{e\}$;

if $x \in L$ **then** $\text{process_ears}(w \rightarrow x)$;

Eager st-Ordering



$s \rightarrow t$

process_ears(tree edge $w \rightarrow x$) begin

foreach $v \hookrightarrow w \in D[w \rightarrow x]$ **do**

$u \leftarrow v$;

while $u \notin L$ **do** $u \leftarrow \text{PARENT}[u]$;

$P \leftarrow (u \xrightarrow{*} v \hookrightarrow w)$;

if $w \rightarrow x$ von w nach x (bzw. x nach w) orientiert **then**

 orientiere P von w nach u (bzw. u nach w);

 füge innere Knoten von P unmittelbar vor (bzw. hinter) u in L ein;

foreach Baumkante $w' \rightarrow x'$ von P **do** $\text{process_ears}(w' \rightarrow x')$;

$D[\{w, x\}] \leftarrow \emptyset$;

dfs(vertex v) begin

$i \leftarrow i + 1$; $\text{DFS}[v] \leftarrow i$;

while es ex. nicht nummerierte Kante $e = \{v, w\}$ **do**

$\text{DFS}[e] \leftarrow \text{DFS}[v]$;

if w nicht nummeriert **then**

$\text{CHILDEDGE}[v] \leftarrow e$;

$\text{PARENT}[w] \leftarrow v$;

$\text{dfs}(w)$;

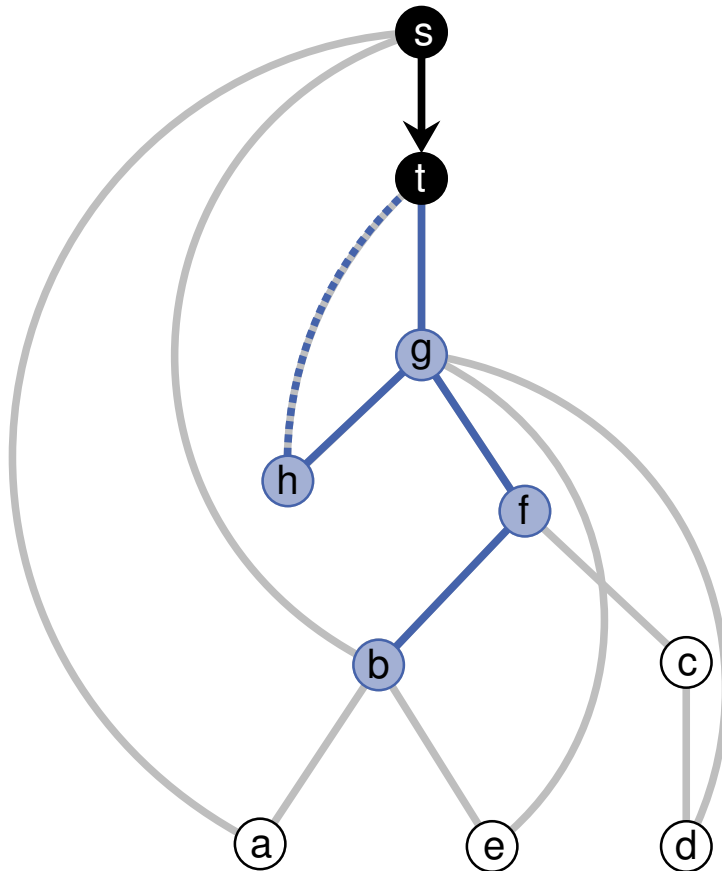
else

$\{w, x\} \leftarrow \text{CHILDEDGE}[w]$;

$D[\{w, x\}] \leftarrow D[\{w, x\}] \cup \{e\}$;

if $x \in L$ **then** $\text{process_ears}(w \rightarrow x)$;

Eager st-Ordering



$s \rightarrow t$

process_ears(tree edge $w \rightarrow x$) begin

foreach $v \hookrightarrow w \in D[w \rightarrow x]$ **do**

$u \leftarrow v$;

while $u \notin L$ **do** $u \leftarrow \text{PARENT}[u]$;

$P \leftarrow (u \xrightarrow{*} v \hookrightarrow w)$;

if $w \rightarrow x$ von w nach x (bzw. x nach w) orientiert **then**

 orientiere P von w nach u (bzw. u nach w);

 füge innere Knoten von P unmittelbar vor (bzw. hinter) u
 in L ein;

foreach Baumkante $w' \rightarrow x'$ von P **do** $\text{process_ears}(w' \rightarrow x')$;

$D[\{w, x\}] \leftarrow \emptyset$;

dfs(vertex v) begin

$i \leftarrow i + 1$; $\text{DFS}[v] \leftarrow i$;

while es ex. nicht nummerierte Kante $e = \{v, w\}$ **do**

$\text{DFS}[e] \leftarrow \text{DFS}[v]$;

if w nicht nummeriert **then**

$\text{CHILDEDGE}[v] \leftarrow e$;

$\text{PARENT}[w] \leftarrow v$;

$\text{dfs}(w)$;

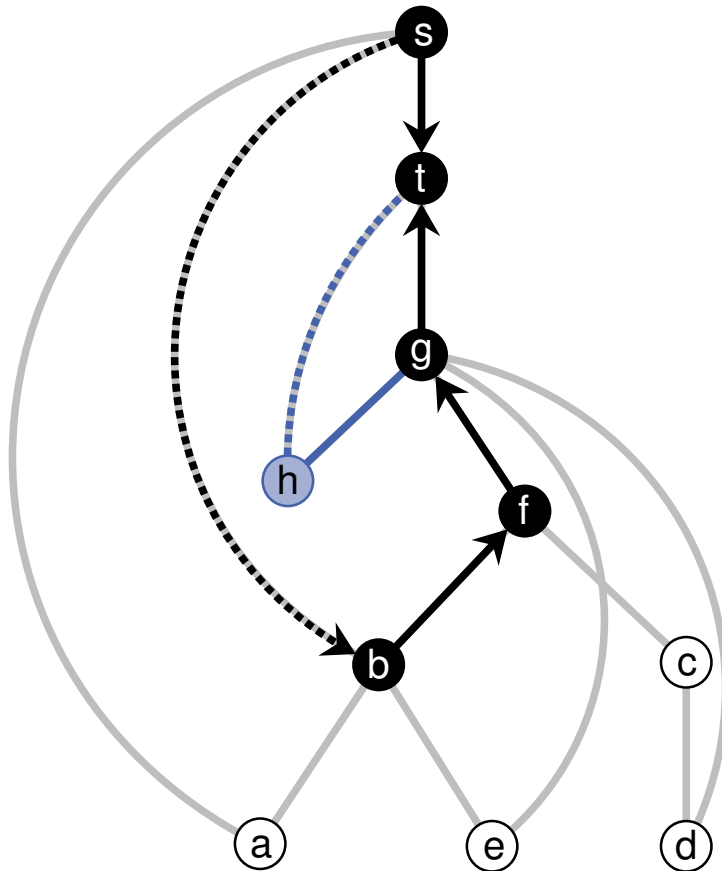
else

$\{w, x\} \leftarrow \text{CHILDEDGE}[w]$;

$D[\{w, x\}] \leftarrow D[\{w, x\}] \cup \{e\}$;

if $x \in L$ **then** $\text{process_ears}(w \rightarrow x)$;

Eager st-Ordering



$s \rightarrow b \rightarrow f \rightarrow g \rightarrow t$

process_ears(tree edge $w \rightarrow x$) begin

foreach $v \hookrightarrow w \in D[w \rightarrow x]$ **do**

$u \leftarrow v$;

while $u \notin L$ **do** $u \leftarrow \text{PARENT}[u]$;

$P \leftarrow (u \xrightarrow{*} v \hookrightarrow w)$;

if $w \rightarrow x$ von w nach x (bzw. x nach w) orientiert **then**

 orientiere P von w nach u (bzw. u nach w);

 füge innere Knoten von P unmittelbar vor (bzw. hinter) u

 in L ein;

foreach Baumkante $w' \rightarrow x'$ von P **do** $\text{process_ears}(w' \rightarrow x')$;

$D[\{w, x\}] \leftarrow \emptyset$;

dfs(vertex v) begin

$i \leftarrow i + 1$; $\text{DFS}[v] \leftarrow i$;

while es ex. nicht nummerierte Kante $e = \{v, w\}$ **do**

$\text{DFS}[e] \leftarrow \text{DFS}[v]$;

if w nicht nummeriert **then**

$\text{CHILDEDGE}[v] \leftarrow e$;

$\text{PARENT}[w] \leftarrow v$;

$\text{dfs}(w)$;

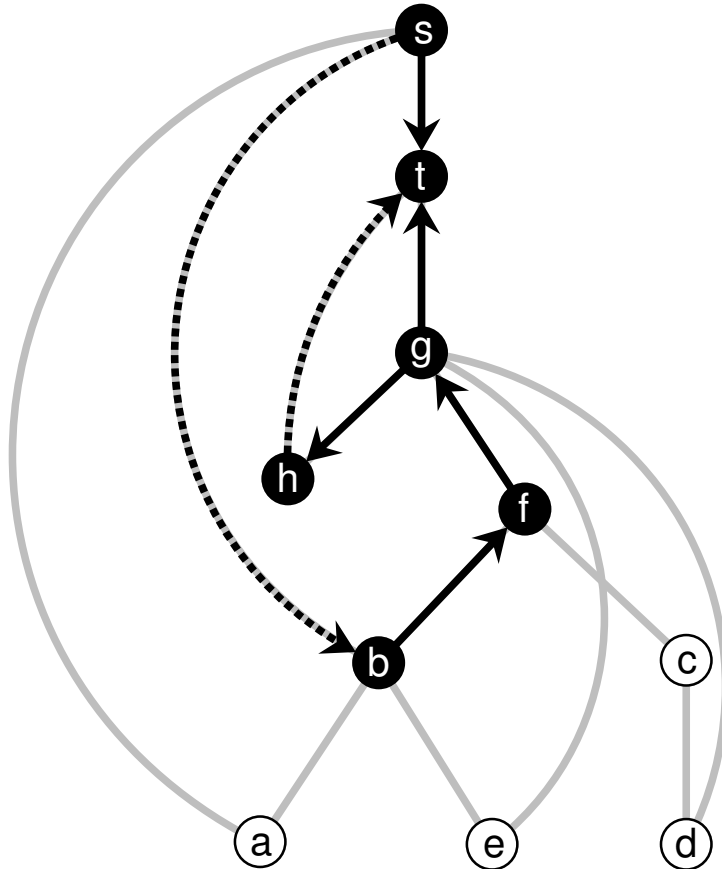
else

$\{w, x\} \leftarrow \text{CHILDEDGE}[w]$;

$D[\{w, x\}] \leftarrow D[\{w, x\}] \cup \{e\}$;

if $x \in L$ **then** $\text{process_ears}(w \rightarrow x)$;

Eager st-Ordering



$s \rightarrow b \rightarrow f \rightarrow g \rightarrow t$

process_ears(tree edge $w \rightarrow x$) begin

foreach $v \hookrightarrow w \in D[w \rightarrow x]$ **do**

$u \leftarrow v$;

while $u \notin L$ **do** $u \leftarrow \text{PARENT}[u]$;

$P \leftarrow (u \xrightarrow{*} v \hookrightarrow w)$;

if $w \rightarrow x$ von w nach x (bzw. x nach w) orientiert **then**

 orientiere P von w nach u (bzw. u nach w);

 füge innere Knoten von P unmittelbar vor (bzw. hinter) u

 in L ein;

foreach Baumkante $w' \rightarrow x'$ von P **do** $\text{process_ears}(w' \rightarrow x')$;

$D[\{w, x\}] \leftarrow \emptyset$;

dfs(vertex v) begin

$i \leftarrow i + 1$; $\text{DFS}[v] \leftarrow i$;

while es ex. nicht nummerierte Kante $e = \{v, w\}$ **do**

$\text{DFS}[e] \leftarrow \text{DFS}[v]$;

if w nicht nummeriert **then**

$\text{CHILDEDGE}[v] \leftarrow e$;

$\text{PARENT}[w] \leftarrow v$;

$\text{dfs}(w)$;

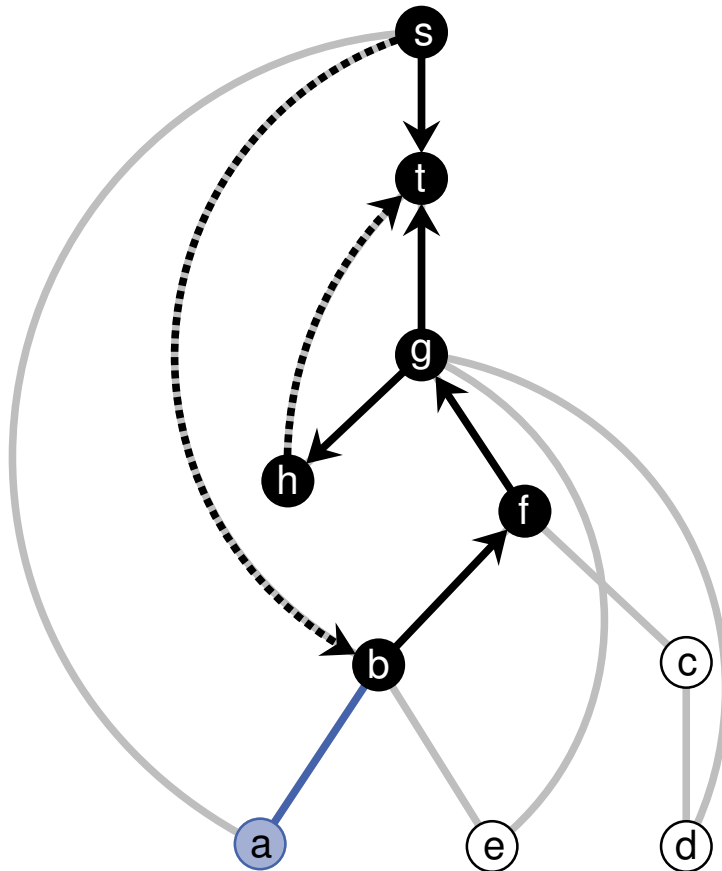
else

$\{w, x\} \leftarrow \text{CHILDEDGE}[w]$;

$D[\{w, x\}] \leftarrow D[\{w, x\}] \cup \{e\}$;

if $x \in L$ **then** $\text{process_ears}(w \rightarrow x)$;

Eager st-Ordering



$s \rightarrow b \rightarrow f \rightarrow g \rightarrow h \rightarrow t$

process_ears(tree edge $w \rightarrow x$) begin

foreach $v \hookrightarrow w \in D[w \rightarrow x]$ **do**

$u \leftarrow v$;

while $u \notin L$ **do** $u \leftarrow \text{PARENT}[u]$;

$P \leftarrow (u \xrightarrow{*} v \hookrightarrow w)$;

if $w \rightarrow x$ von w nach x (bzw. x nach w) orientiert **then**

 orientiere P von w nach u (bzw. u nach w);

 füge innere Knoten von P unmittelbar vor (bzw. hinter) u in L ein;

foreach Baumkante $w' \rightarrow x'$ von P **do** $\text{process_ears}(w' \rightarrow x')$;

$D[\{w, x\}] \leftarrow \emptyset$;

dfs(vertex v) begin

$i \leftarrow i + 1$; $\text{DFS}[v] \leftarrow i$;

while es ex. nicht nummerierte Kante $e = \{v, w\}$ **do**

$\text{DFS}[e] \leftarrow \text{DFS}[v]$;

if w nicht nummeriert **then**

$\text{CHILDEDGE}[v] \leftarrow e$;

$\text{PARENT}[w] \leftarrow v$;

$\text{dfs}(w)$;

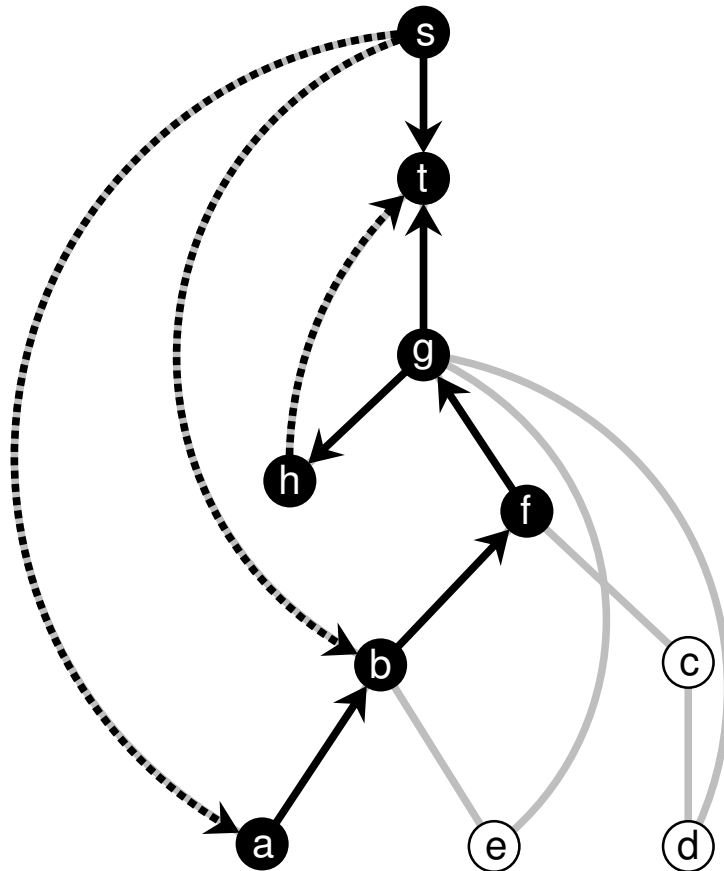
else

$\{w, x\} \leftarrow \text{CHILDEDGE}[w]$;

$D[\{w, x\}] \leftarrow D[\{w, x\}] \cup \{e\}$;

if $x \in L$ **then** $\text{process_ears}(w \rightarrow x)$;

Eager st-Ordering



$s \rightarrow a \rightarrow b \rightarrow f \rightarrow g \rightarrow h \rightarrow t$

process_ears(tree edge $w \rightarrow x$) begin

foreach $v \hookrightarrow w \in D[w \rightarrow x]$ **do**

$u \leftarrow v$;

while $u \notin L$ **do** $u \leftarrow \text{PARENT}[u]$;

$P \leftarrow (u \xrightarrow{*} v \hookrightarrow w)$;

if $w \rightarrow x$ von w nach x (bzw. x nach w) orientiert **then**

 orientiere P von w nach u (bzw. u nach w);

 füge innere Knoten von P unmittelbar vor (bzw. hinter) u

 in L ein;

foreach Baumkante $w' \rightarrow x'$ von P **do** $\text{process_ears}(w' \rightarrow x')$;

$D[\{w, x\}] \leftarrow \emptyset$;

dfs(vertex v) begin

$i \leftarrow i + 1$; $\text{DFS}[v] \leftarrow i$;

while es ex. nicht nummerierte Kante $e = \{v, w\}$ **do**

$\text{DFS}[e] \leftarrow \text{DFS}[v]$;

if w nicht nummeriert **then**

$\text{CHILDEDGE}[v] \leftarrow e$;

$\text{PARENT}[w] \leftarrow v$;

$\text{dfs}(w)$;

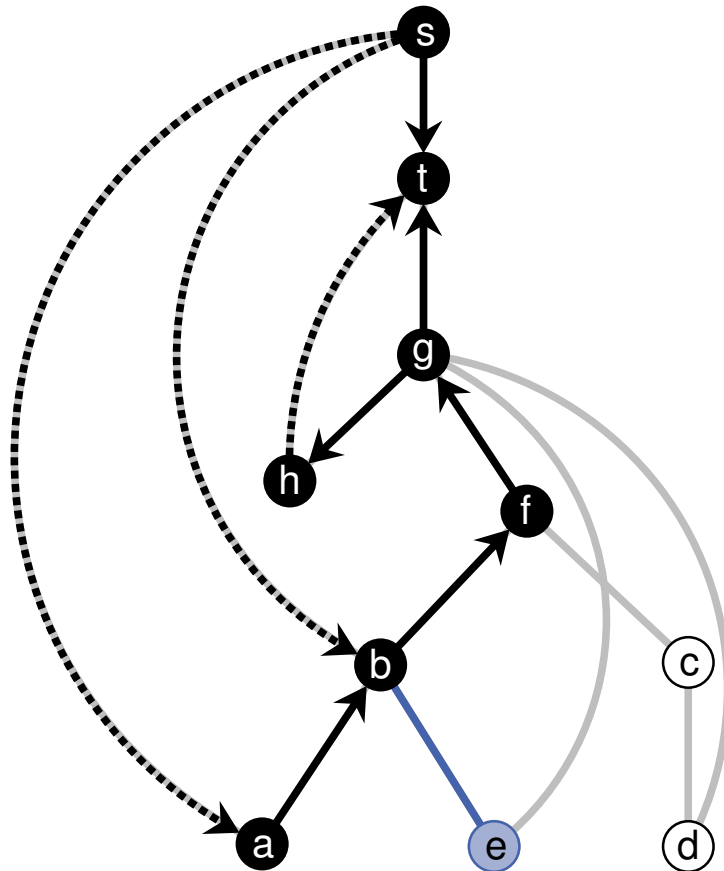
else

$\{w, x\} \leftarrow \text{CHILDEDGE}[w]$;

$D[\{w, x\}] \leftarrow D[\{w, x\}] \cup \{e\}$;

if $x \in L$ **then** $\text{process_ears}(w \rightarrow x)$;

Eager st-Ordering



$s \rightarrow a \rightarrow b \rightarrow f \rightarrow g \rightarrow h \rightarrow t$

process_ears(tree edge $w \rightarrow x$) begin

foreach $v \hookrightarrow w \in D[w \rightarrow x]$ **do**

$u \leftarrow v$;

while $u \notin L$ **do** $u \leftarrow \text{PARENT}[u]$;

$P \leftarrow (u \xrightarrow{*} v \hookrightarrow w)$;

if $w \rightarrow x$ von w nach x (bzw. x nach w) orientiert **then**

 orientiere P von w nach u (bzw. u nach w);

 füge innere Knoten von P unmittelbar vor (bzw. hinter) u

 in L ein;

foreach Baumkante $w' \rightarrow x'$ von P **do** $\text{process_ears}(w' \rightarrow x')$;

$D[\{w, x\}] \leftarrow \emptyset$;

dfs(vertex v) begin

$i \leftarrow i + 1$; $\text{DFS}[v] \leftarrow i$;

while es ex. nicht nummerierte Kante $e = \{v, w\}$ **do**

$\text{DFS}[e] \leftarrow \text{DFS}[v]$;

if w nicht nummeriert **then**

$\text{CHILDEDGE}[v] \leftarrow e$;

$\text{PARENT}[w] \leftarrow v$;

$\text{dfs}(w)$;

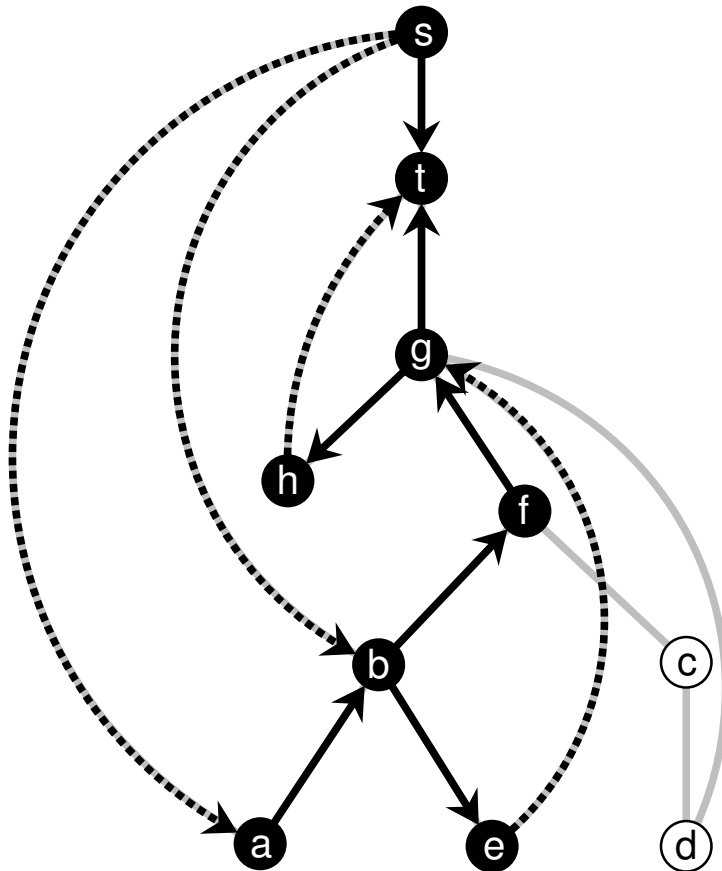
else

$\{w, x\} \leftarrow \text{CHILDEDGE}[w]$;

$D[\{w, x\}] \leftarrow D[\{w, x\}] \cup \{e\}$;

if $x \in L$ **then** $\text{process_ears}(w \rightarrow x)$;

Eager st-Ordering



s → a → b → e → f → g → h → t

process_ears(tree edge $w \rightarrow x$) begin

foreach $v \hookrightarrow w \in D[w \rightarrow x]$ **do**

$u \leftarrow v$;

while $u \notin L$ **do** $u \leftarrow \text{PARENT}[u]$;

$P \leftarrow (u \xrightarrow{*} v \hookrightarrow w)$;

if $w \rightarrow x$ von w nach x (bzw. x nach w) orientiert **then**

 orientiere P von w nach u (bzw. u nach w);

 füge innere Knoten von P unmittelbar vor (bzw. hinter) u

 in L ein;

foreach Baumkante $w' \rightarrow x'$ von P **do** $\text{process_ears}(w' \rightarrow x')$;

$D[\{w, x\}] \leftarrow \emptyset$;

dfs(vertex v) begin

$i \leftarrow i + 1$; $\text{DFS}[v] \leftarrow i$;

while es ex. nicht nummerierte Kante $e = \{v, w\}$ **do**

$\text{DFS}[e] \leftarrow \text{DFS}[v]$;

if w nicht nummeriert **then**

$\text{CHILDEDGE}[v] \leftarrow e$;

$\text{PARENT}[w] \leftarrow v$;

$\text{dfs}(w)$;

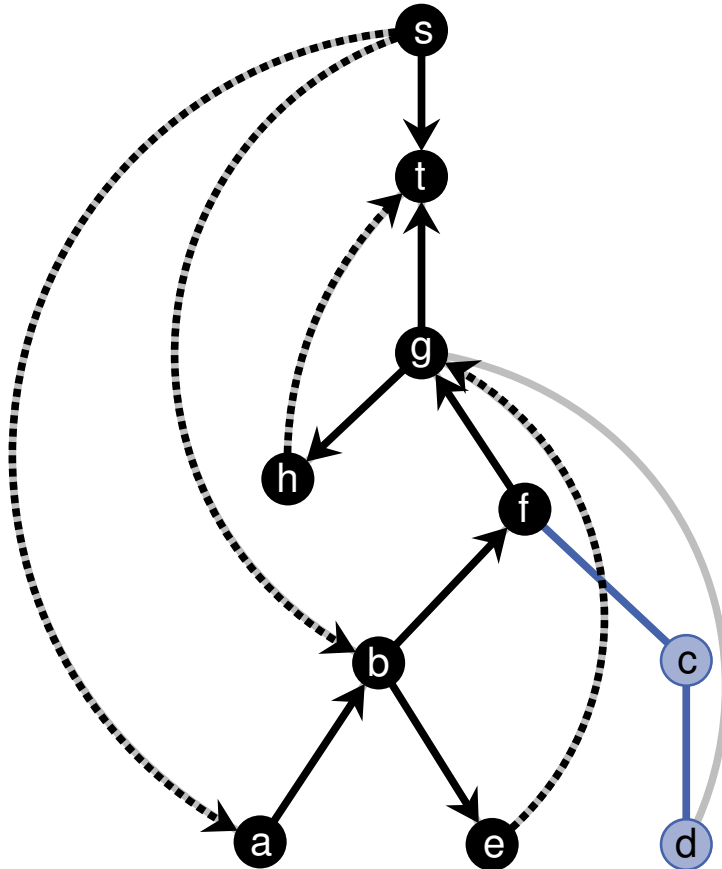
else

$\{w, x\} \leftarrow \text{CHILDEDGE}[w]$;

$D[\{w, x\}] \leftarrow D[\{w, x\}] \cup \{e\}$;

if $x \in L$ **then** $\text{process_ears}(w \rightarrow x)$;

Eager st-Ordering



$s \rightarrow a \rightarrow b \rightarrow e \rightarrow f \rightarrow g \rightarrow h \rightarrow t$

process_ears(tree edge $w \rightarrow x$) begin

foreach $v \hookrightarrow w \in D[w \rightarrow x]$ **do**

$u \leftarrow v$;

while $u \notin L$ **do** $u \leftarrow \text{PARENT}[u]$;

$P \leftarrow (u \xrightarrow{*} v \hookrightarrow w)$;

if $w \rightarrow x$ von w nach x (bzw. x nach w) orientiert **then**

 orientiere P von w nach u (bzw. u nach w);

 füge innere Knoten von P unmittelbar vor (bzw. hinter) u

 in L ein;

foreach Baumkante $w' \rightarrow x'$ von P **do** $\text{process_ears}(w' \rightarrow x')$;

$D[\{w, x\}] \leftarrow \emptyset$;

dfs(vertex v) begin

$i \leftarrow i + 1$; $\text{DFS}[v] \leftarrow i$;

while es ex. nicht nummerierte Kante $e = \{v, w\}$ **do**

$\text{DFS}[e] \leftarrow \text{DFS}[v]$;

if w nicht nummeriert **then**

$\text{CHILDEDGE}[v] \leftarrow e$;

$\text{PARENT}[w] \leftarrow v$;

$\text{dfs}(w)$;

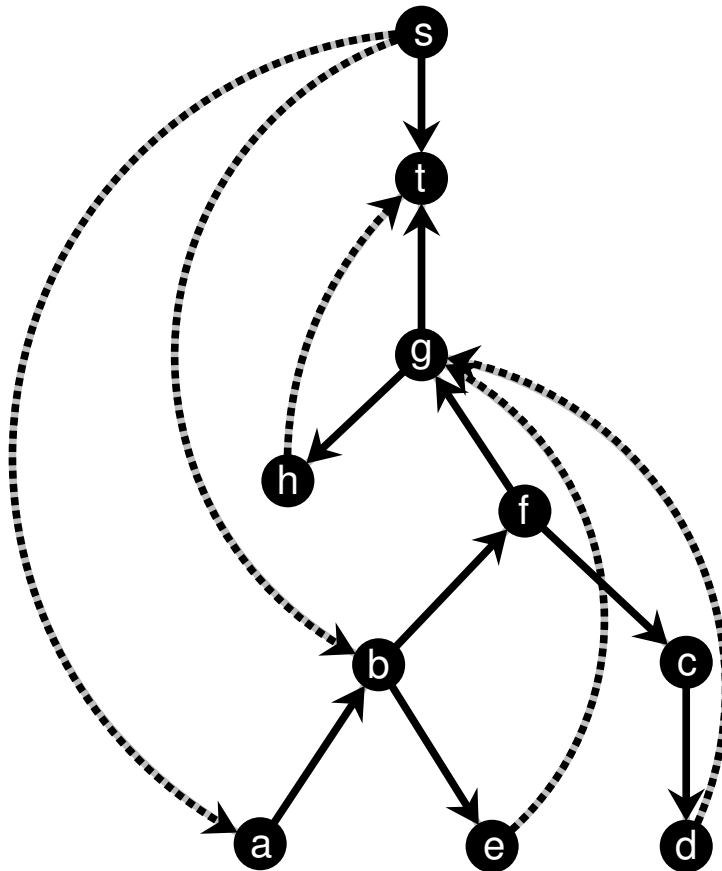
else

$\{w, x\} \leftarrow \text{CHILDEDGE}[w]$;

$D[\{w, x\}] \leftarrow D[\{w, x\}] \cup \{e\}$;

if $x \in L$ **then** $\text{process_ears}(w \rightarrow x)$;

Eager st-Ordering



s → a → b → e → f → c → d → g → h → t

process_ears(tree edge $w \rightarrow x$) begin

foreach $v \hookrightarrow w \in D[w \rightarrow x]$ **do**

$u \leftarrow v$;

while $u \notin L$ **do** $u \leftarrow \text{PARENT}[u]$;

$P \leftarrow (u \xrightarrow{*} v \hookrightarrow w)$;

if $w \rightarrow x$ von w nach x (bzw. x nach w) orientiert **then**

 orientiere P von w nach u (bzw. u nach w);

 füge innere Knoten von P unmittelbar vor (bzw. hinter) u

 in L ein;

foreach Baumkante $w' \rightarrow x'$ von P **do** $\text{process_ears}(w' \rightarrow x')$;

$D[\{w, x\}] \leftarrow \emptyset$;

dfs(vertex v) begin

$i \leftarrow i + 1$; $\text{DFS}[v] \leftarrow i$;

while es ex. nicht nummerierte Kante $e = \{v, w\}$ **do**

$\text{DFS}[e] \leftarrow \text{DFS}[v]$;

if w nicht nummeriert **then**

$\text{CHILDEDGE}[v] \leftarrow e$;

$\text{PARENT}[w] \leftarrow v$;

$\text{dfs}(w)$;

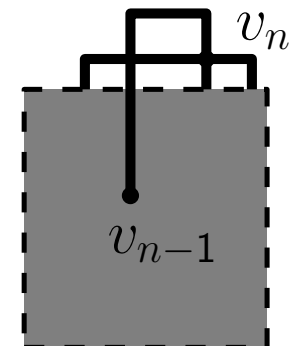
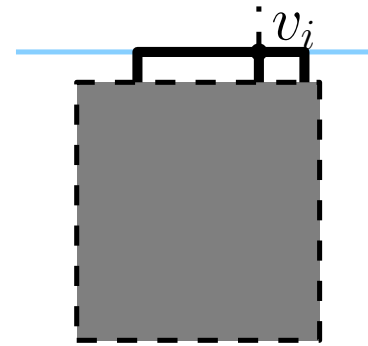
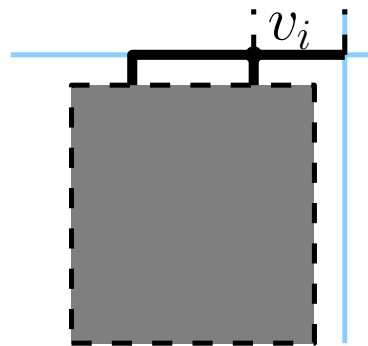
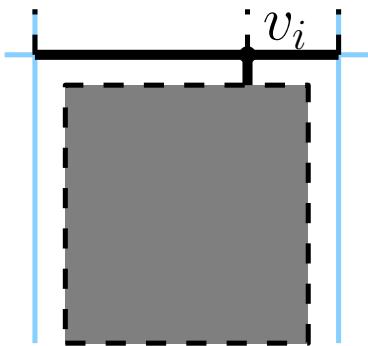
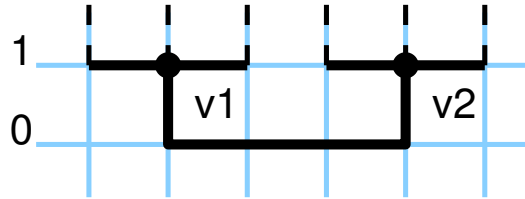
else

$\{w, x\} \leftarrow \text{CHILDEDGE}[w]$;

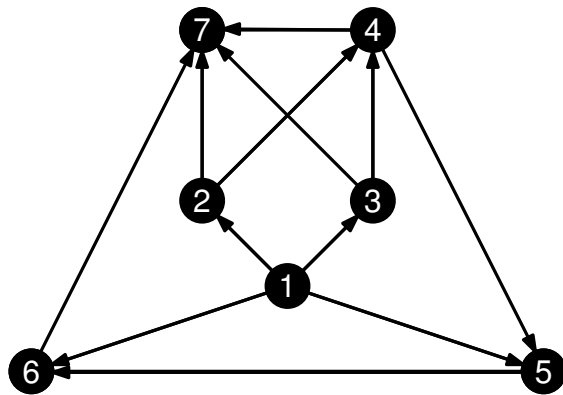
$D[\{w, x\}] \leftarrow D[\{w, x\}] \cup \{e\}$;

if $x \in L$ **then** $\text{process_ears}(w \rightarrow x)$;

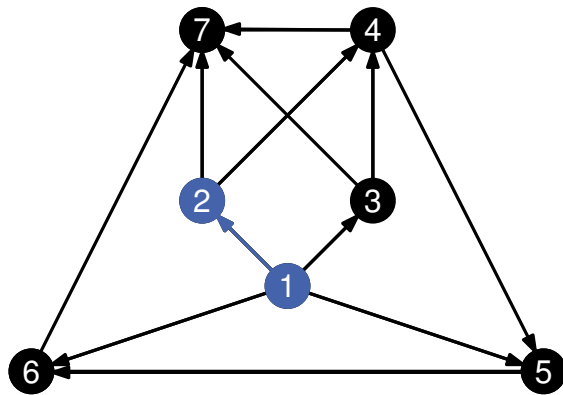
Algorithmus für Blöcke



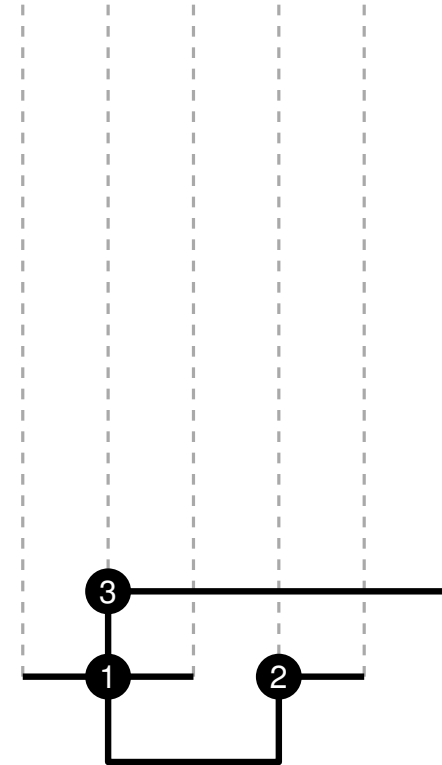
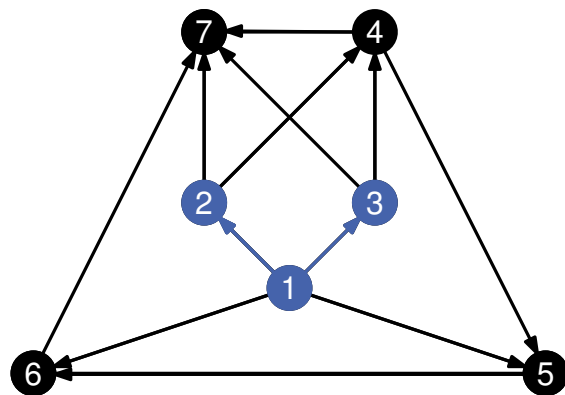
Beispiel



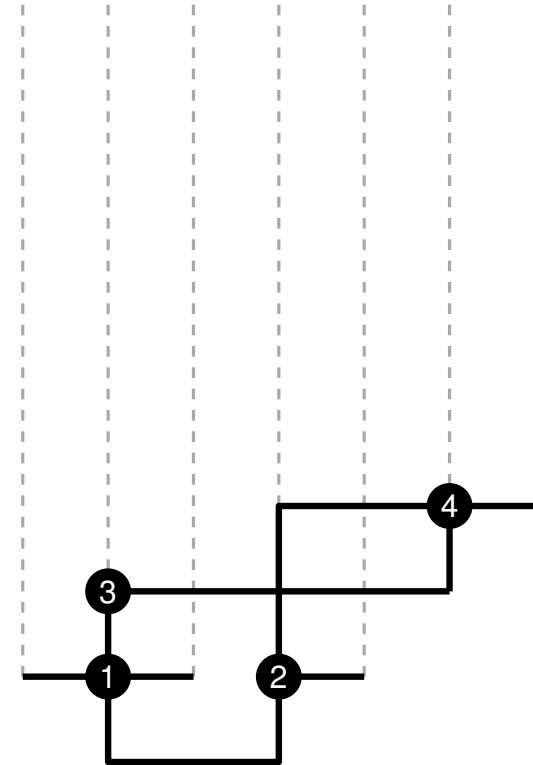
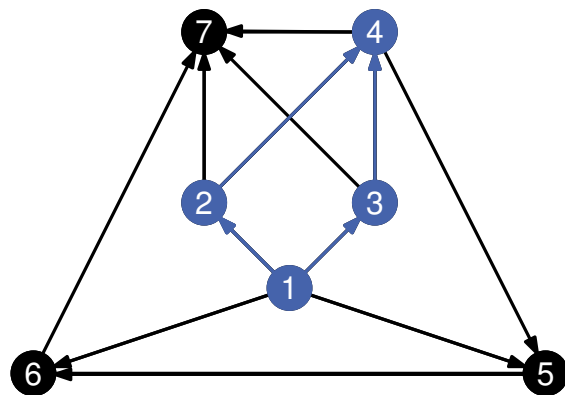
Beispiel



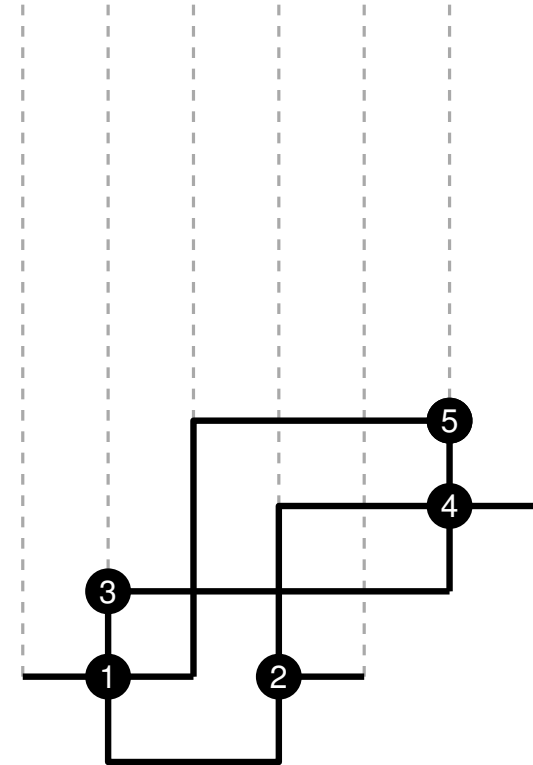
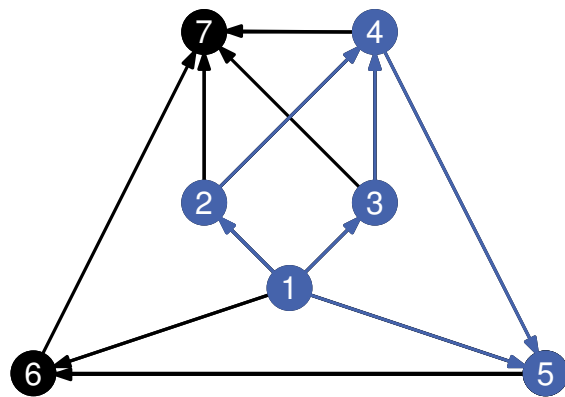
Beispiel



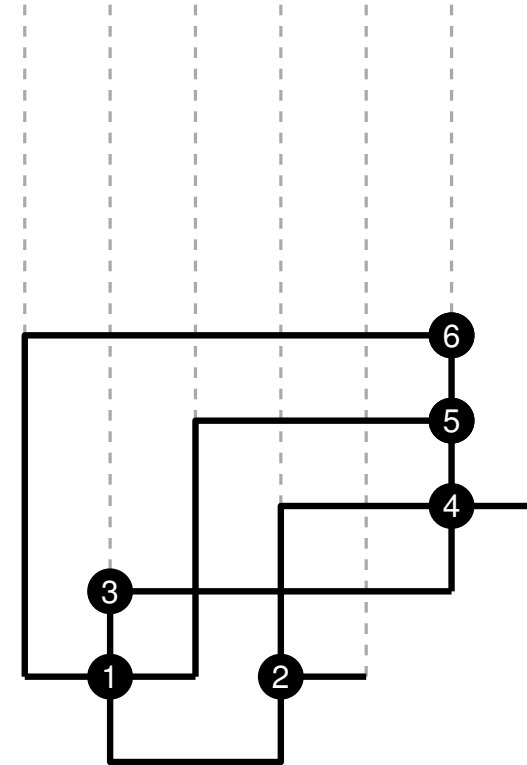
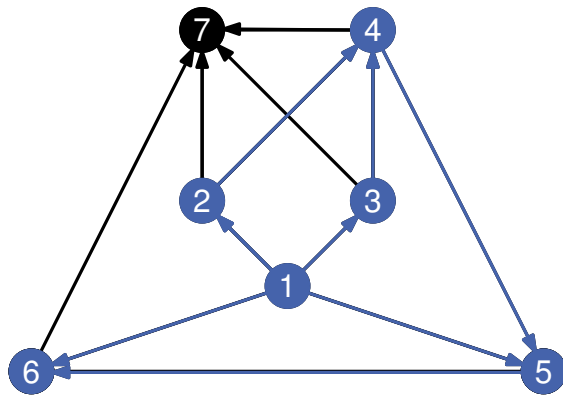
Beispiel



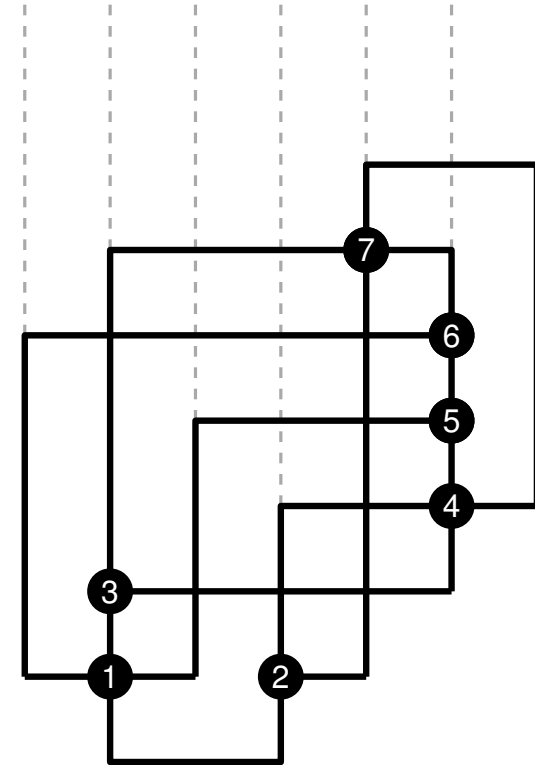
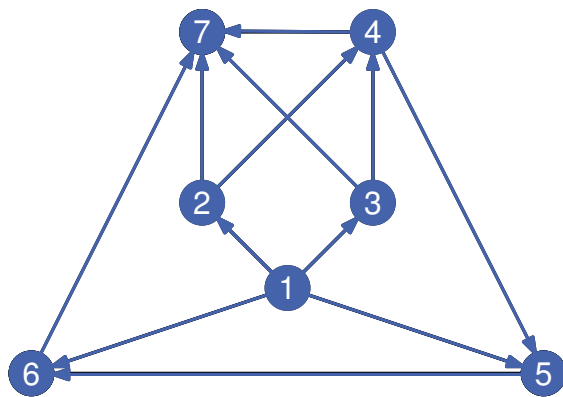
Beispiel



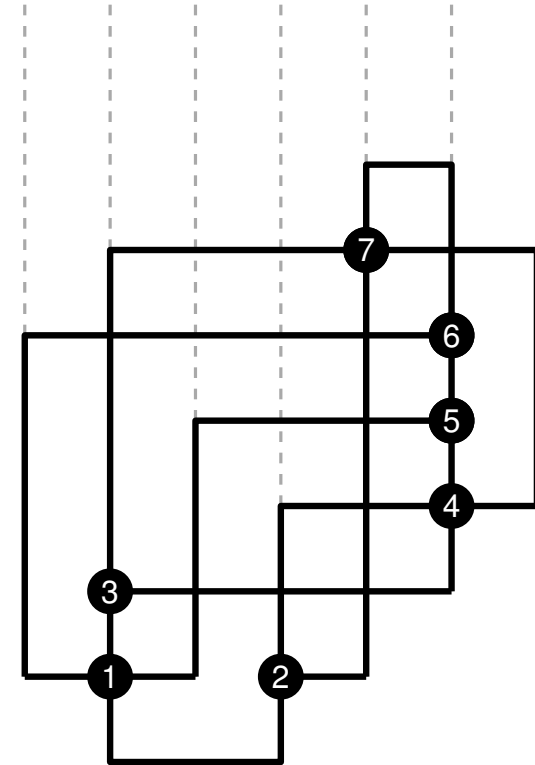
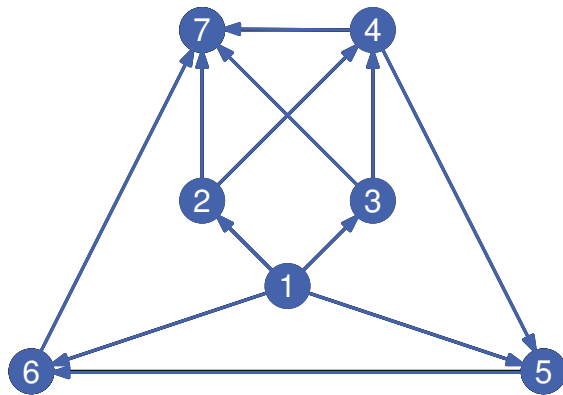
Beispiel

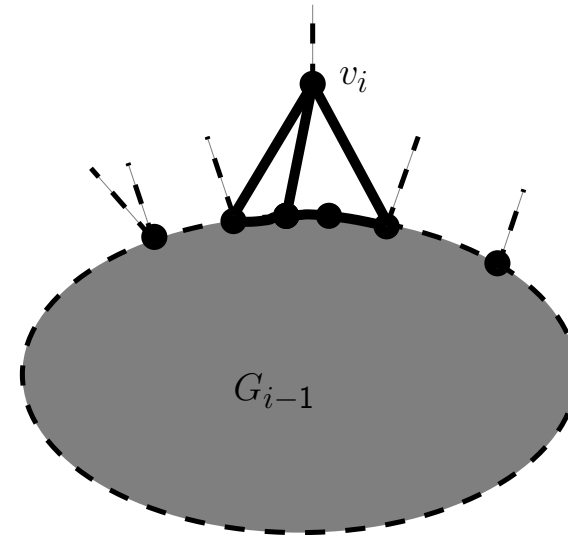
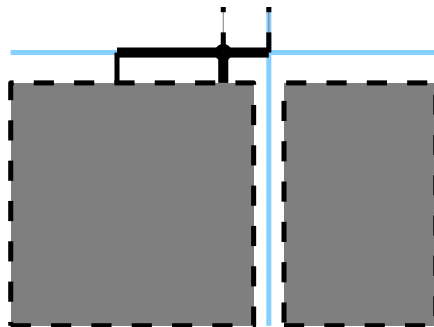
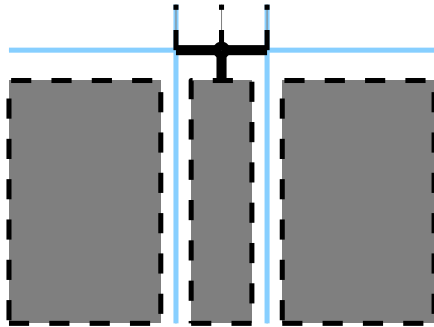


Beispiel



Beispiel





Satz [Biedl & Kant '94]

Die benötigte Gittergröße ist höchstens $(m - n + 1) \times n$.

Satz [Biedl & Kant '94]

Die benötigte Gittergröße ist höchstens $(m - n + 1) \times n$.

Satz [Biedl & Kant '94]

Die Gesamtzahl der Knicke ist höchstens $2m - 2n + 4$, und keine Kante hat mehr als zwei Knicke, es sei denn G ist ein Oktaeder.

Satz [Biedl & Kant '94]

Sei G ein einfach zusammenhängender Graph mit Maximalgrad 4. Dann kann G auf einem Gitter der Größe $n \times n$ mit höchstens 2 Knicken pro Kante eingebettet werden.

